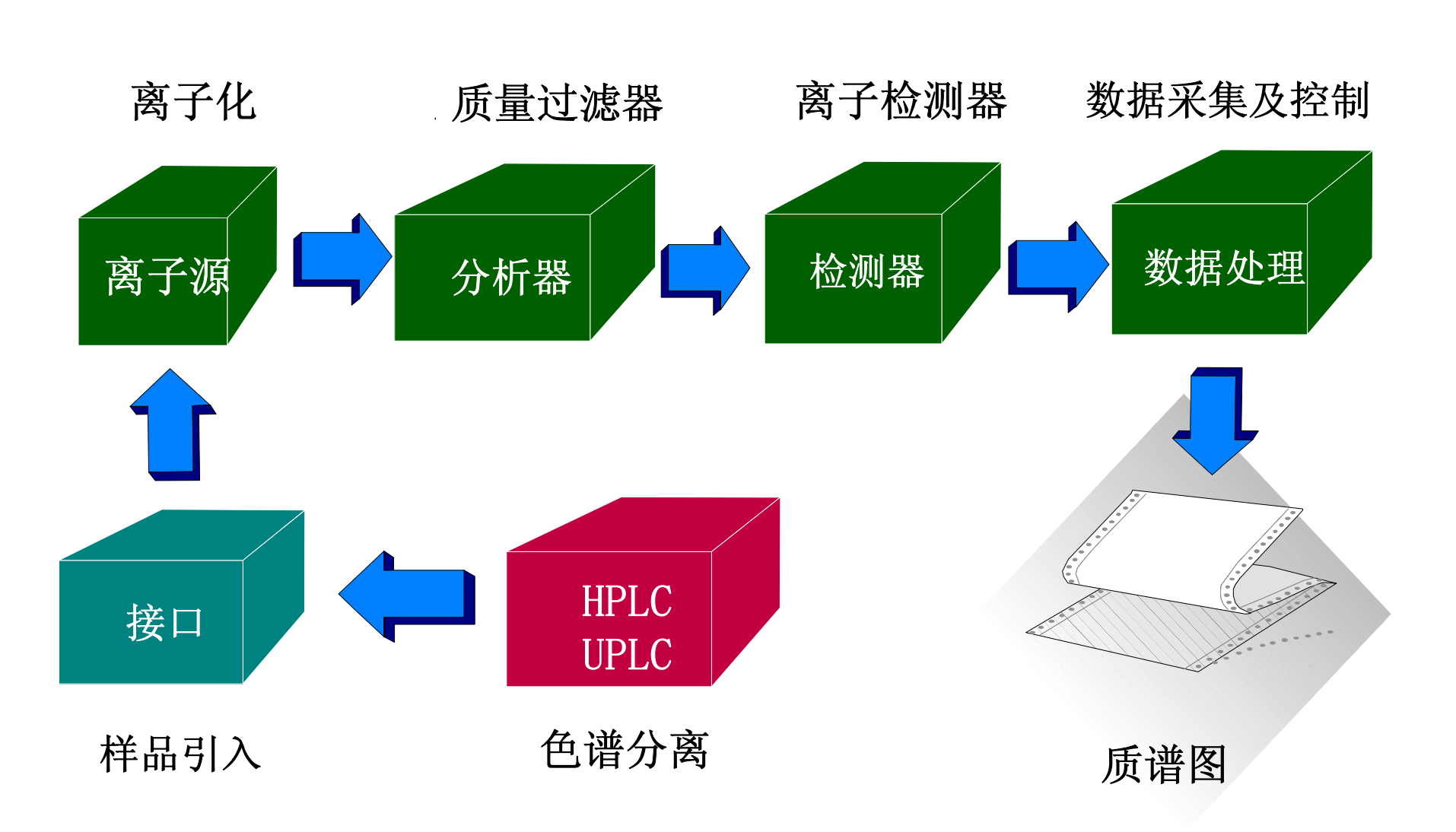
液质联用 基本原理 介绍

For Complete : Confidence

液质联用流程图



LC/MS中的液相色谱

©2005 Waters Corporation

High Performance Liquid Chromatography-高效液相色谱

■ Ultra Performance Liquid Chromatography-超高 效液相色谱

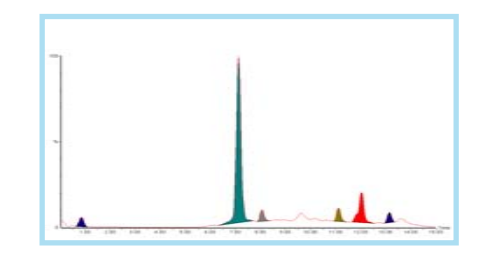
- 液质联用的前提和基础=进样+分离
- 根据化合物的化学特性分离样品(比如极性化合物,非极性化合物,酸性化合物,碱性化合物等等)
 - •分离技术
 - •分离效率高
 - •流动相参与分离
 - •连续流出,峰宽有限
 - •有时需要使用缓冲盐提高分离度
 - 高压环境工作(> 1000 psi)

LC/MS中的质谱

©2005 Waters Corporation

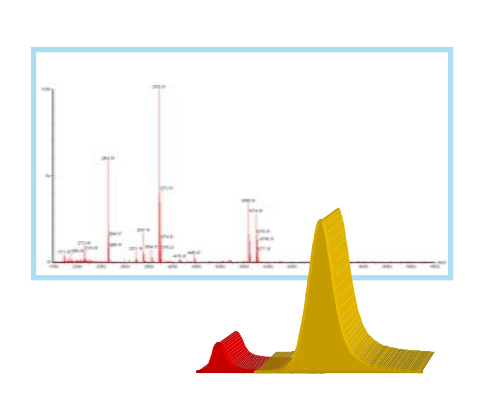
■Mass Spectrometry-质谱

- 质量是物质固有特征之一,不同的物质有不同的质量谱
- 分析物被转化为气相离子而被分析
- 这些离子按其质荷比 (m/z)被分离而被检测
- 质谱图即是相关的离子流对m/z的图

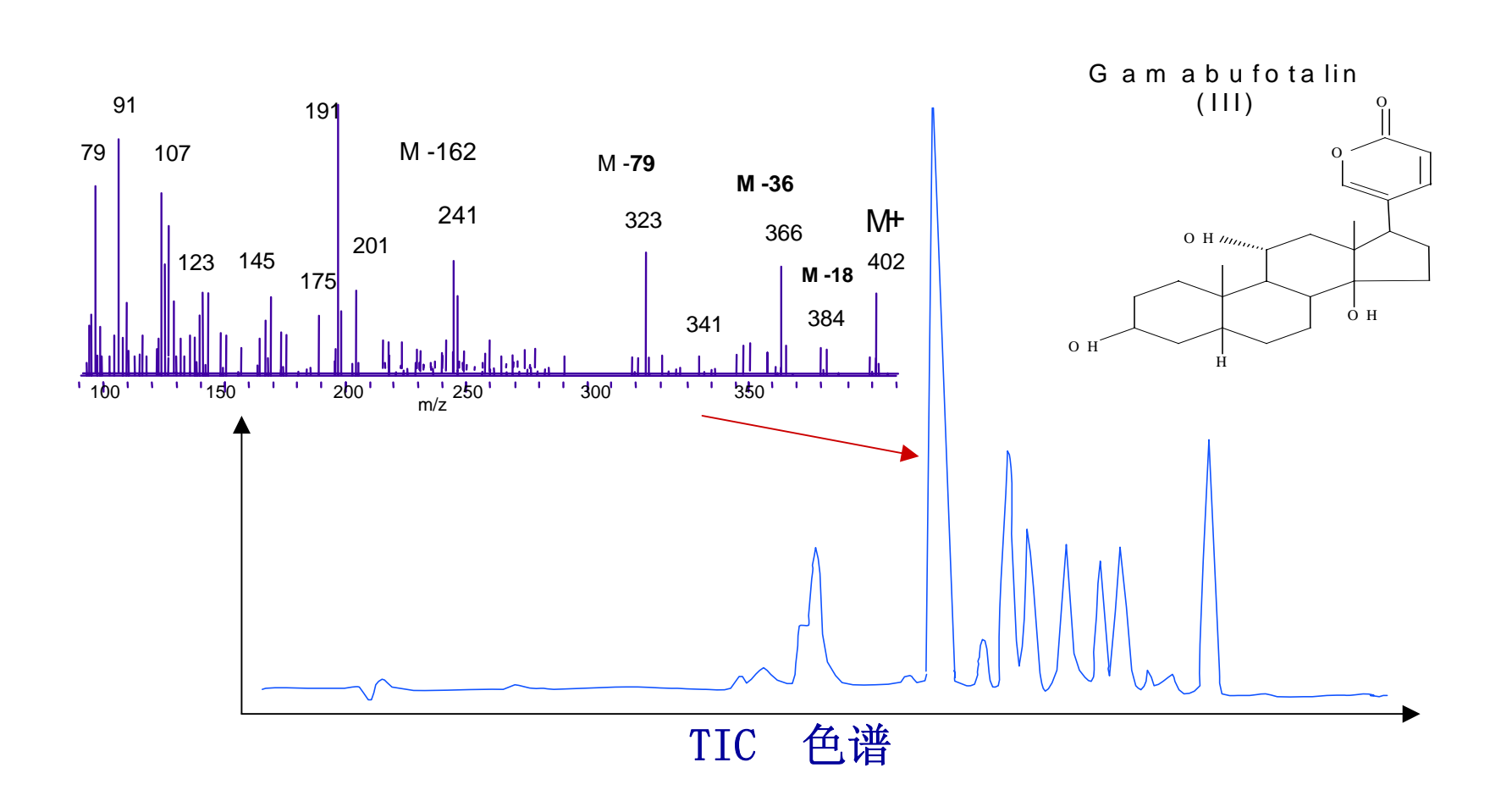




- •灵敏度高
- •定性/定量本领高
- •脉冲扫描采集数据
- •高真空环境工作
- •溶剂参与反应(API电离源)



LC/MS 数据形式



Waters LC/MS常见组合









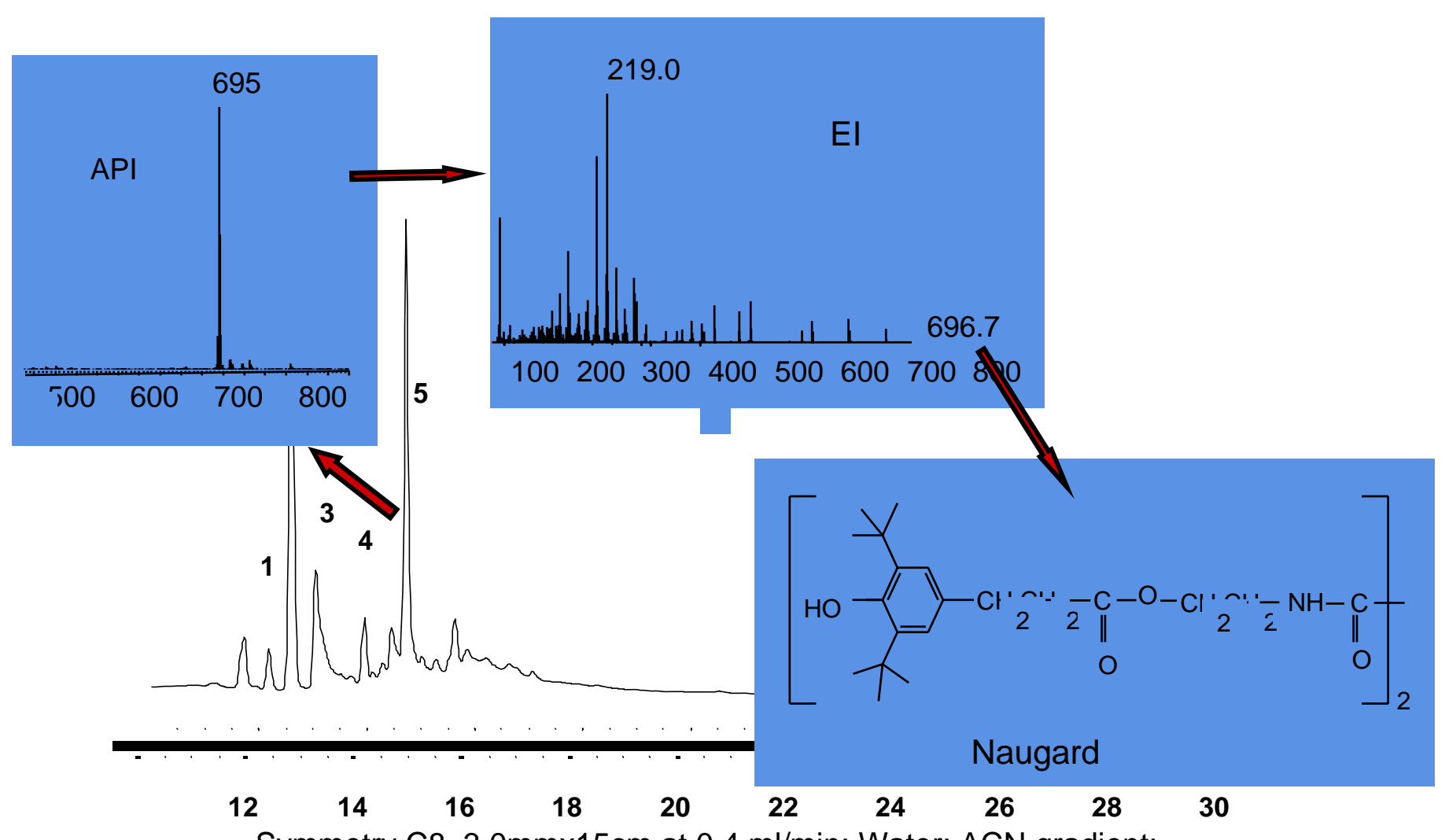




为什么使用 LC/MS?

丰富的结构信息(1)

©2005 Waters Corporation

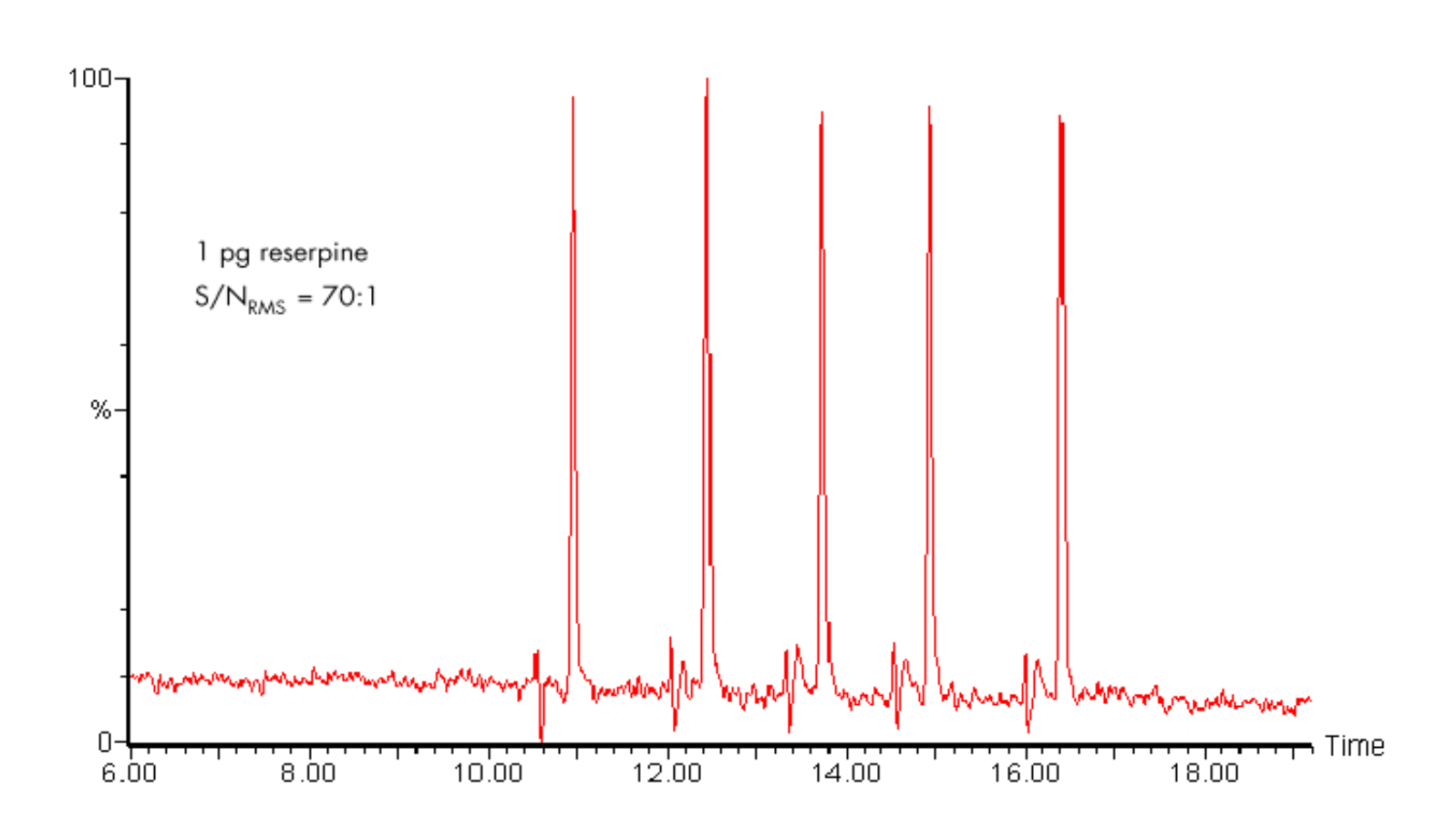


Symmetry C8 3.0mmx15cm at 0.4 ml/min: Water: ACN gradient; 85% to 36% at 45 minutes: PDA scan: 220-400 nm: MS scan: 50-500 mz



为什么使用 LC/MS?

极高的灵敏度 (2)



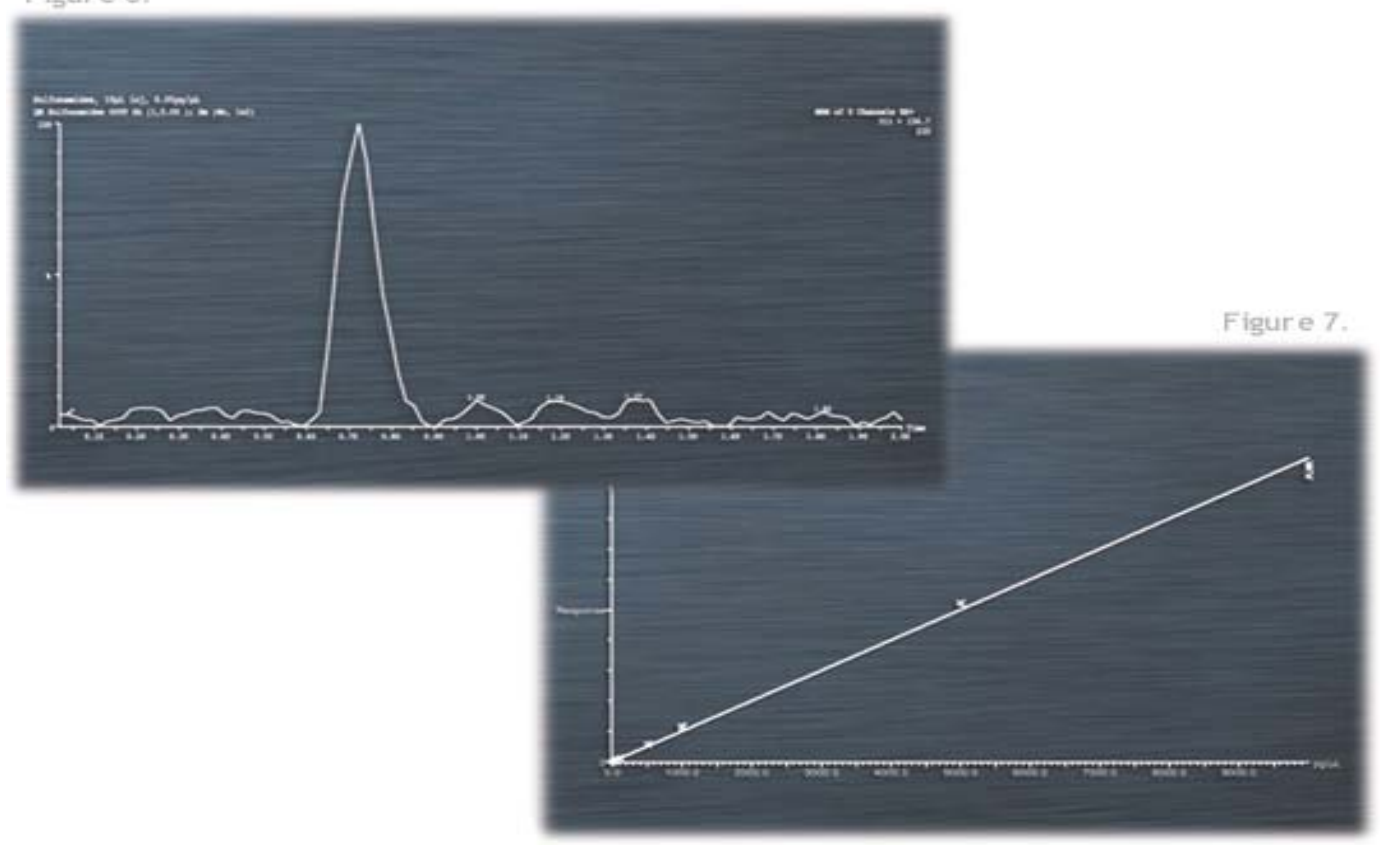
为什么使用 LC/MS?

极佳的定量结果(3)

©2005 Waters Corporation

5 orders of magnitude linear dynamic range.

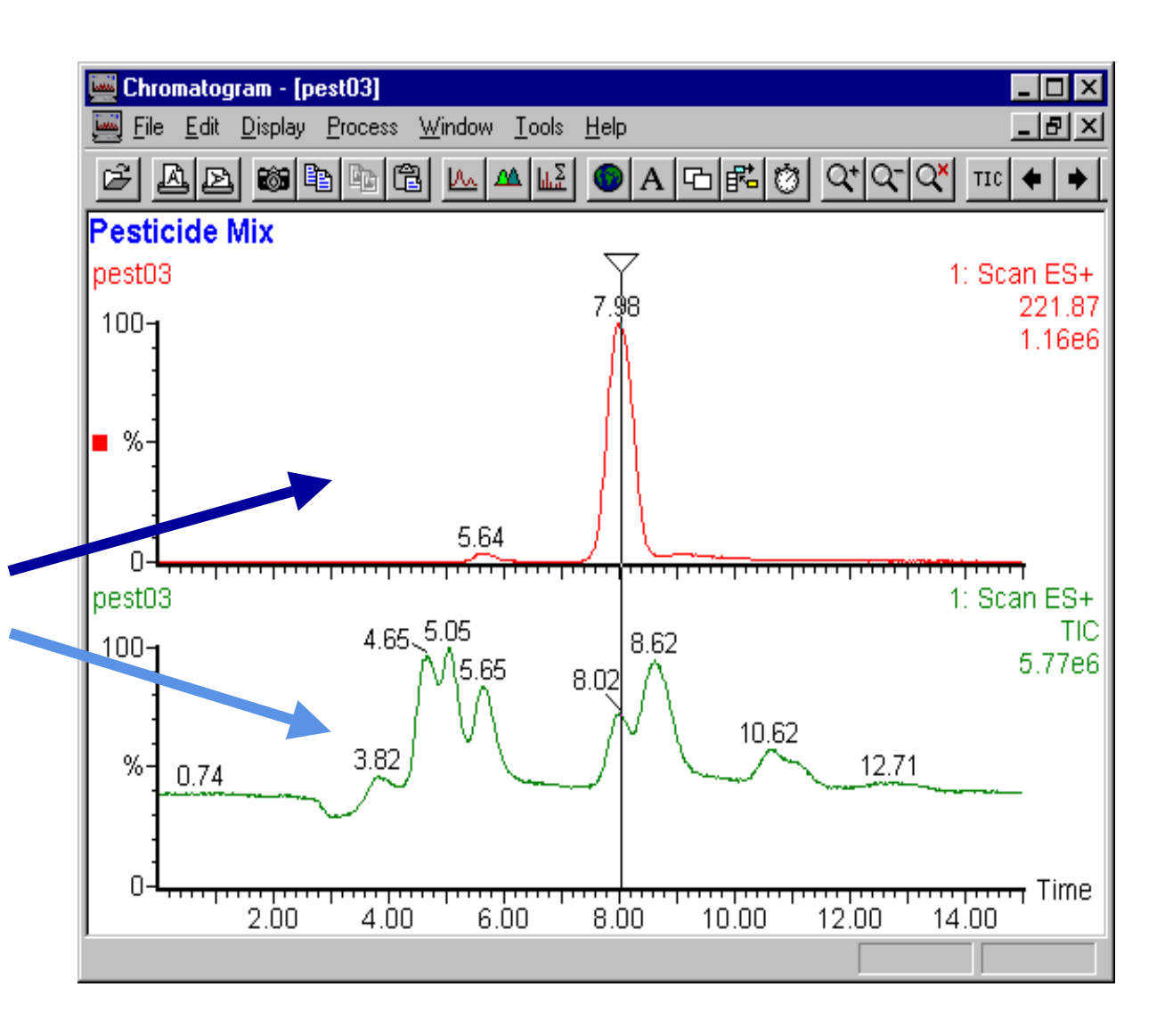
over the concentration range 0.1pg to 10000pg,
producing a coefficient of determination of 0.9975
for sulfadimethoxine injected on column,



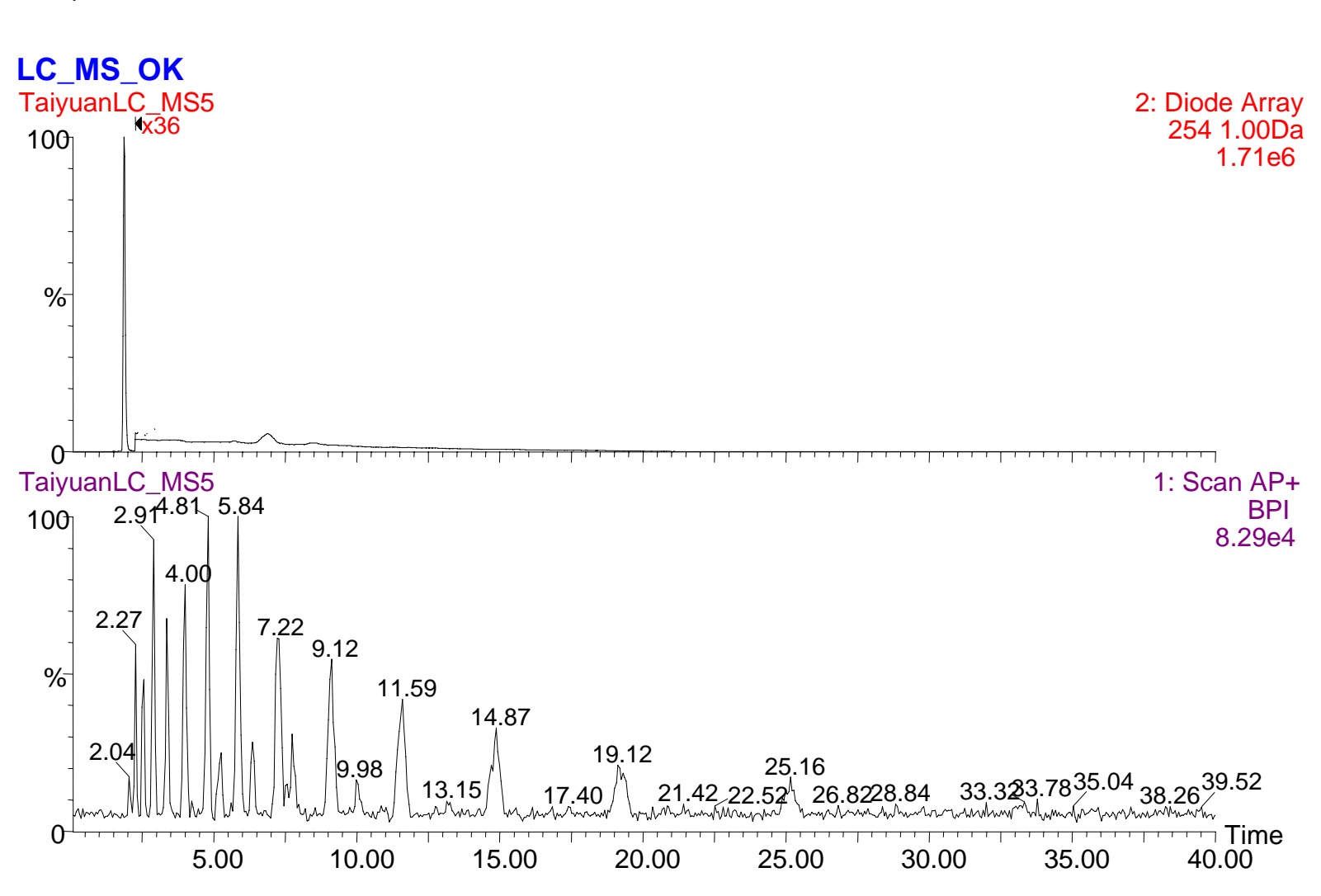
为什么使用 LC/MS? 进一步增加HPLC的分离能力(4)

©2005 Waters Corporation

如果让您来选择,您满意那一种分离度?

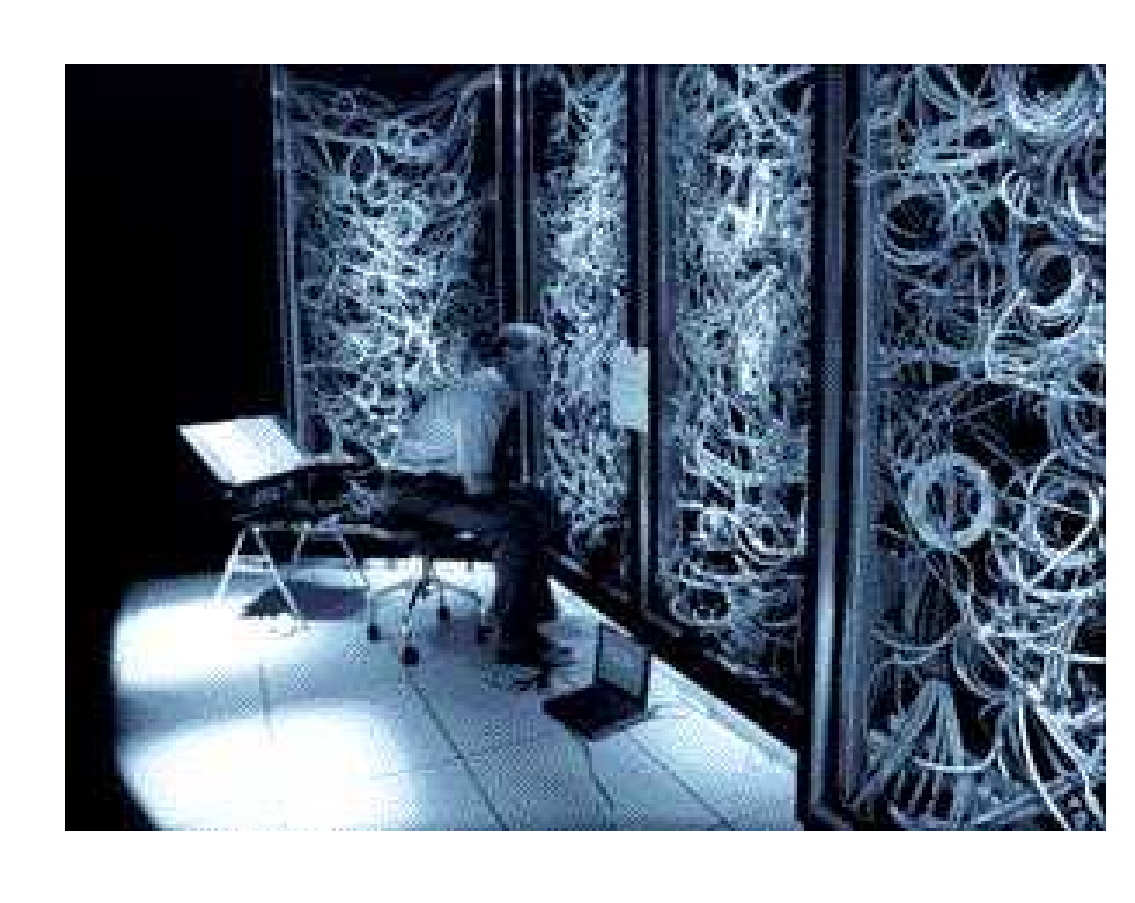


为什么使用 LC/MS?解决无UV吸收样品分析问题(5)



为什么使用 LC/MS? ...

- 快速得到丰富的结果
 - 减少时间获得可靠信息
 - 减少过程获得可靠信息
 - 减少分析次数获得可靠信息



MS的历史

©20	05 Waters Corporation 1910年	世界上第一台现代意义质谱仪在英国剑桥Cavendish实验室出现
•	1917年	电喷雾(Electrospray) 物理现象被发现 (并非为了 MS)
•	1918年	世界上第一台实际意义质谱仪在美国芝加哥大学实验室出现
		(扇型磁场MS)
•	1943年	世界上第一台商业质谱仪
•	1953年	四极杆质量分析器质谱仪
•	1955年	飞行时间质量分析器质谱仪
•	1960's	开发 GC/MS
•	60's-70's	大气压电离(APcl)源被发现(但并未被广泛应用)
•	70's-80's	开始广泛研究 LC/MS
	1979年	传送带式 LC/MS 接口成为商业产品
	1982年	离子束LC/MS接口出现
	1984年	第一台电喷雾 MS仪宣告诞生

电喷雾离子源 MS 首次应用于蛋白质的分析

.

1988年

Manchester 世界质谱中心

- John Dalton (1766-1844) who gave his name to the unit of mass (Da) lived and worked the city for most of his life.
- J.J. Thompson one of the fathers of MS was born in Manchester in 1856.
- The Metropolitan Vickers Electrical Company produced the first MS instruments in the city in the 1940's.
- Today there are ~20 MS enterprises in Manchester....Waters <u>Micromass is</u> <u>the largest & most successful</u>

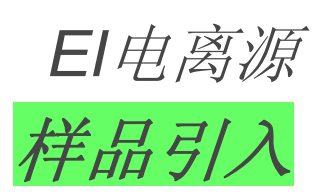


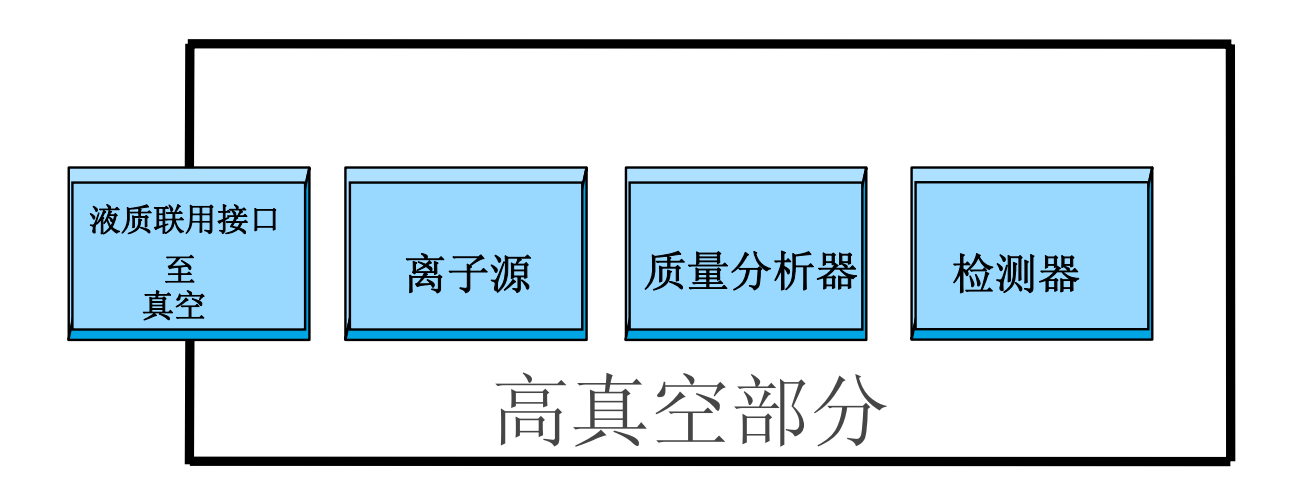
什么是质谱(MS)?



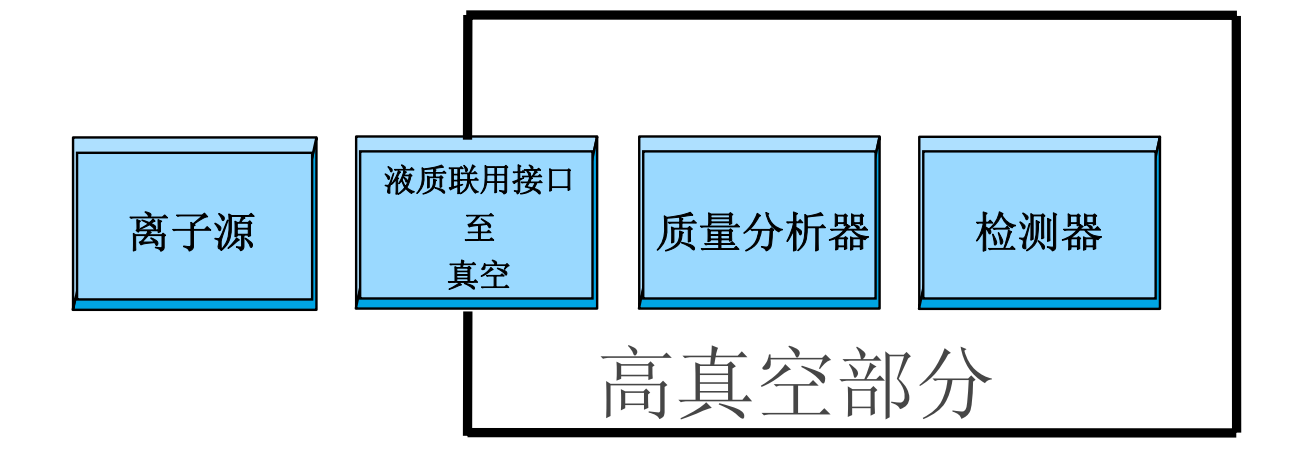
LC/MS 系统构成

©2005 Waters Corporation





API电离源 样品引入





真空系统

©2005 Waters Corporation

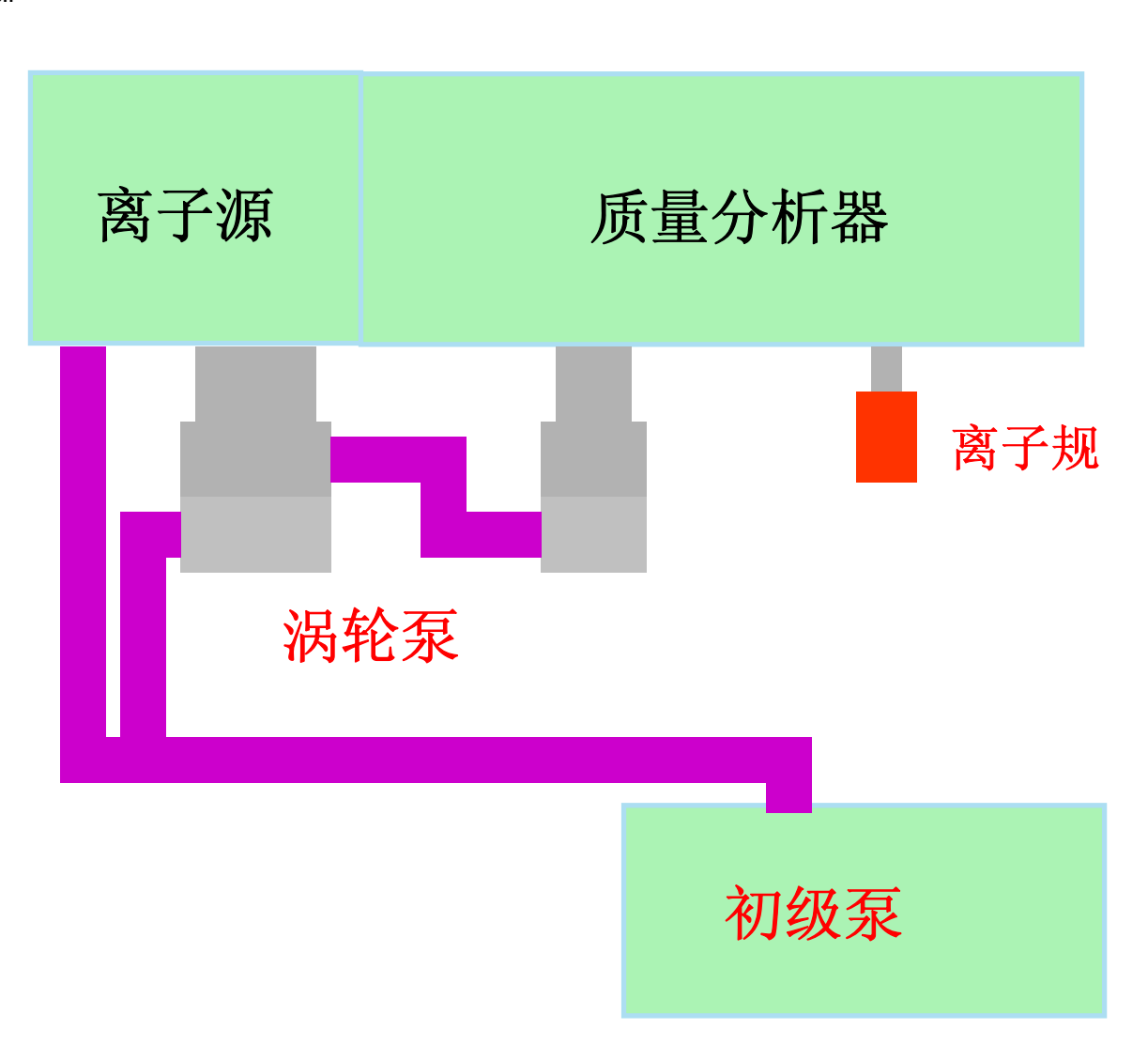
质谱仪之所以在低压下工作是为了 ...

- 尽量减少离子-分子之间的碰撞(即,得到最大平均自由程)
 - -碰撞可能导致离子偏离所期望的由离子源到检测器的通道
 - -碰撞可能导致产生意外的离子或反应

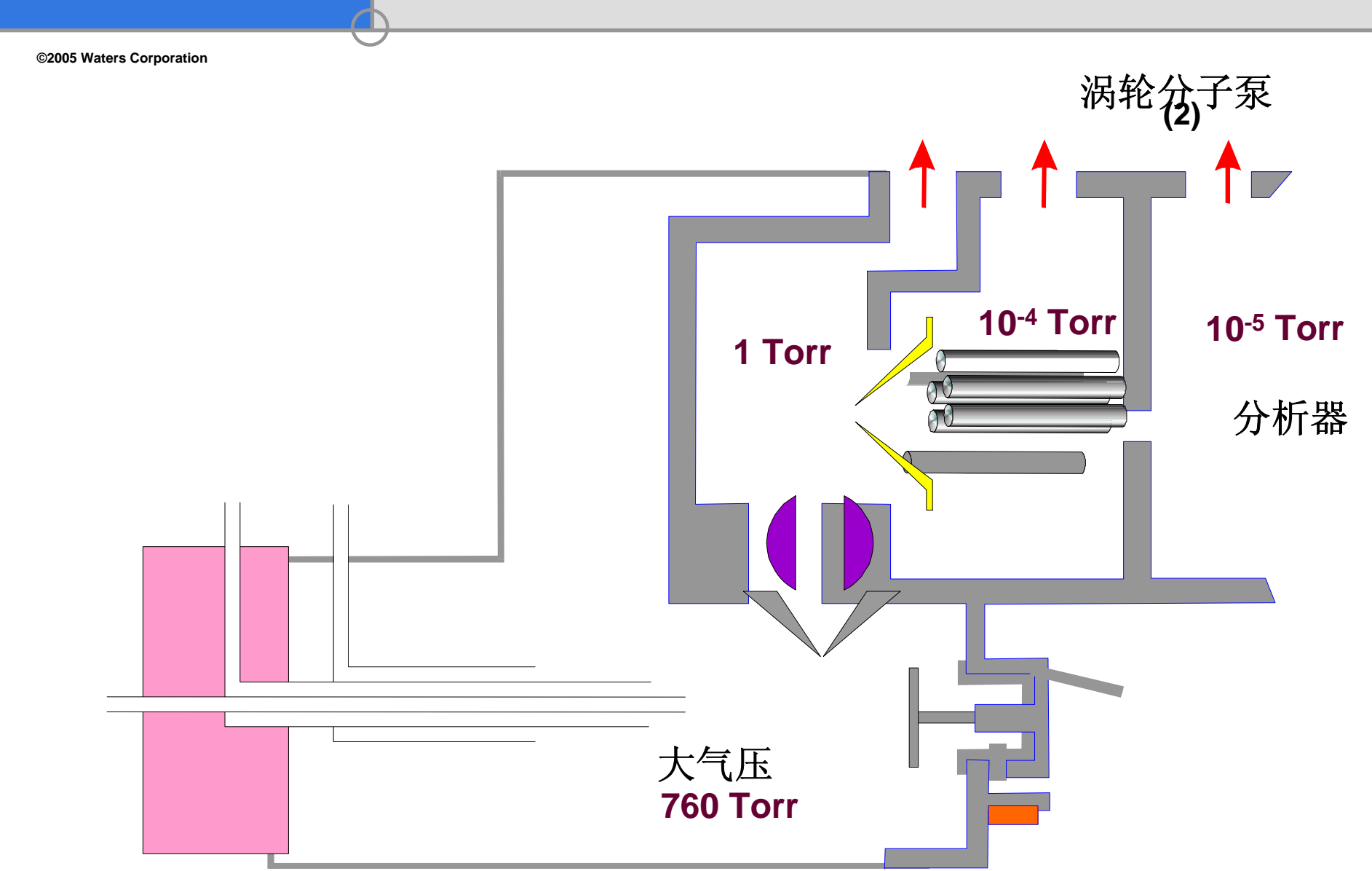
- ■防止在高电压(用于某些离子聚焦)下生成电弧
- ■减少污染/化学噪音



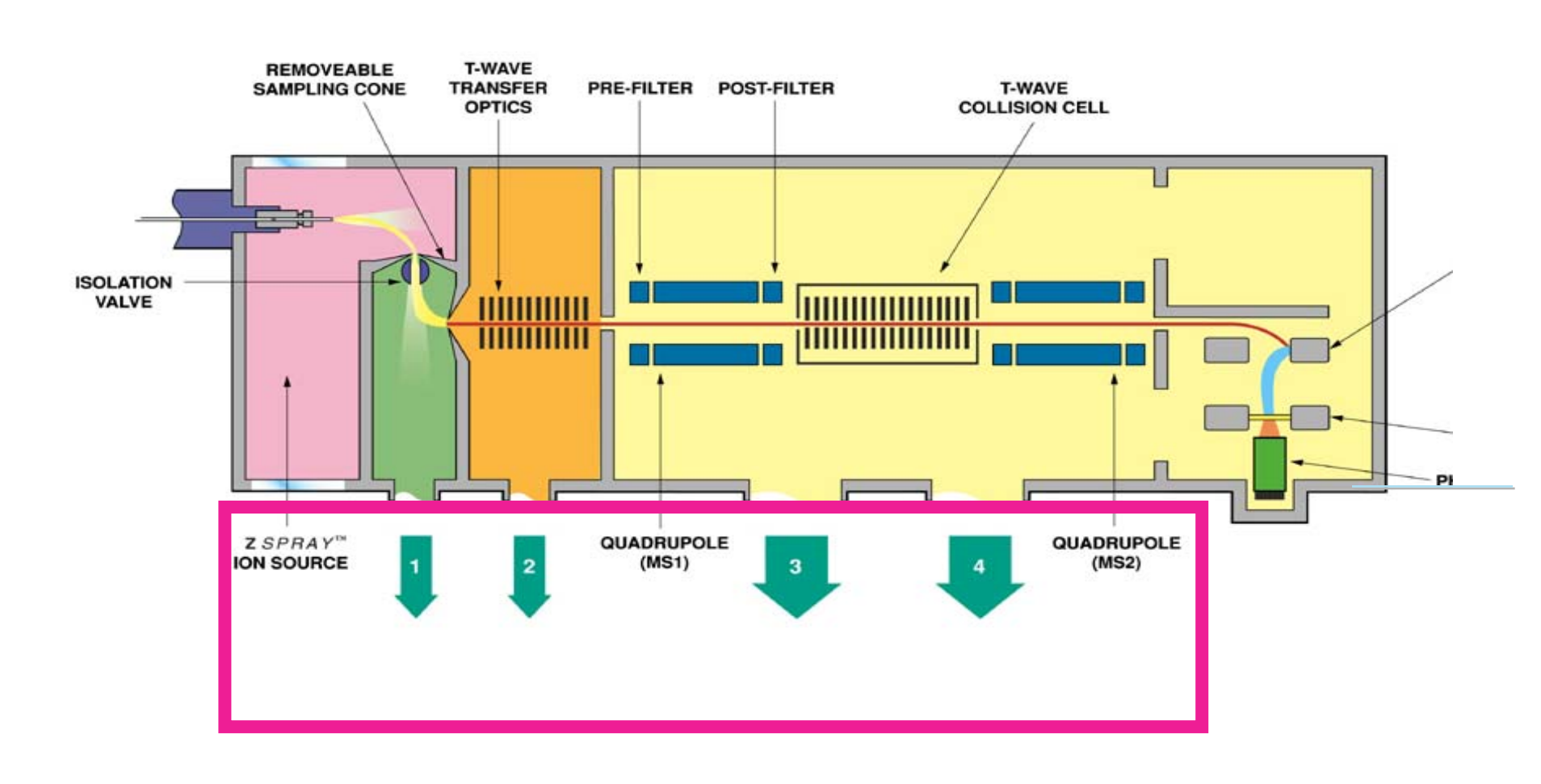
真空系统



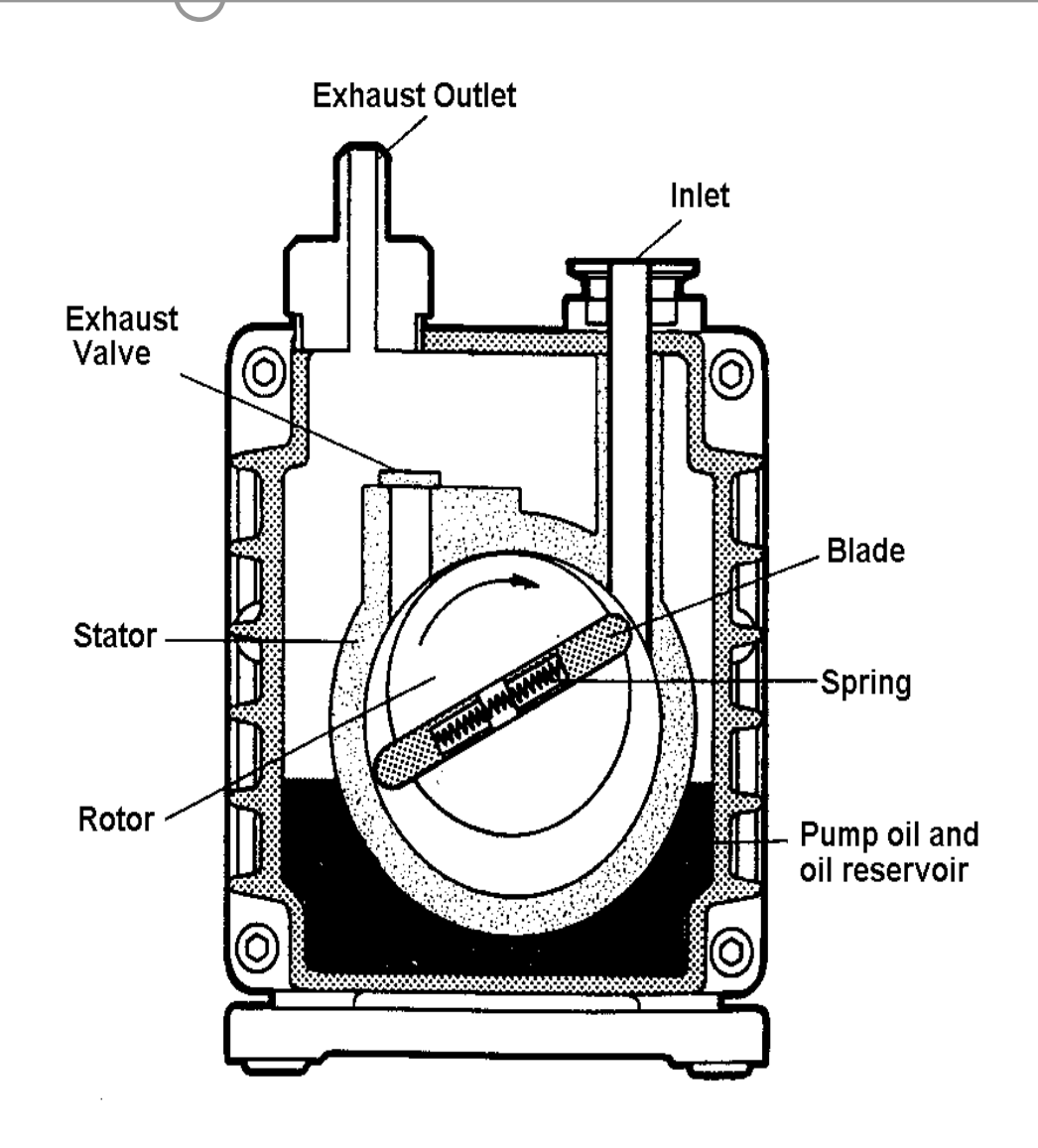
真空系统



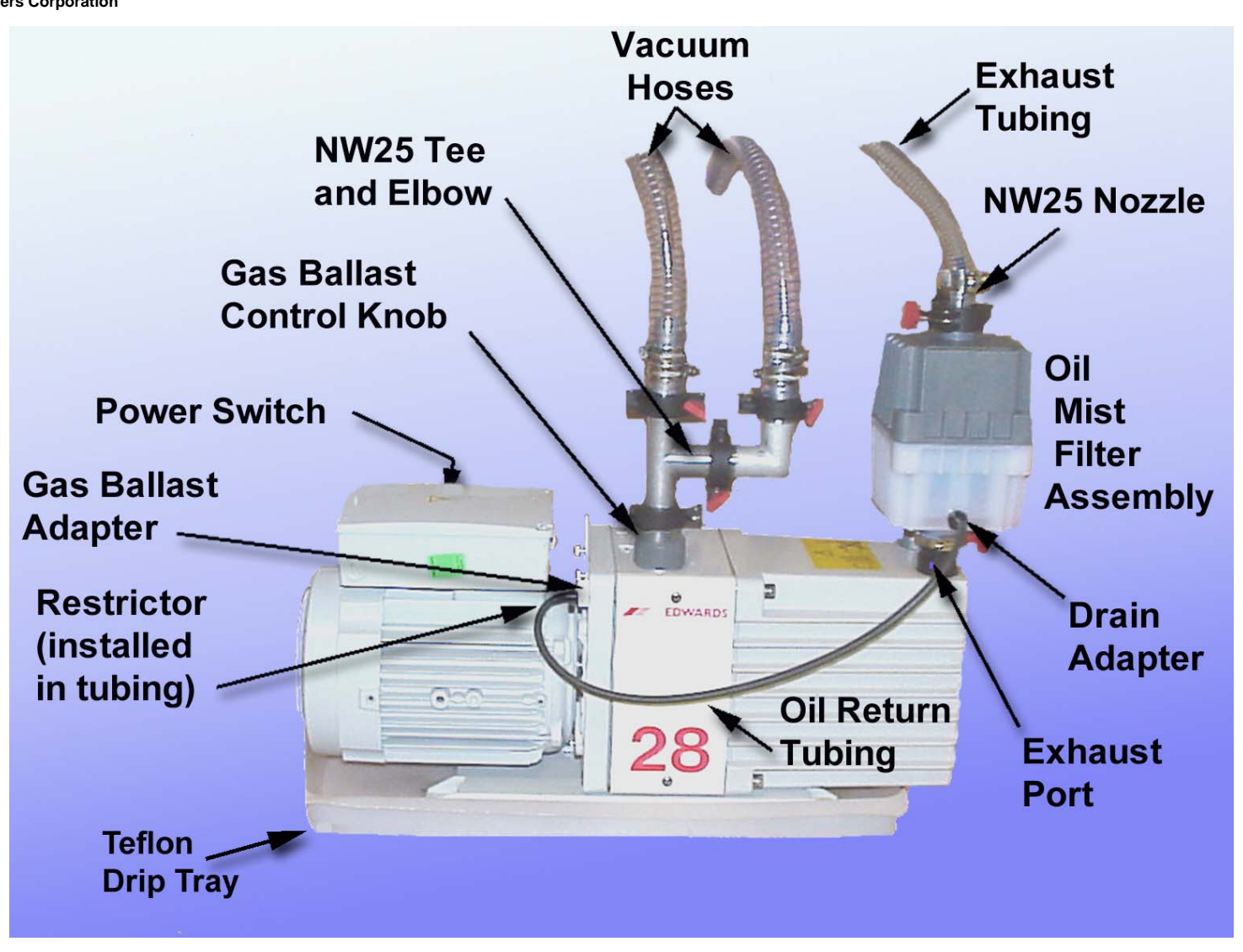
真空系统



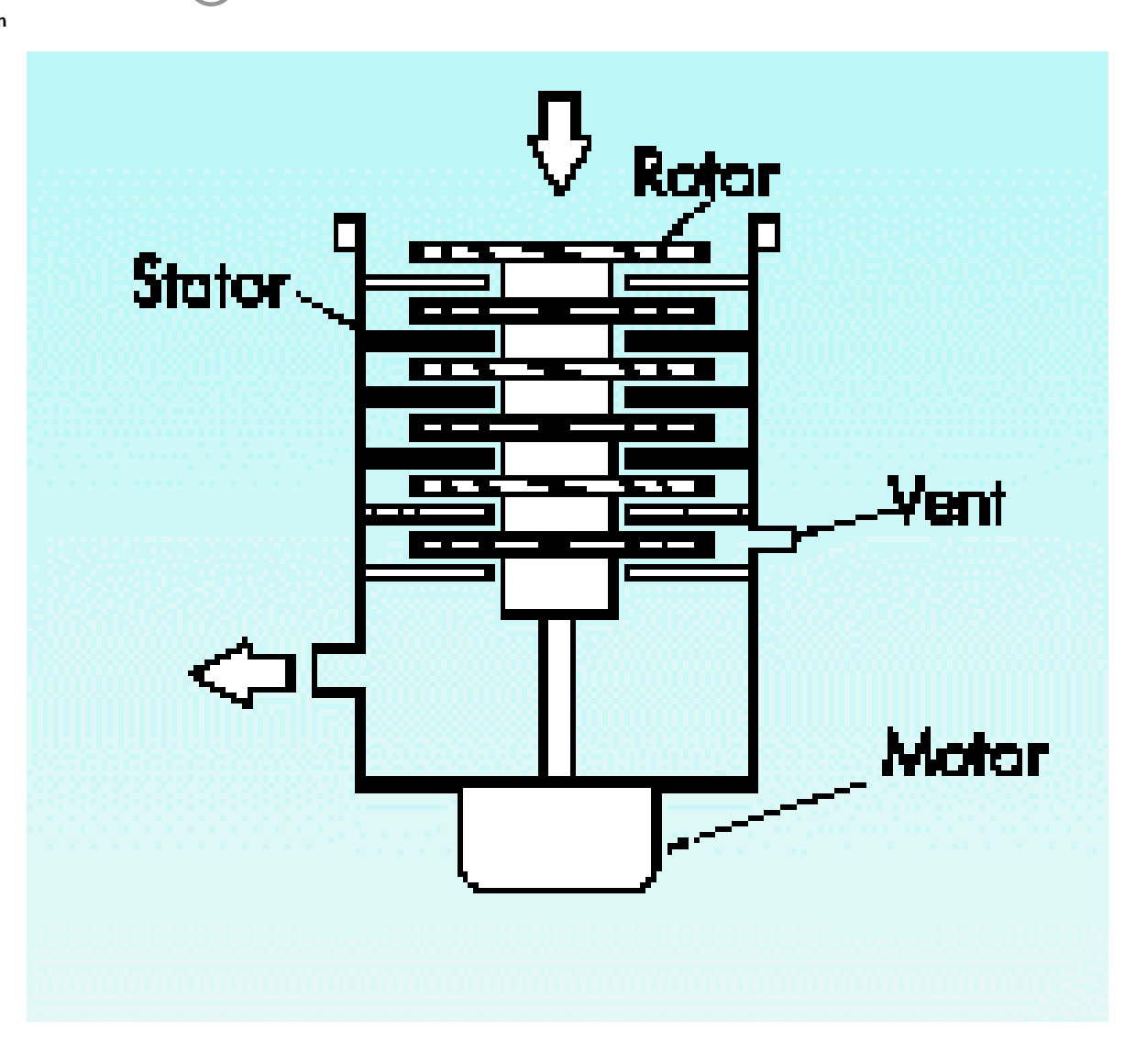
前级泵原理示意图



初级泵外观

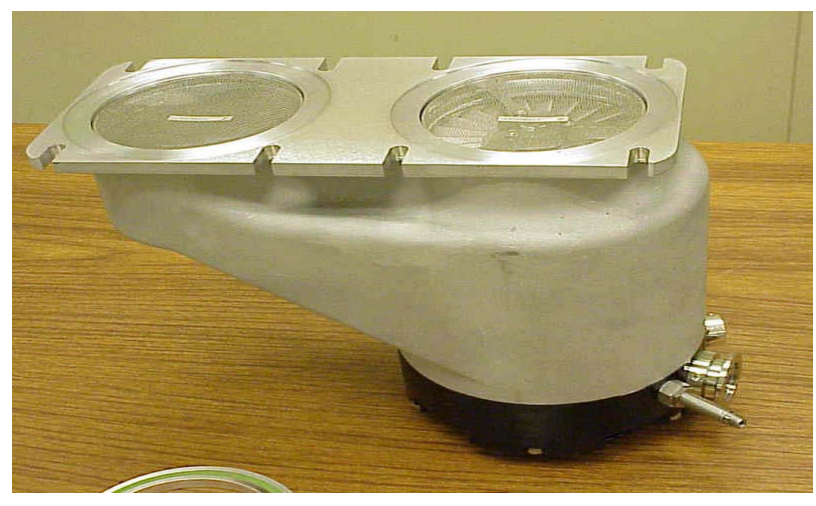


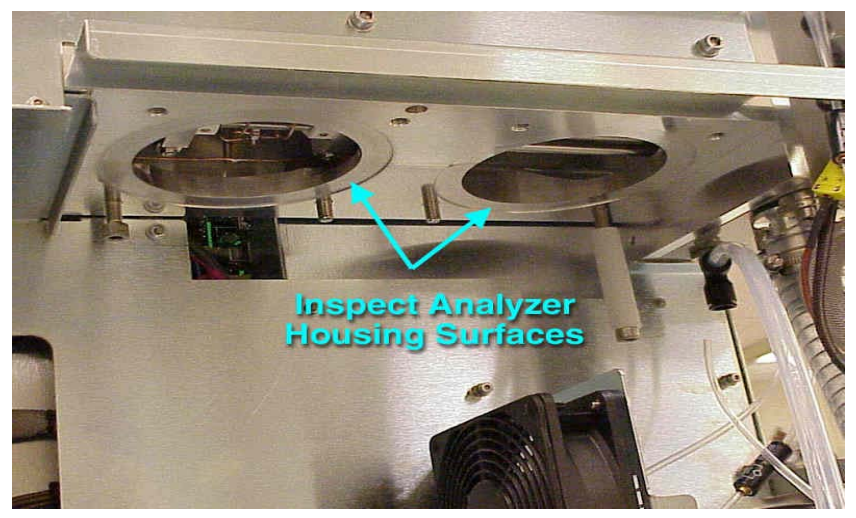
涡轮分子泵原理示意图



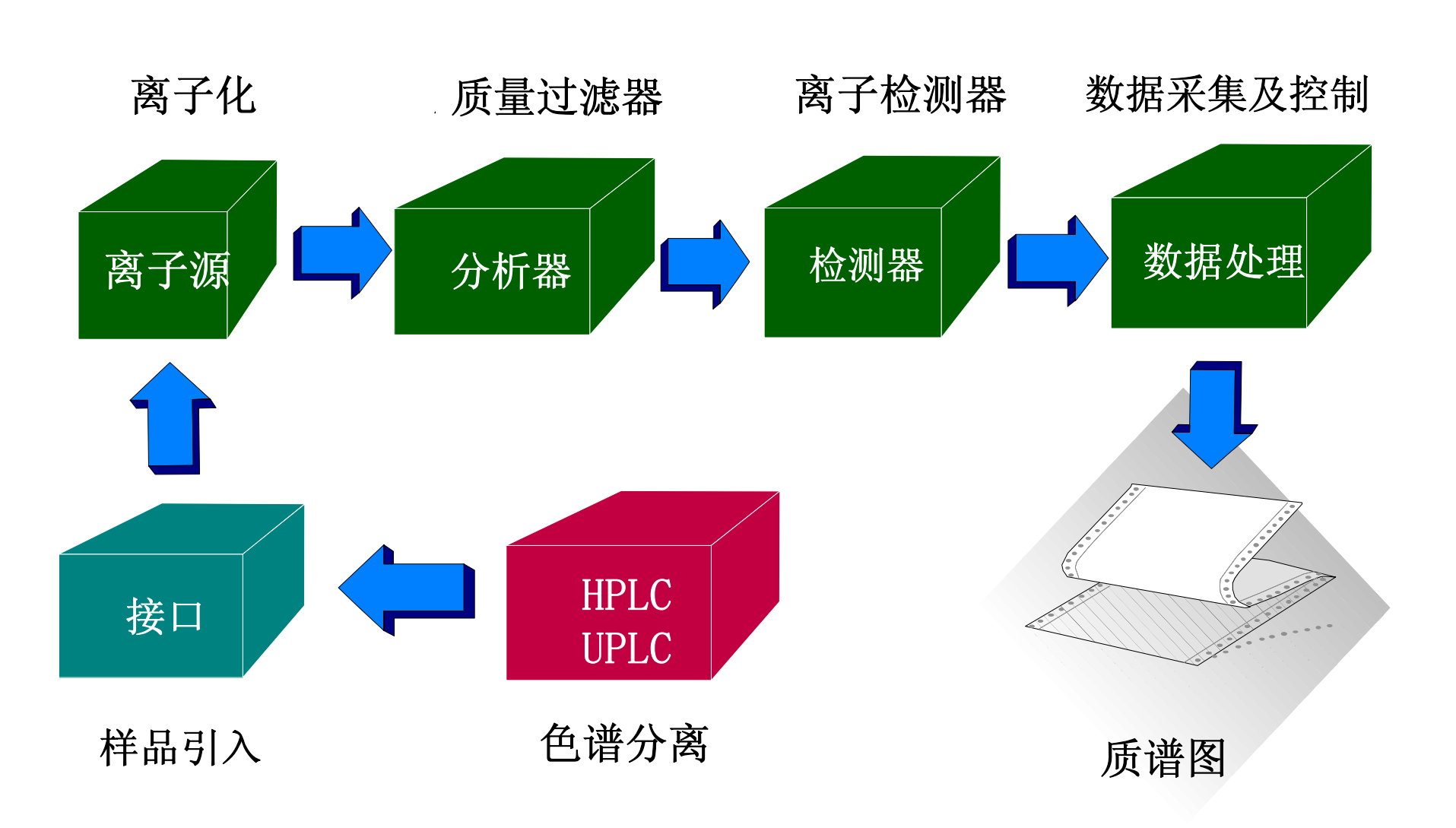
涡轮分子泵







液质联用的接口技术



LC/MS联用的难点

©2005 Waters Corporation

•LC/MS 接口必须使流动的液流达到 MS 可接受的压力 (10⁻⁵ - 10⁻⁶ torr) 同时以极小的谱带展宽尽可能多地输送样品到MS

711 177		_ <u></u>	11,42	
111 71	· H	- T	比较	
\mathcal{L}	- /J .	ノし	レロイス	

对真空泵的要求 * (liters/sec)

毛细管 GC, 1mL/min (气体)

~400

微柱 LC, 10 μL/min

~5,000

填充柱 LC, 1 mL/min

~50,000

^{*}为了保持 3 x 10⁻⁶ torr (4 x 10⁻⁶ mbar)的真空

LC/MS联用中的转变过程一接口

©2005 Waters Corporation

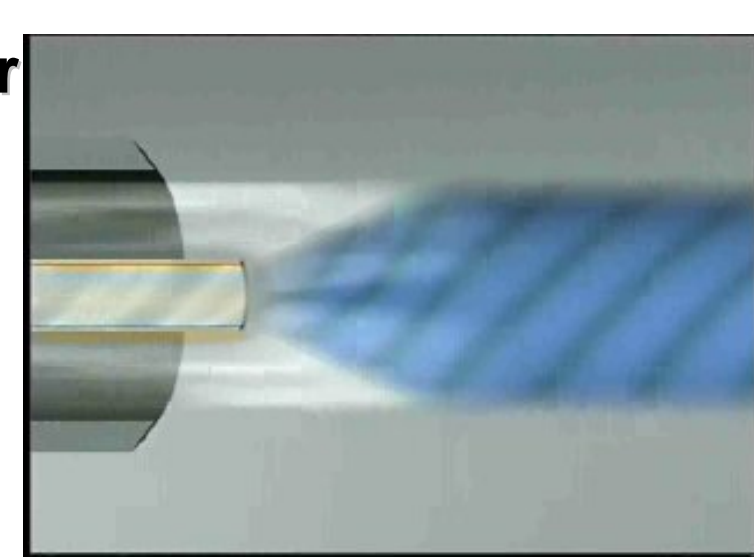
- 液相色谱的现实情况: 从高效液相色谱流出的化合物存在于大气 压条件下的溶液之中
- ■质谱的现实情况: 在高真空工作条件下的质谱仅接受气相的离子
- ■因此液质联用的接口必须完成:

物态转变:液态 - 气态

带电状态: "中性" - 离子

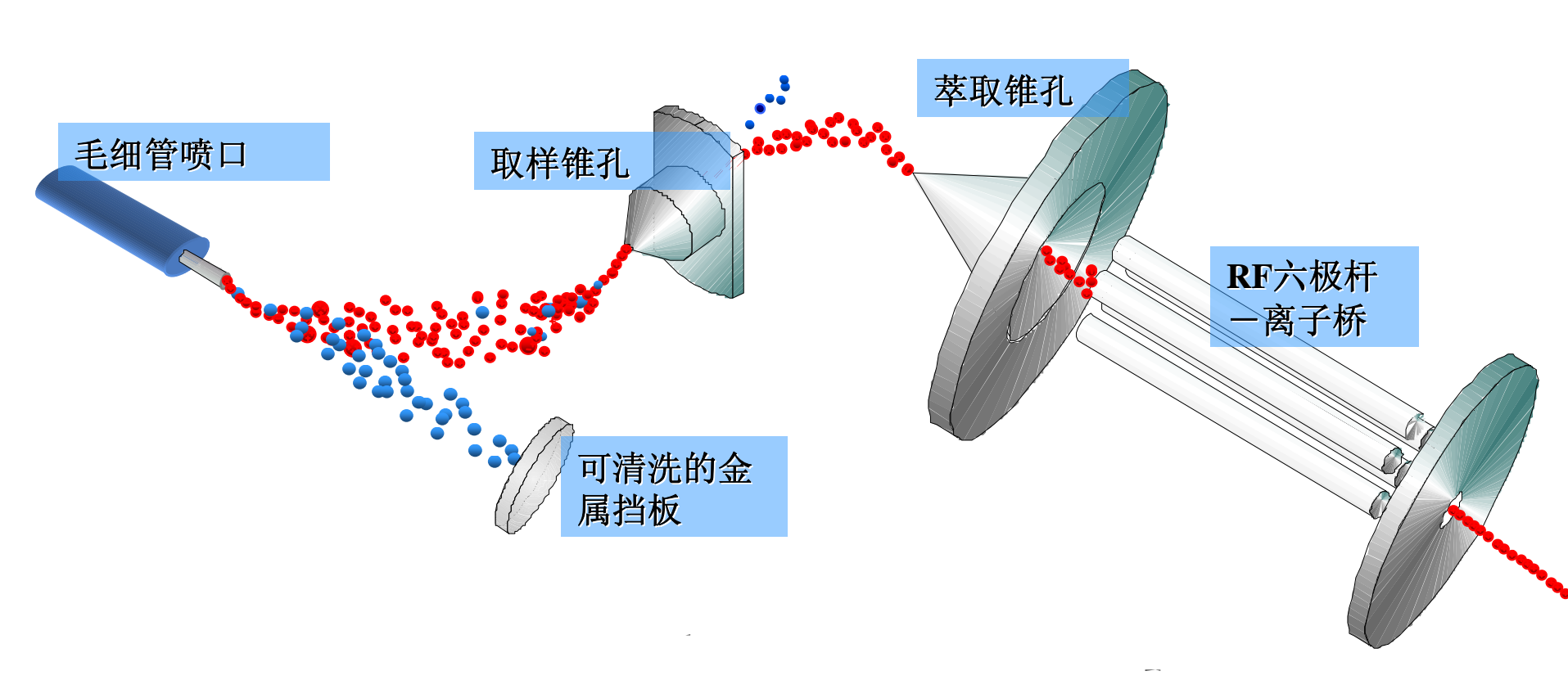
真空变化: 760 torr - 10⁻⁵ to 10⁻⁸ torr

雾化,去溶剂和电离同时完成



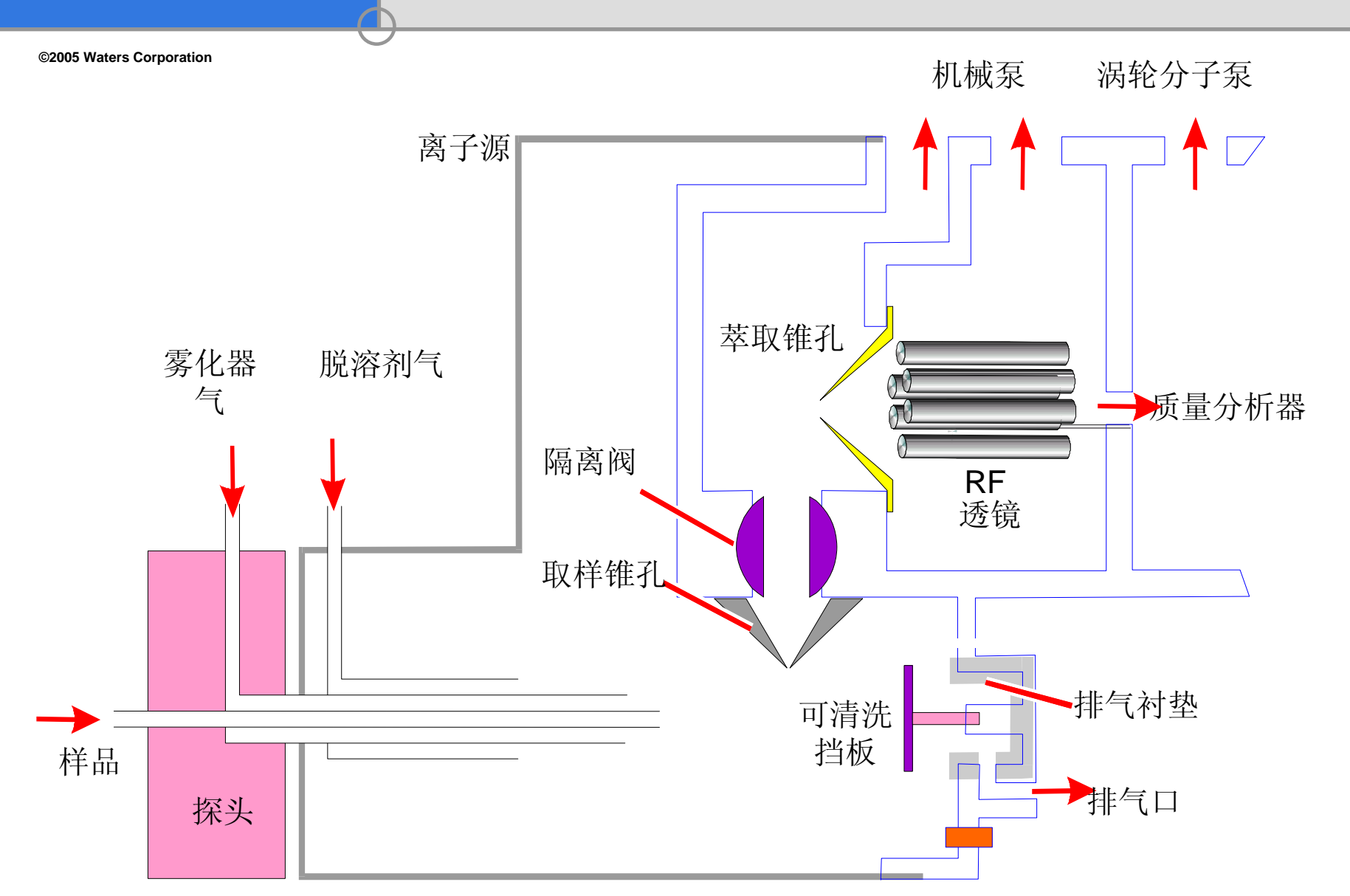
API接口: Z-Spray 接口

©2005 Waters Corporation

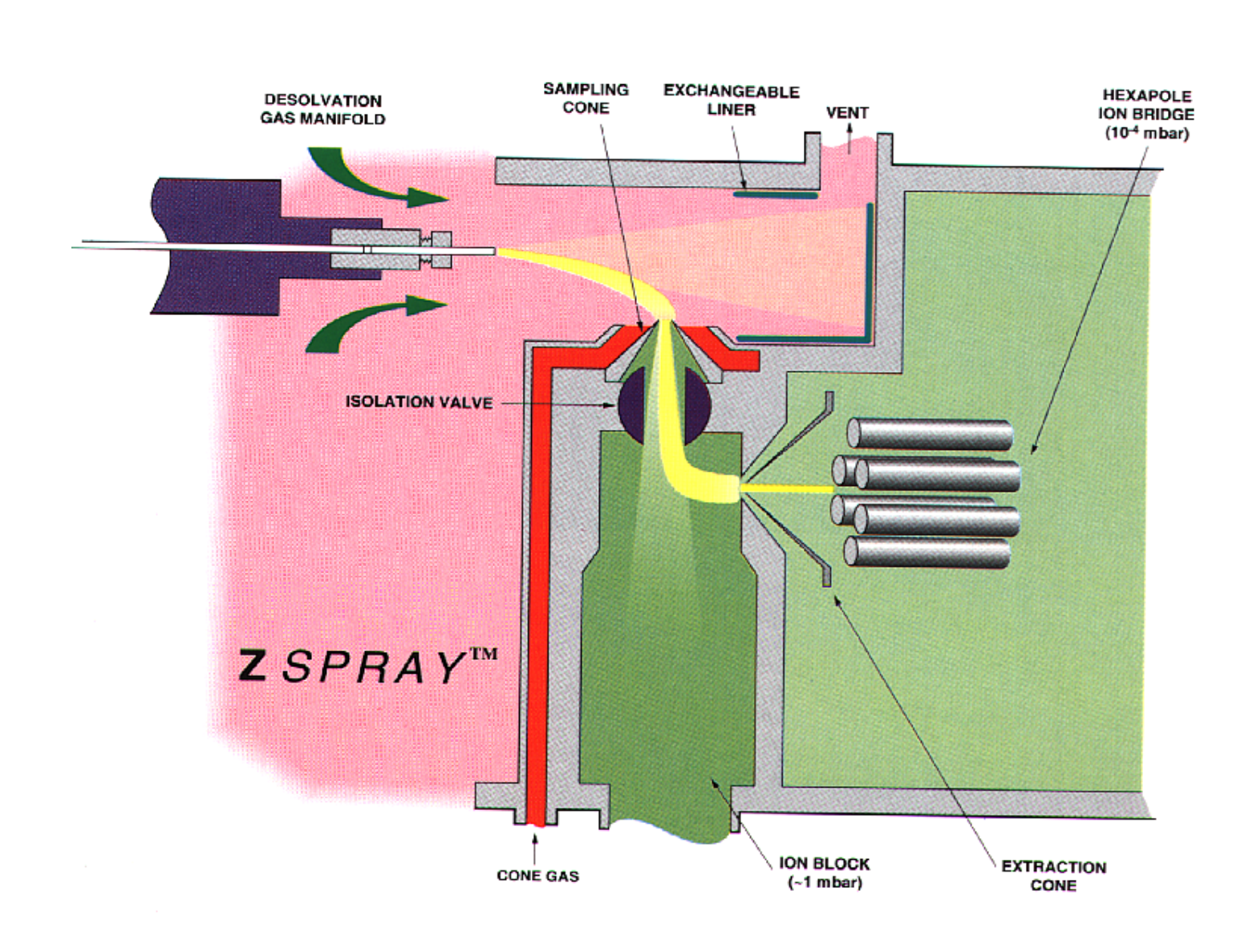


双正交采样技术可避免污染及提高灵敏度

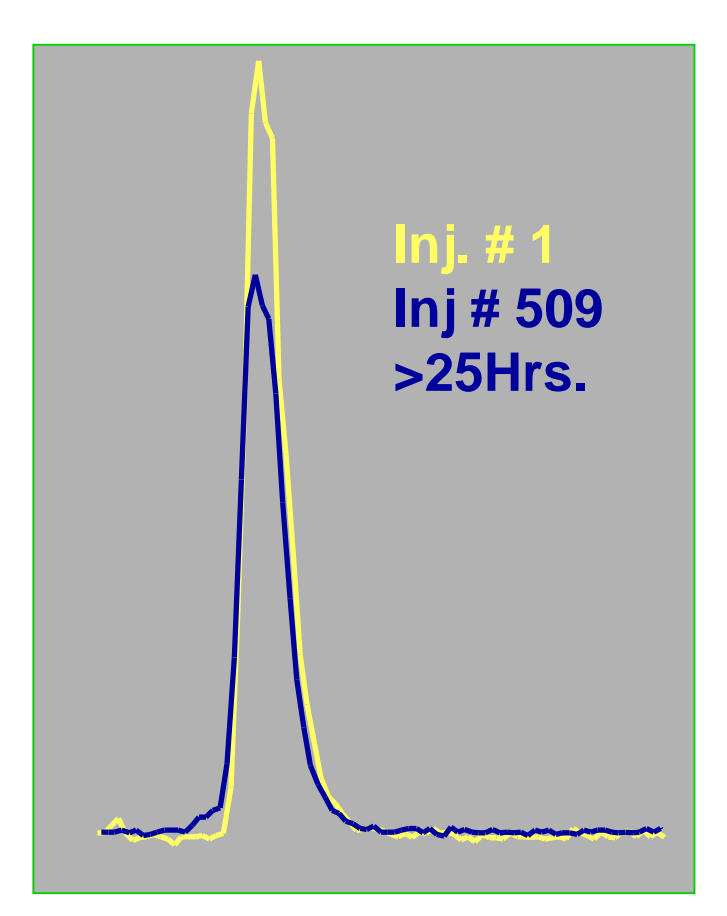
ESI 接口

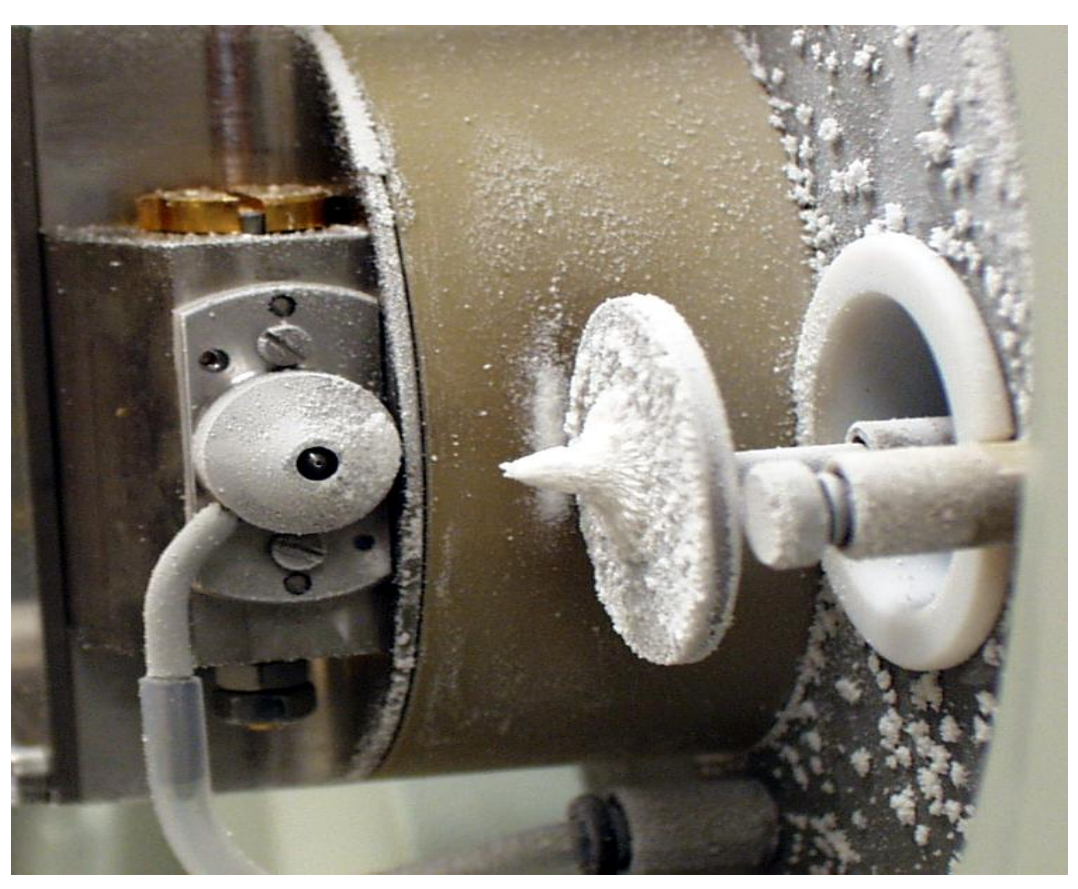


Z-Spray: LC/MS 接口

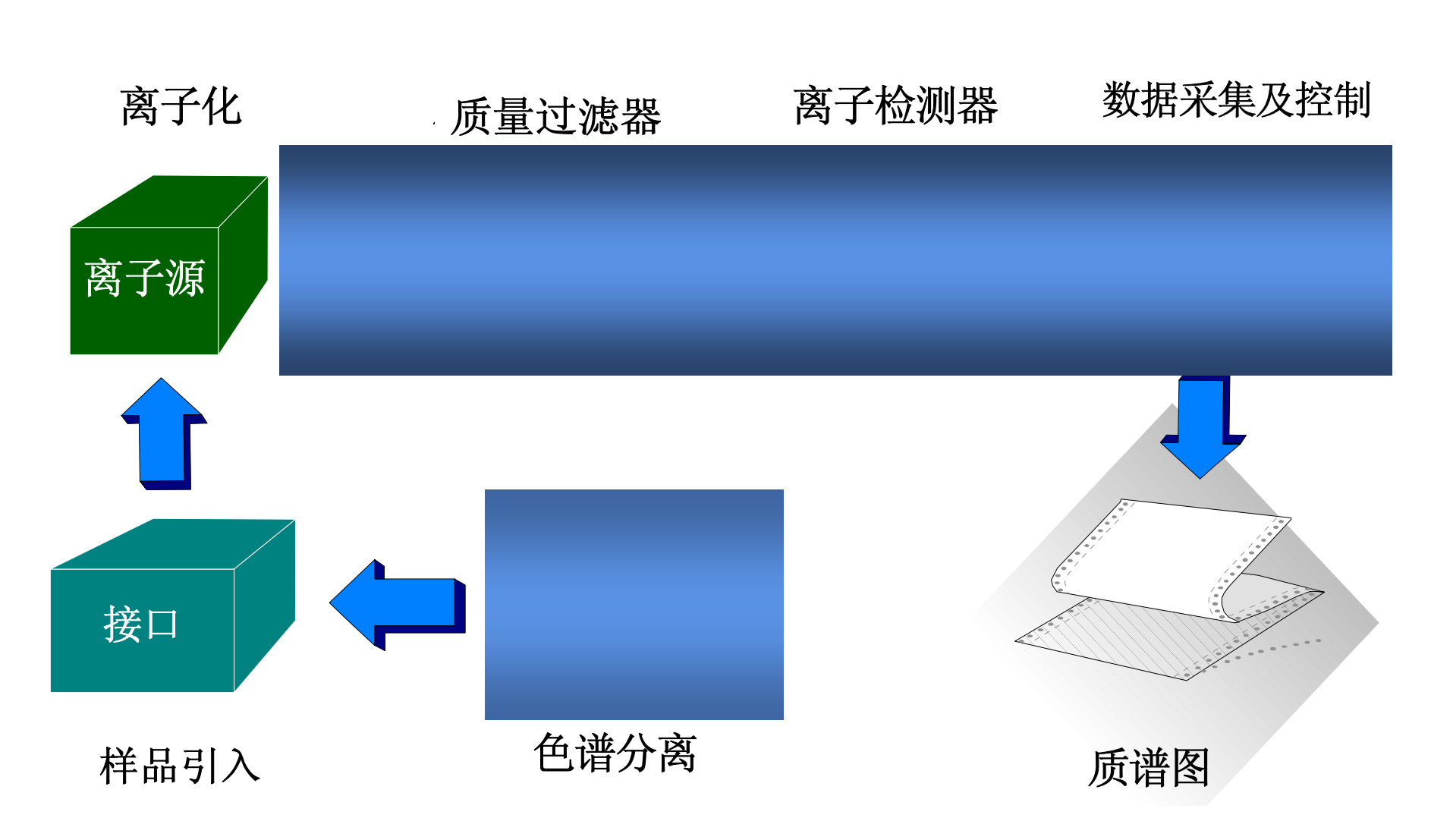


MKII:LCMS接口技术的新突破 Diphenhydramine in 10mM Phosphate Buffer





电离技术



质谱的种类及相关联用技术

©2005 Waters Corporation

GC LC CE Flow Inj Probe PB/EI ESI APCI TSP FAB MALDI

Quadrupole

Magnetic Sector Time of Flight Ion Trap FT-MS

Turbo Mechanical

Electron Multiplier Photomultiplier

Microchannel Plate

- •样品的引入模式
- •溶剂的去除或抽 真空方式
- •质子化模式

- •离子分离模式
- •质量分析器
- •离子检测
- •数据的采集及处理

司一个样品的质谱图可能不一样



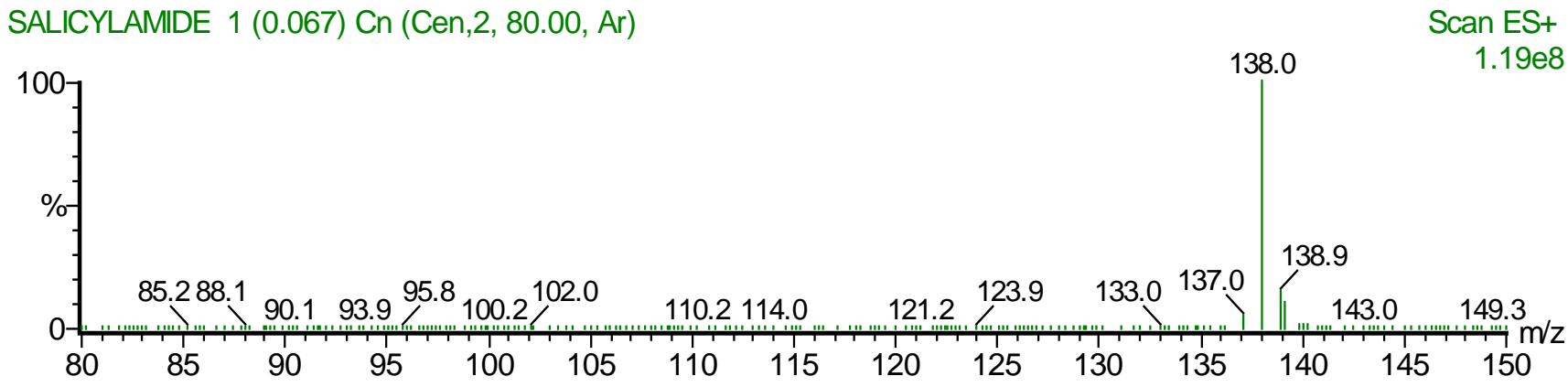
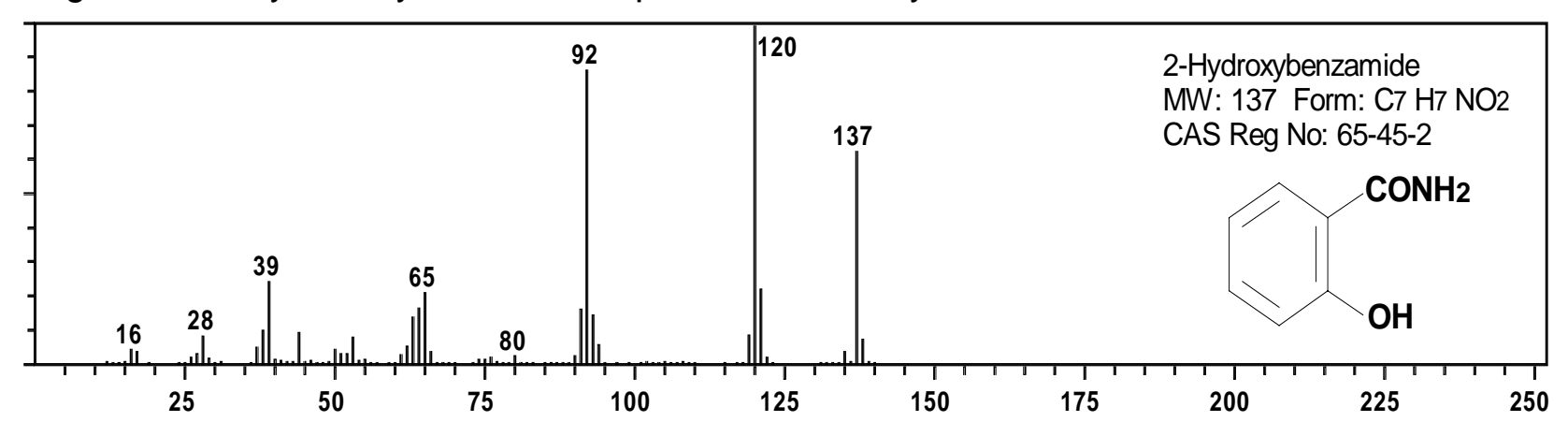
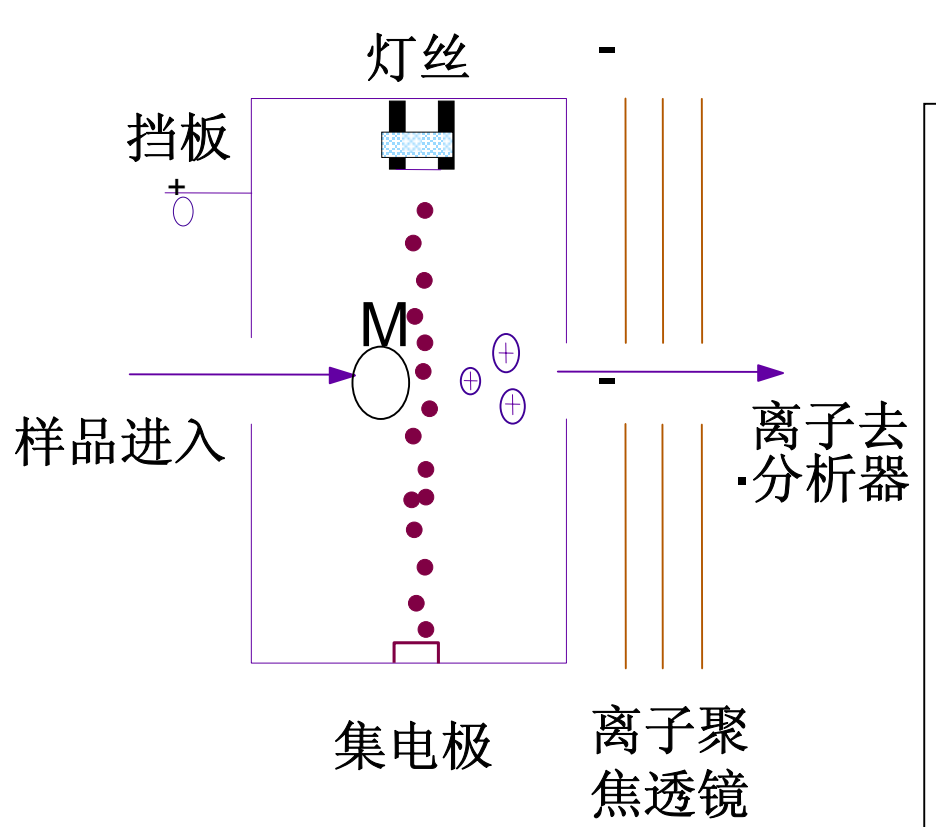


Figure 1. Wiley Library Reference Spectrum of Salicylamide



传统的样品电离方式: EI源



- EI源:电子轰击电离源
- 可得 经典的质谱谱图
- 可查询质谱库,质谱结果可用工业标准谱库检索,是绝对的化合物鉴定
- 相对易得,耐受性好
- 普图可解析,阐明结构信息
- 但是,电离效率较差,测定的 分子量范围、流速范围有限; 可测的化合物类型有限



EI源LC/MS系统:

©2005 Waters Corporation

Waters Integrity 系统

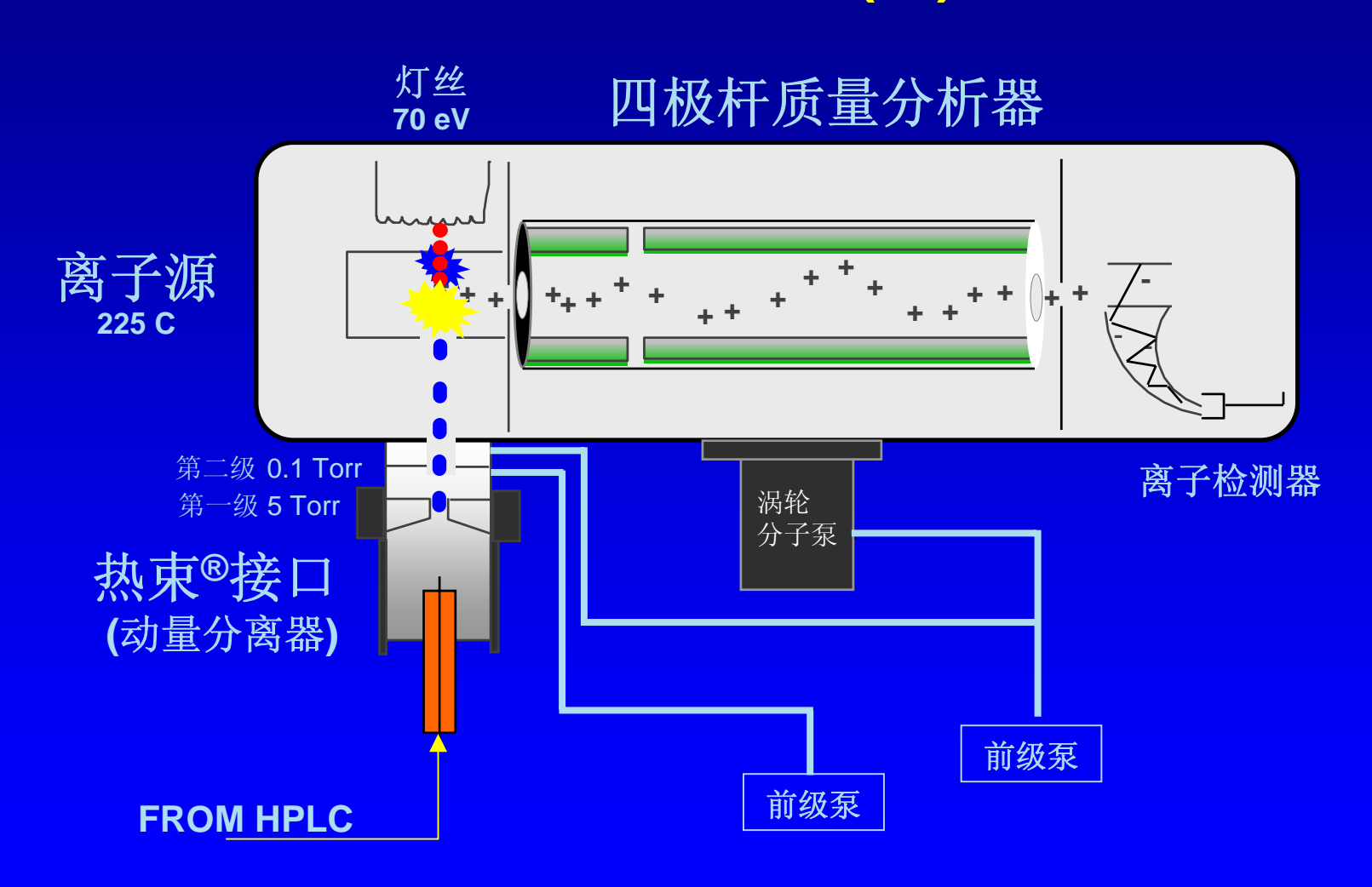




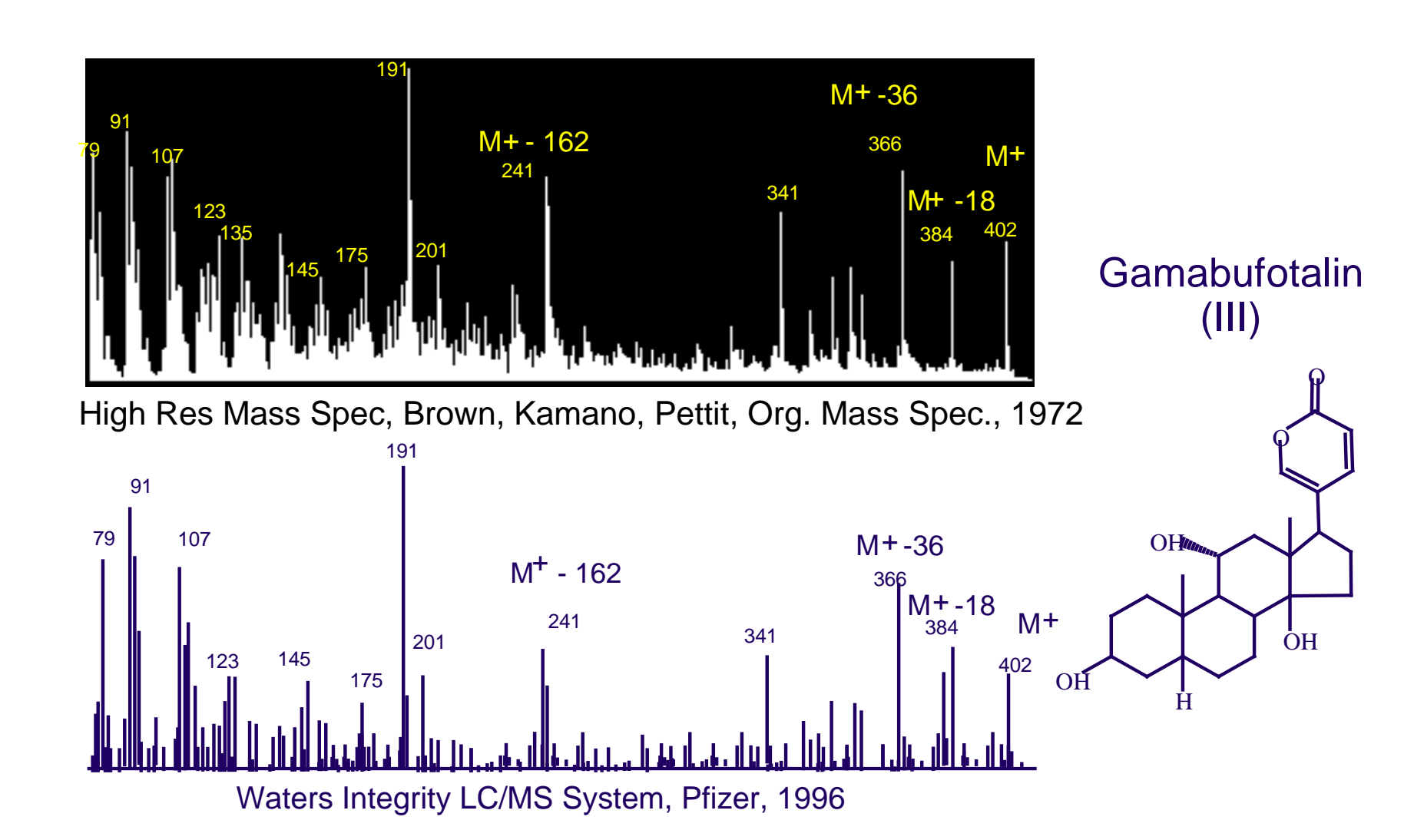
Integrity® 质谱检测器

©2005 Waters Corporation

电子轰击电离源(EI)

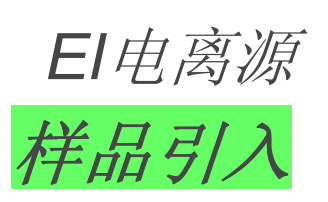


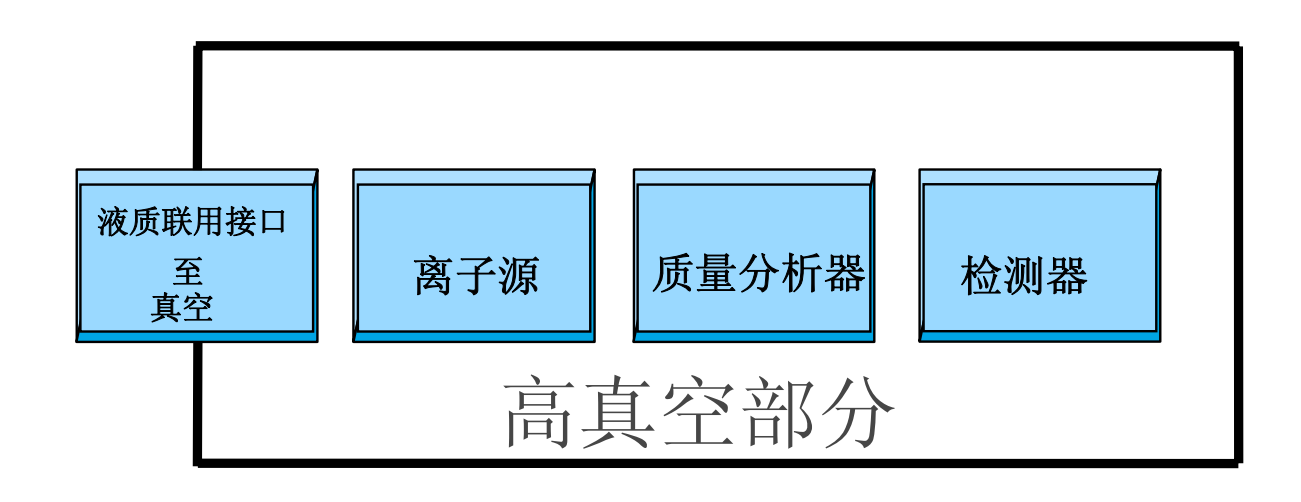
EI 谱库: 几十年积累的宝贵财富



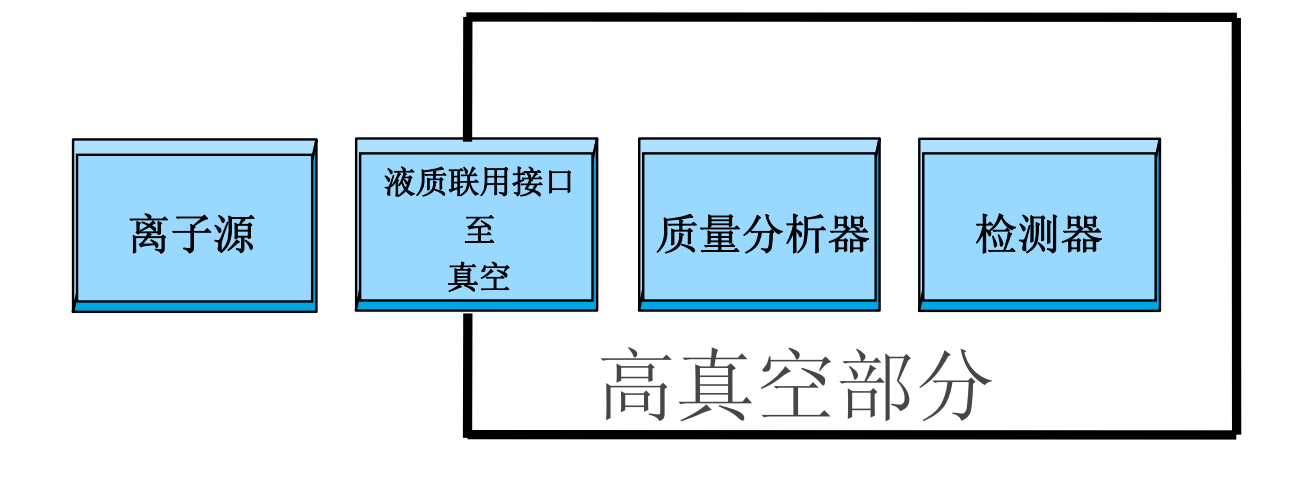
API与传统电离技术的区别

©2005 Waters Corporation

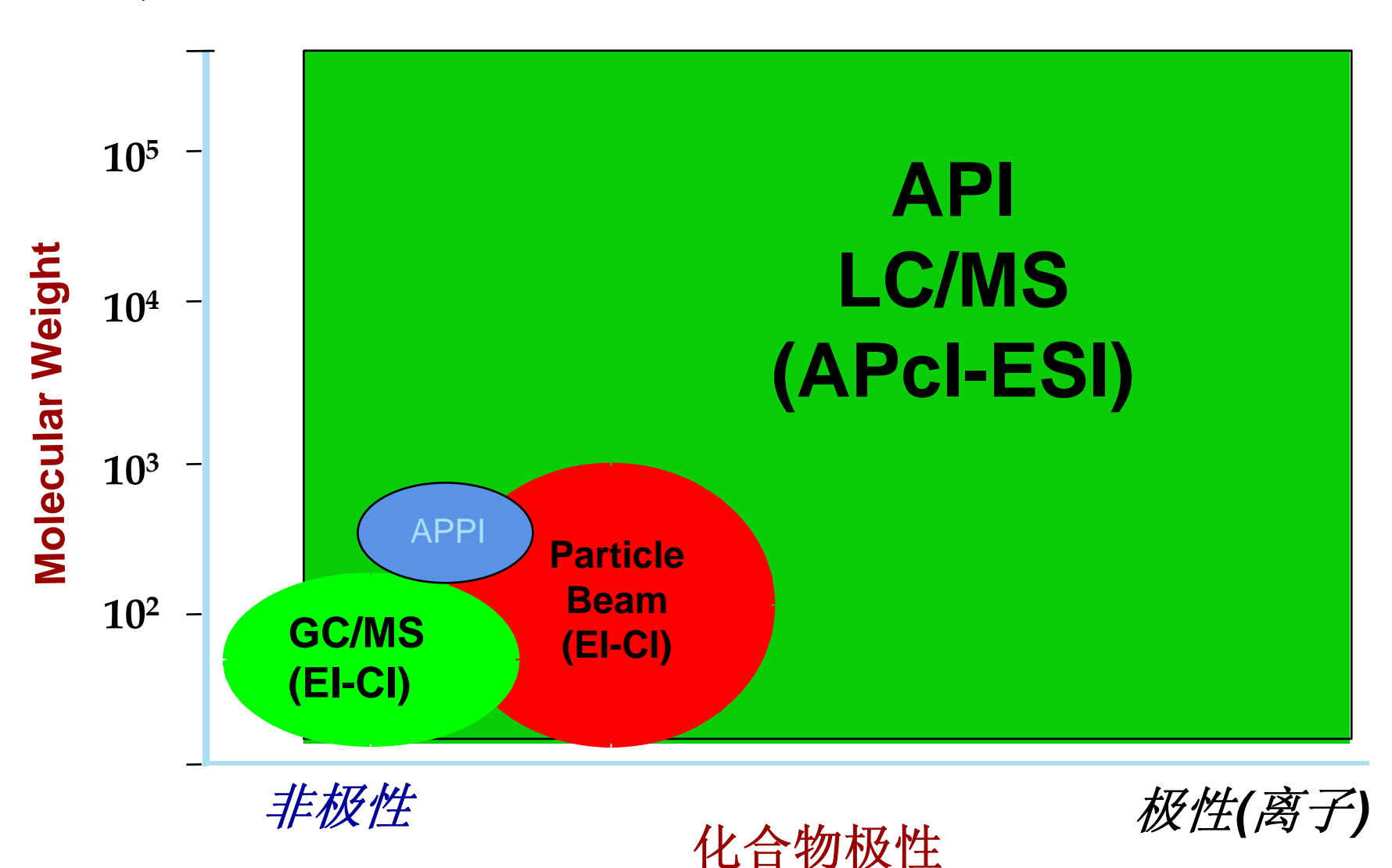




API电离源 样品引入



不同电离技术的适用范围

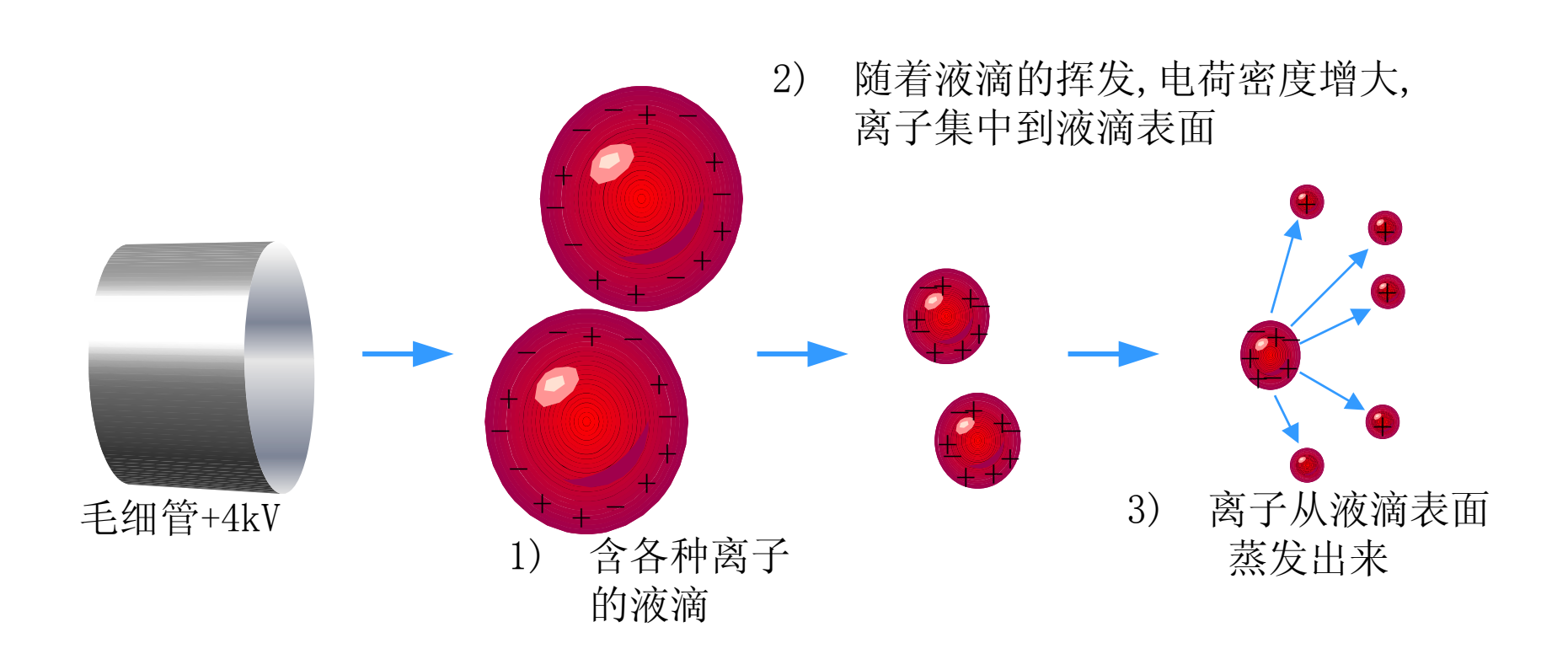




大气压电离 (API) 技术

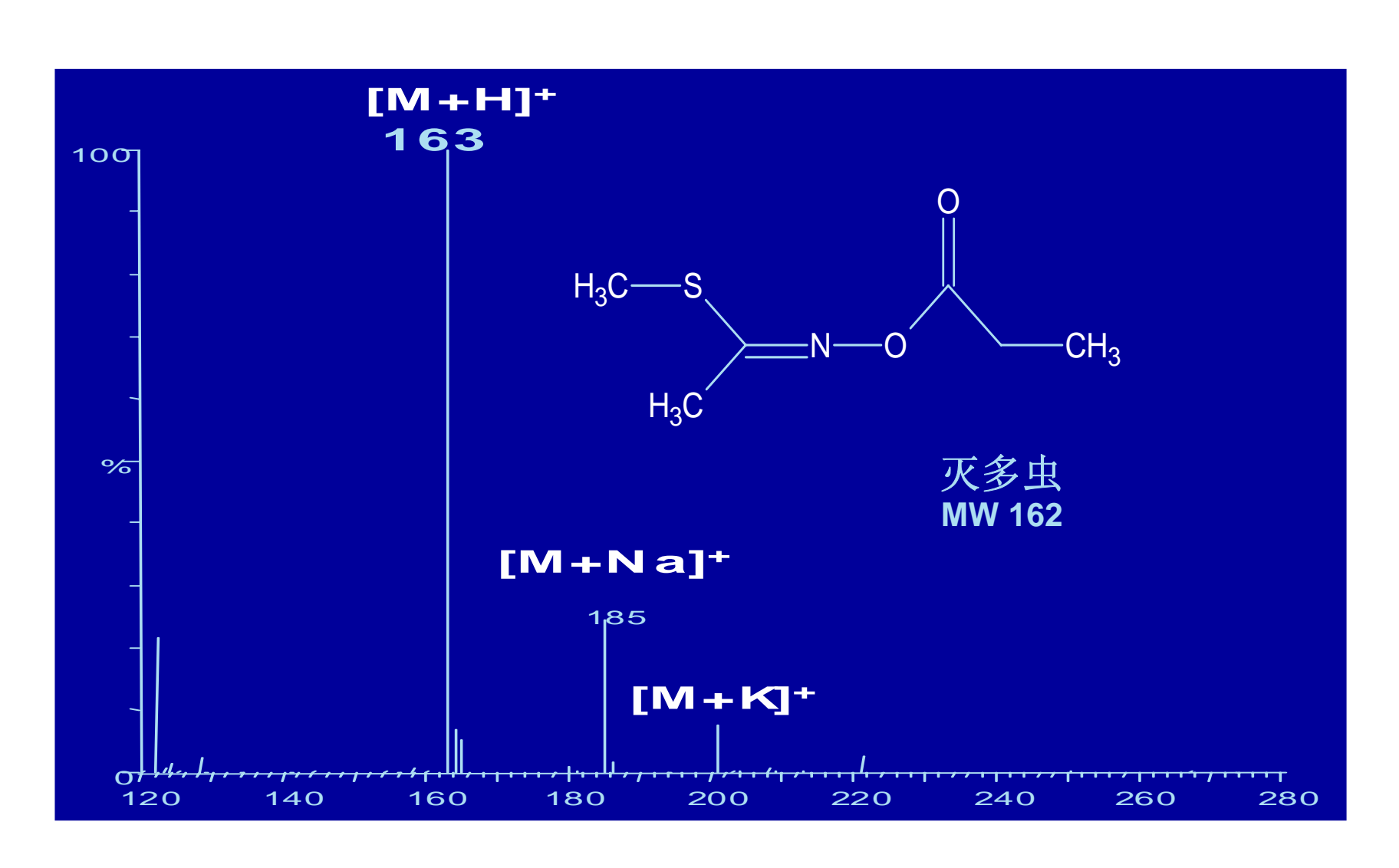
- ❖ 电喷雾电离(Electrospray Ionization ESI)
- ❖ 大气压化学电离 (Atmospheric Pressure Chemical Ionization - <u>APCI</u>)

什么是电喷雾电离(ESI)?



ESI+ 电离模式

产生 [M+H]+ 准分子离子峰

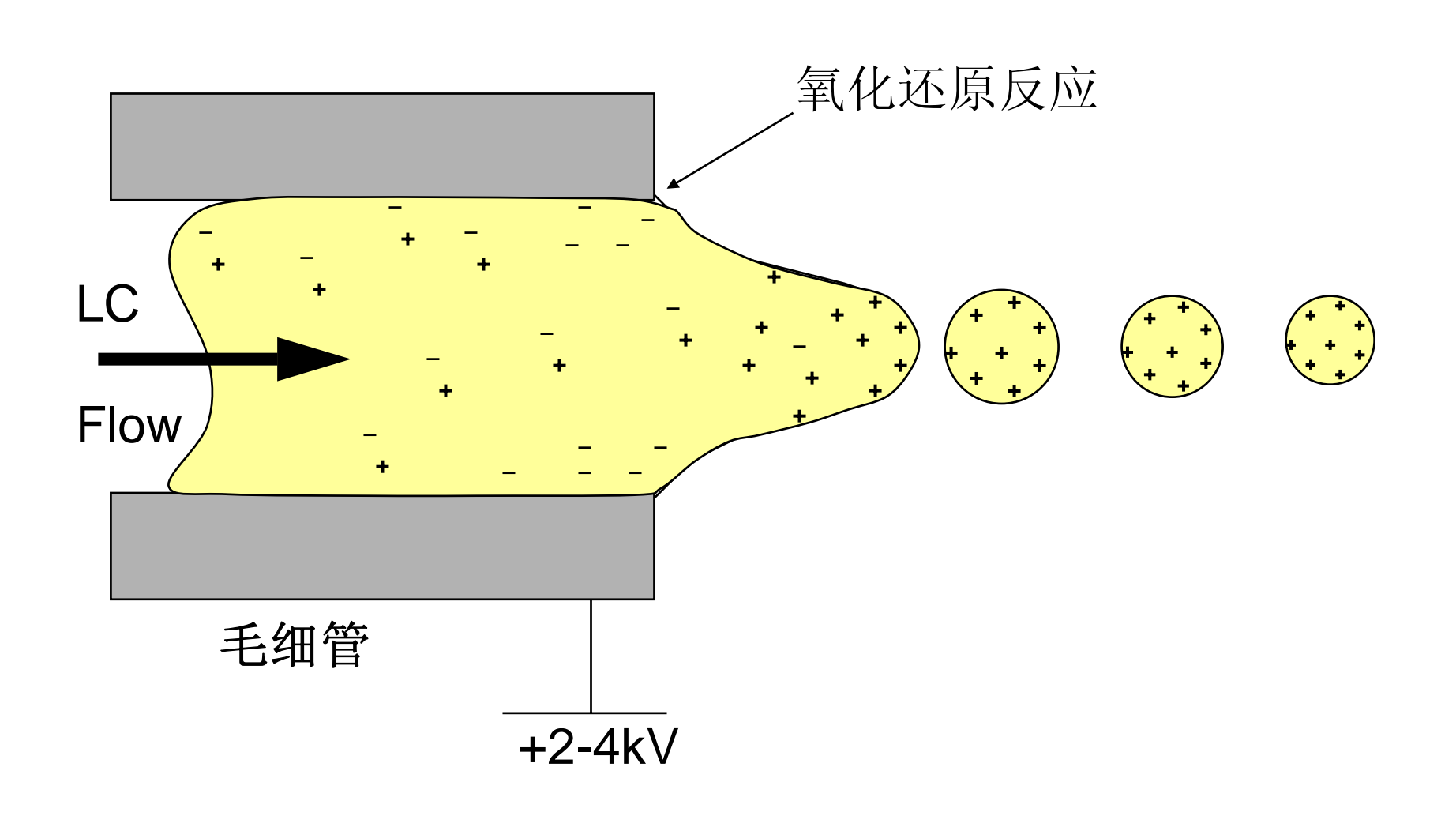




电喷雾 (ESI) 离子化过程

- *电喷雾离子化可分为三个过程:
 - *形成带电小液滴
 - *溶剂蒸发和小液滴碎裂
 - *最终形成气相离子

1. 电喷雾离子化:形成带电液滴



©2005 Waters Corporation

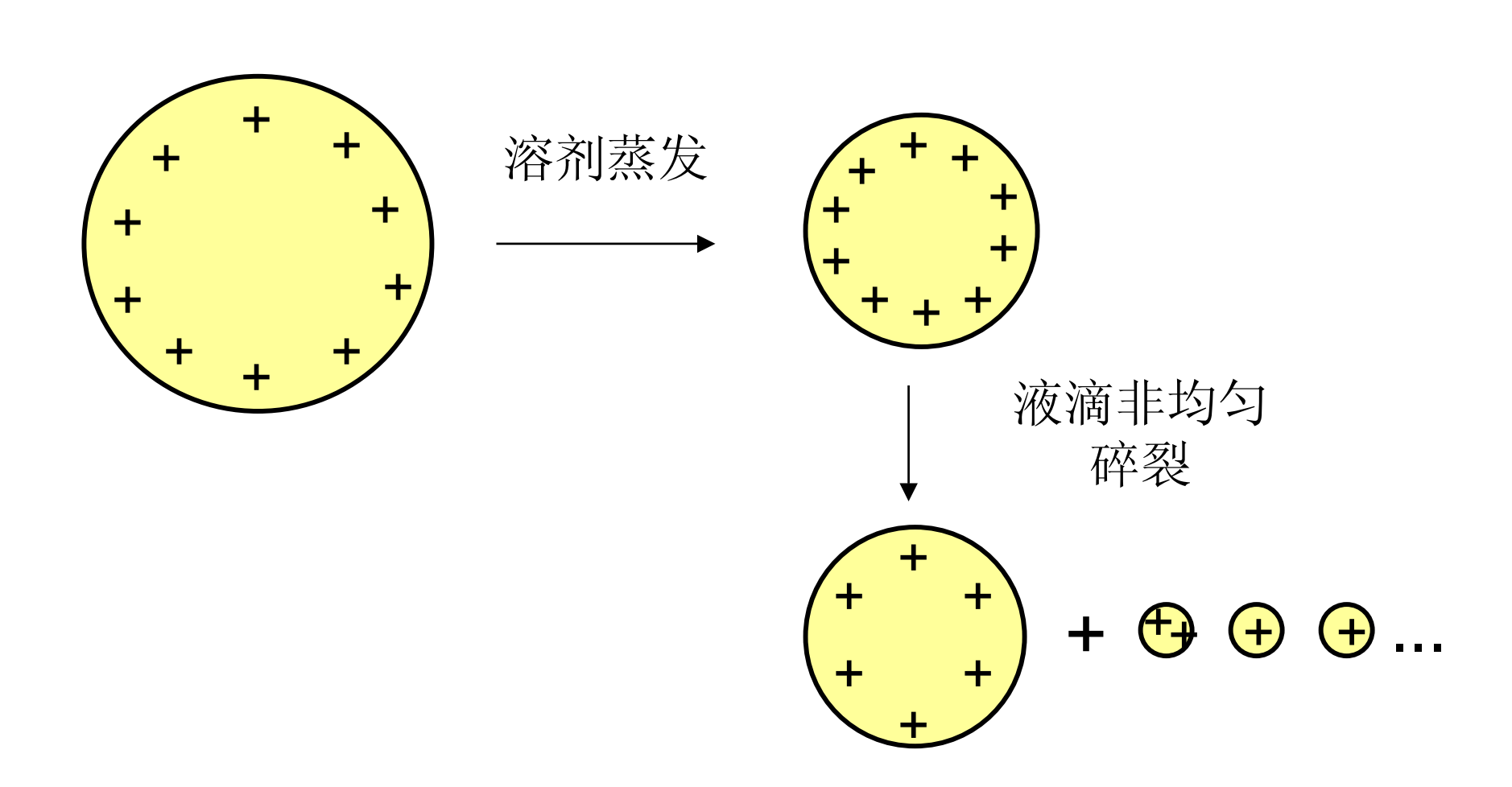
•在ESI高压电极处施以正的高电压,小液滴从毛细管高速喷出而带有过量的正电荷.从而产生电化学反应:通过溶剂组分氧化而去掉负离子(反应1)或通过毛细管自身的氧化而增加正离子(反应2).

$$\odot$$
 $4OH_{(aq)}^{-}$ $O_{2(g)} + 2H_2O + 4e^{-}$ (1)

$$\odot$$
 $M^{\circ}_{(s)}$ $M^{2+}_{(aq)} + 2e^{-}$ (2)

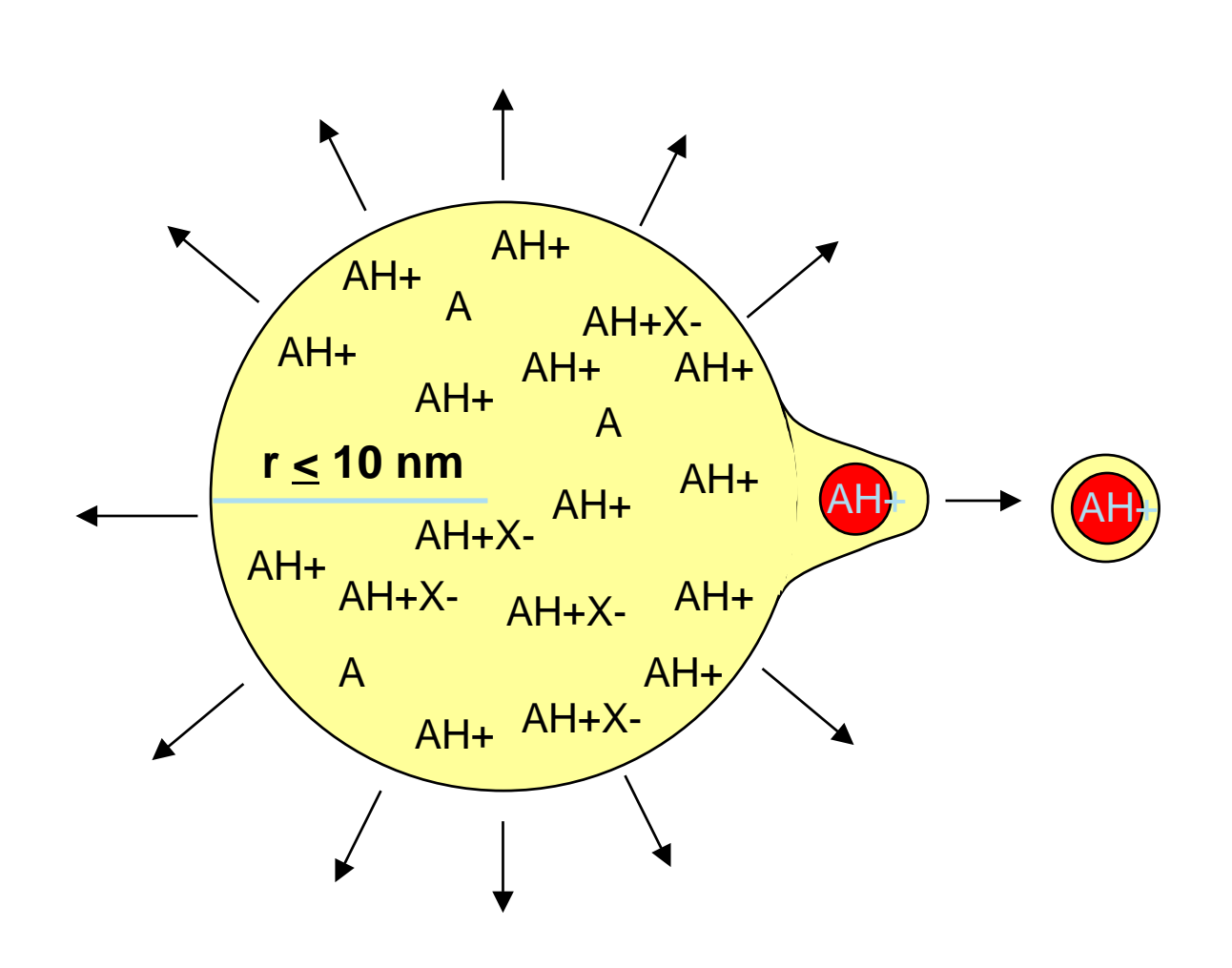
●同样,当在ESI高压电极处施以负的高电压,小液滴从毛细管高速喷出 而带有过量的负电荷

Water2.电喷雾离子化: 溶剂蒸发和小液滴碎裂



3、电喷雾离子化:形成气相离子 离子蒸发模式

©2005 Waters Corporation



对于半径 ≤10nm的液滴,电荷的排斥作用导致离子从液滴表面蒸发而不是液滴的分裂.

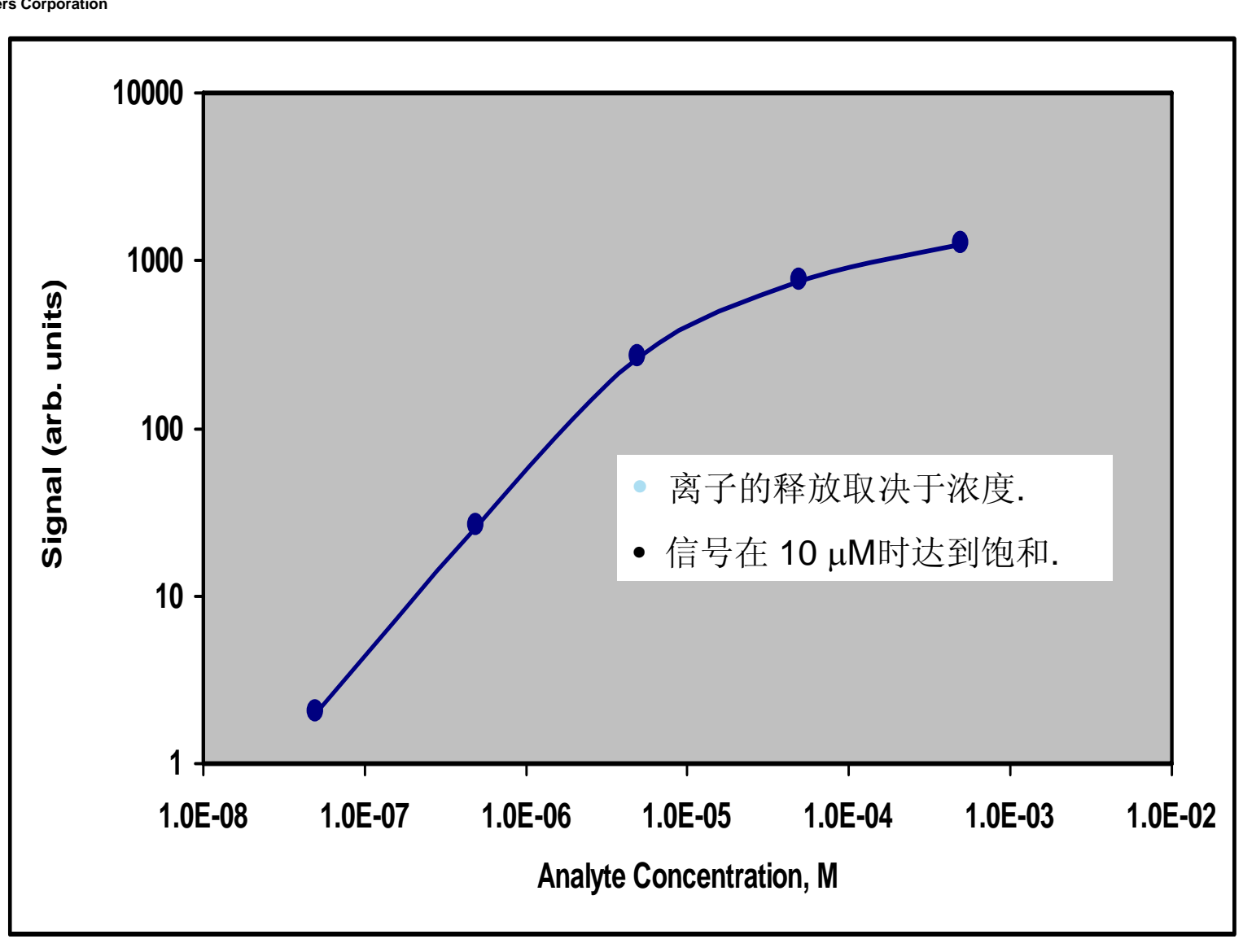
离子从溶液中转移至 气相

影响化合物ESI电离的几个因素

- A. 化合物的浓度
- B. 基质的性质
- C. pH值的影响
- D. 化合物的表面活性
- E. 流速
- F. 多电荷离子



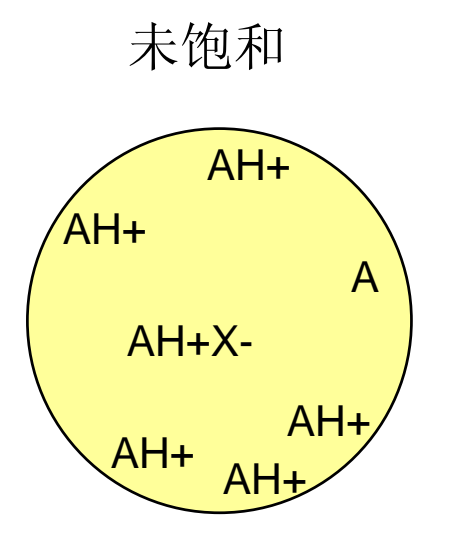
样品浓度对ESI响应的影响

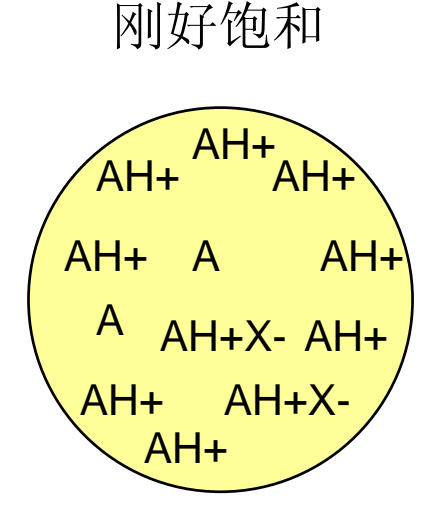


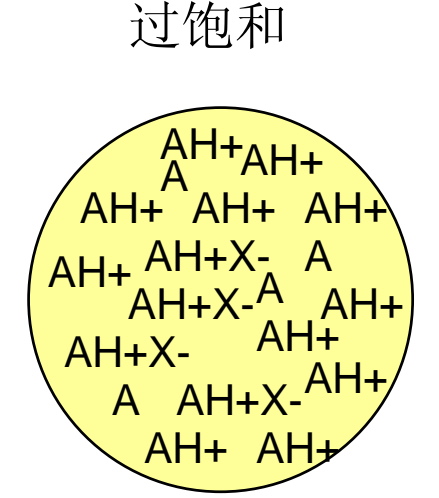
样品浓度对其响应的影响(续)

©2005 Waters Corporation

• 信号的饱和归因于离子在液滴表面过于密集,致使某些样品离子不能到达液滴表面.







液滴中样品浓度增长的示意图



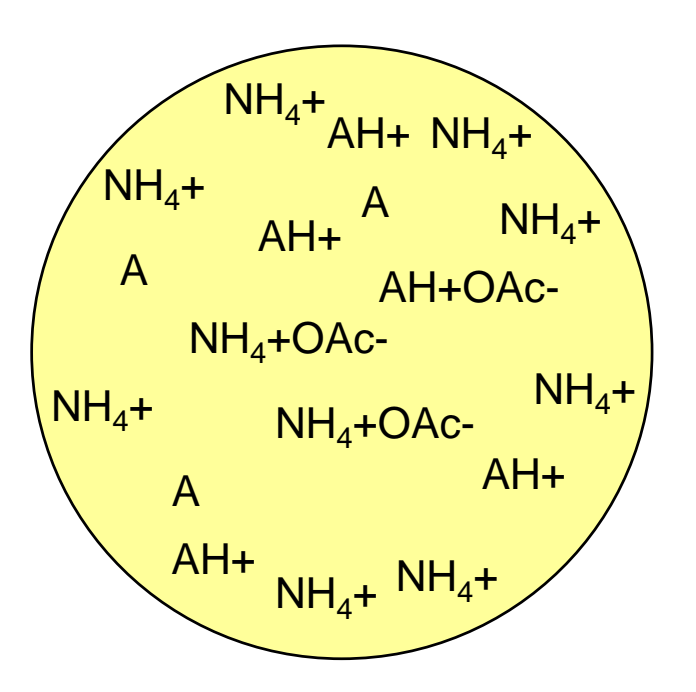
基质对样品响应的影响

- 一般而言,样品信号强度响应随着其它电解质浓度的 增高而降低
- 这一现象叫作'离子抑制'
- 样品离子和电解质离子对电荷及占据液滴表面的竞争 导致离子抑制

基质对样品响应的影响(续)

©2005 Waters Corporation

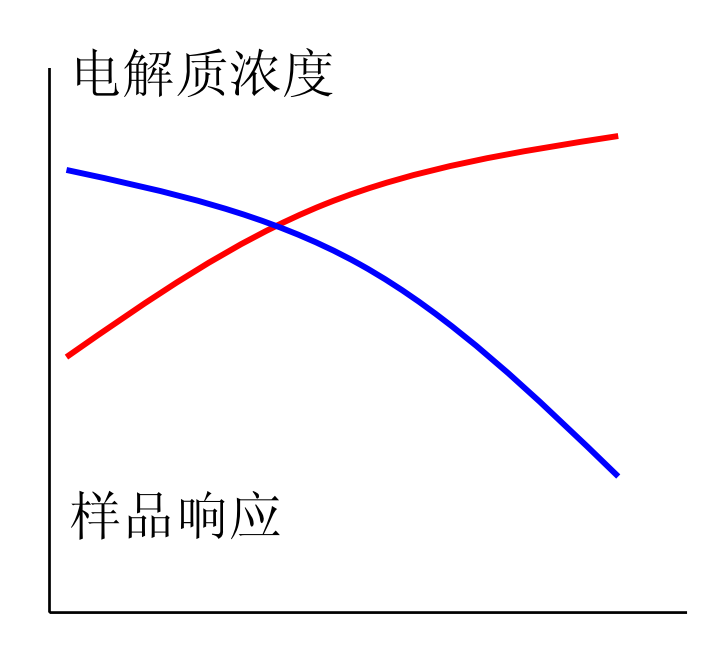
1. 表面竞争



2. 电荷竞争

$$OAc^{-} + AH^{+} \rightarrow HOAc + A$$

样品离子与电解质离子竟相转化为气相离子的竞争使样品响应降低。



pH值对电离的影响

- 一般而言,对于正离子检测模式,样品必须比基质更具 碱性,以便形成 (M+H)+或足够的极性去形成稳定的加和 离子,例 (M+NH₄)+.
- 对于负离子检测模式,样品必须比基质更具酸性,以便形成 (M-H)⁻ 或足够的极性去形成稳定的加和离子,例如 (M+OAc)⁻.
- •pH值绝对是影响电离强度的重要因素

样品表面活性的影响

©2005 Waters Corporation

实验测定的相对灵敏度相关指数 K

lon ^b	k ^a	lon	k
Cs+	1	CocH+	10
Li+	1.6	Ni ²⁺ (Tpy) ₂	5
Na+	1.6	Bu₄N⁺	2
K+	1.0	Et ₄ N+	5
NH ₄ +	1.3	Pr ₄ N+	8
MorH+	3	Pen ₄ N+	14
CodH+	5	C ₇ NH ₃ +	10
HerH+	6	C ₁₁ NH ₃ +	10

^a All coefficients relative to k_{Cs+} = 1. These coefficients are valid only at concentrations above 10⁻⁵ M.

Reference: Kebarle, P.; Ho, Y. In *Electrospray Ionization Mass Spectrometry: Fundamentals, Instrumentation & Applications*; Cole, R. B. Ed.; John Wiley & Sons: New York, 1997; p. 31.

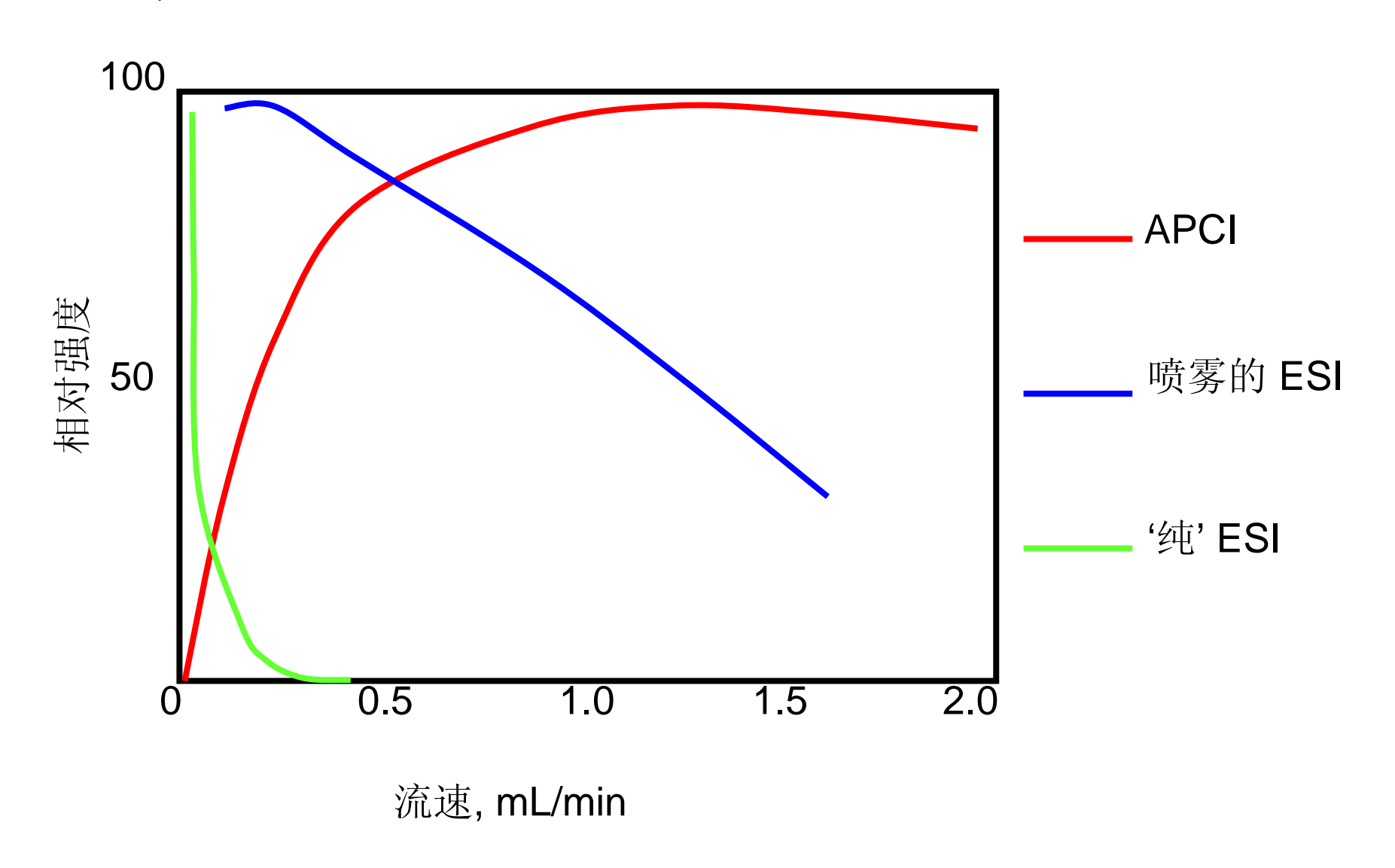
B Abbreviations used: Mor, morphine; Cod, codeine; Her, heroin; Coc, cocaine; Tpy, trypyridyl; Bu, *n*-butyl; Et, ethyl; Pr, *n*-propyl; Pen, *n*-penyl; C₇, *n*-C₇H₁₅; C₁₁, *n*-C₁₁H₂₃.



流速对样品响应的影响

- ❖ESI 响应随流速的增加而降低
- ❖对 ESI 接□来说,最佳工作流速为100-250 μL/min

流速对API的影响



ESI的多电荷离子

©2005 Waters Corporation

- ❖容易产生多电荷离子是ESI的重要特征之一
 - ❖影响离子强度
- ❖质谱测定是基于质荷比 (m/z).

*单电荷离子

m/z = (M+H)/1

*双电荷离子

m/z = (M+2H)/2

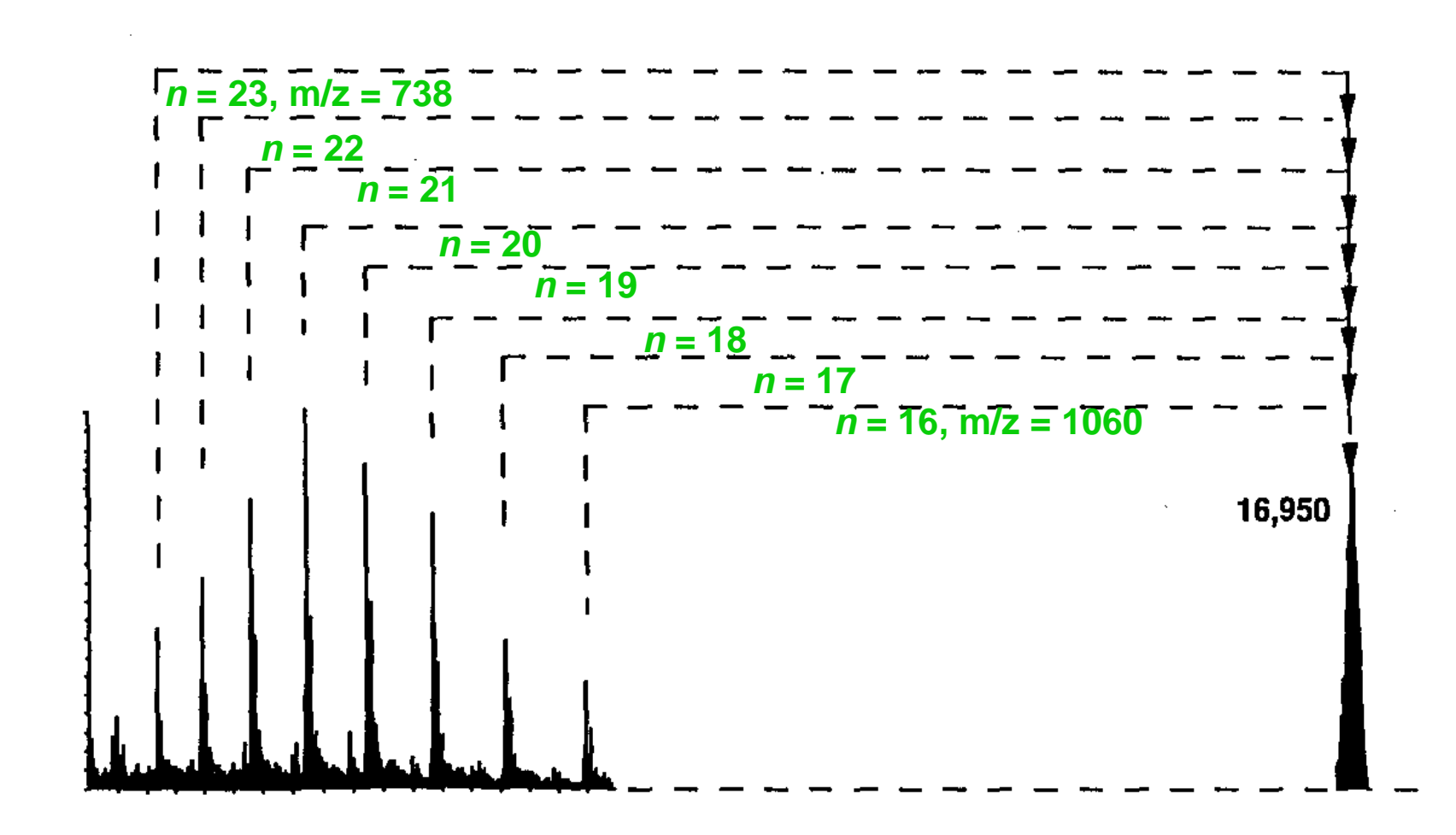
*多电荷离子

m/z = (M+nH)/n

- *多电荷离子可以扩展质谱检测的质量范围。
- ❖多电荷离子的同位素峰之间质量差的倒数等于电荷数,例如 双电荷离子的同位素质荷比差等于 0.5 Da

©2

Horse Heart Myoglobin(马心肌红蛋白)



ESI的特征

- 低分子量化合物一般产生单电荷离子(失去或得到一个质子)
- 高分子量生物大分子和聚合物产生多电荷离子
- 几乎没有碎片离子
- 可能生成加合物和/或多聚体;常见的是溶剂加合物和 NH_4^+ (M+18), Na^+ (M+23),和 K^+ (M+39) 加合物
- 灵敏度取决于化合物本身和基质

电喷雾 (ESI)的优、缺点

©2005 Waters Corporation

>优点

- •分子量信息
- •适合范围广:挥发性和非挥发性分析物
- •适合于离子型/极性化合物
- ●灵敏度高
- •高分子量测定
- •适合毛细管高效液相色谱

▶缺点

- •对LC流速有一定的限制,流速较低
- •在溶液中必须形成离子
- •在高盐浓度的条件下,容易有离子抑制

适合于ESI分析的化合物

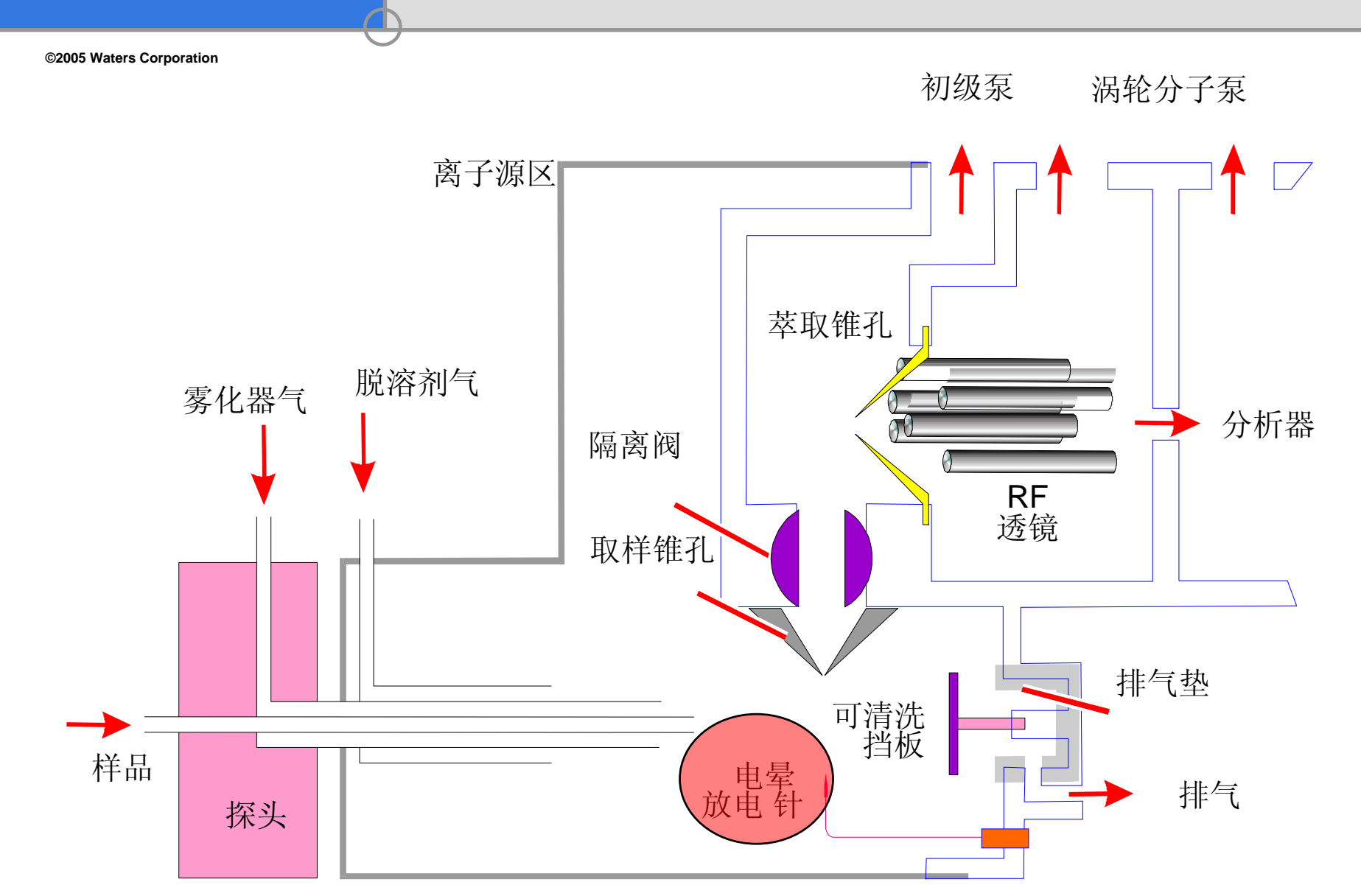
©2005 Waters Corporation

- *典型正离子分析样品
 - ●肽和蛋白
 - •极性化合物
 - •环境污染物,
 - •例如农药和污染物
 - •毒品、违禁物及其代谢产物

- *典型负离子分析样品
 - •某些蛋白
 - ●寡核苷酸
 - •寡糖和多聚糖,
 - •某些药物的代谢物
 - •例如:葡糖苷酸复合物

ESI 可分析的样品种类 > 80%

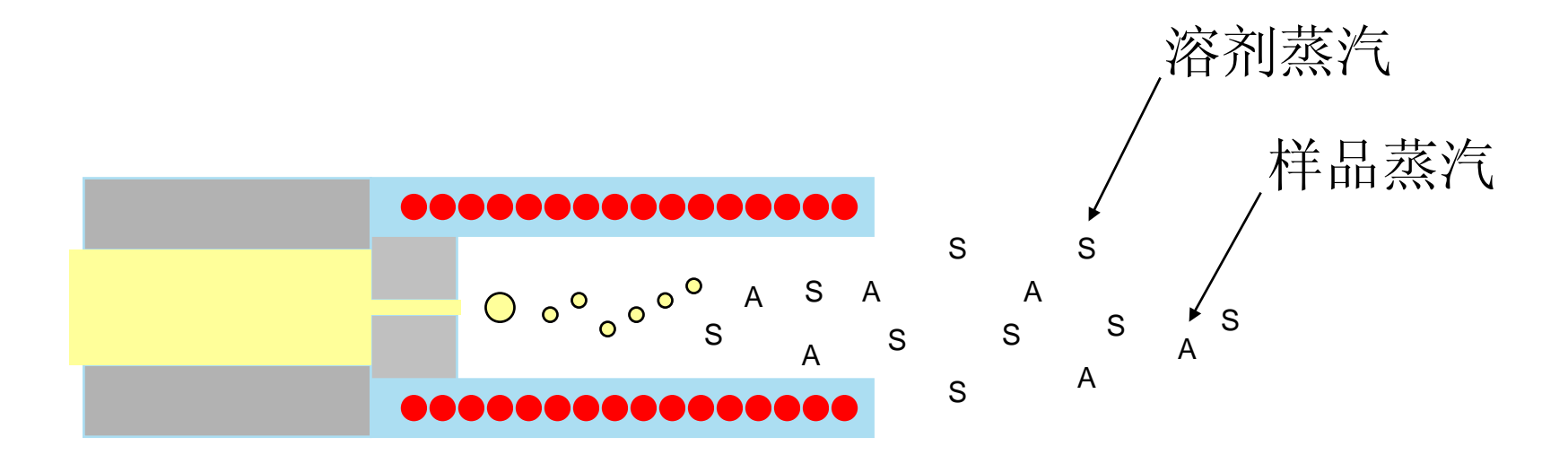
APCI源(接口)



- ❖ 大气压化学电离可分为以下两个步骤:
 - ❖快速蒸发
 - ❖气相化学电离(电晕放电)

1. APCI: 快速蒸发

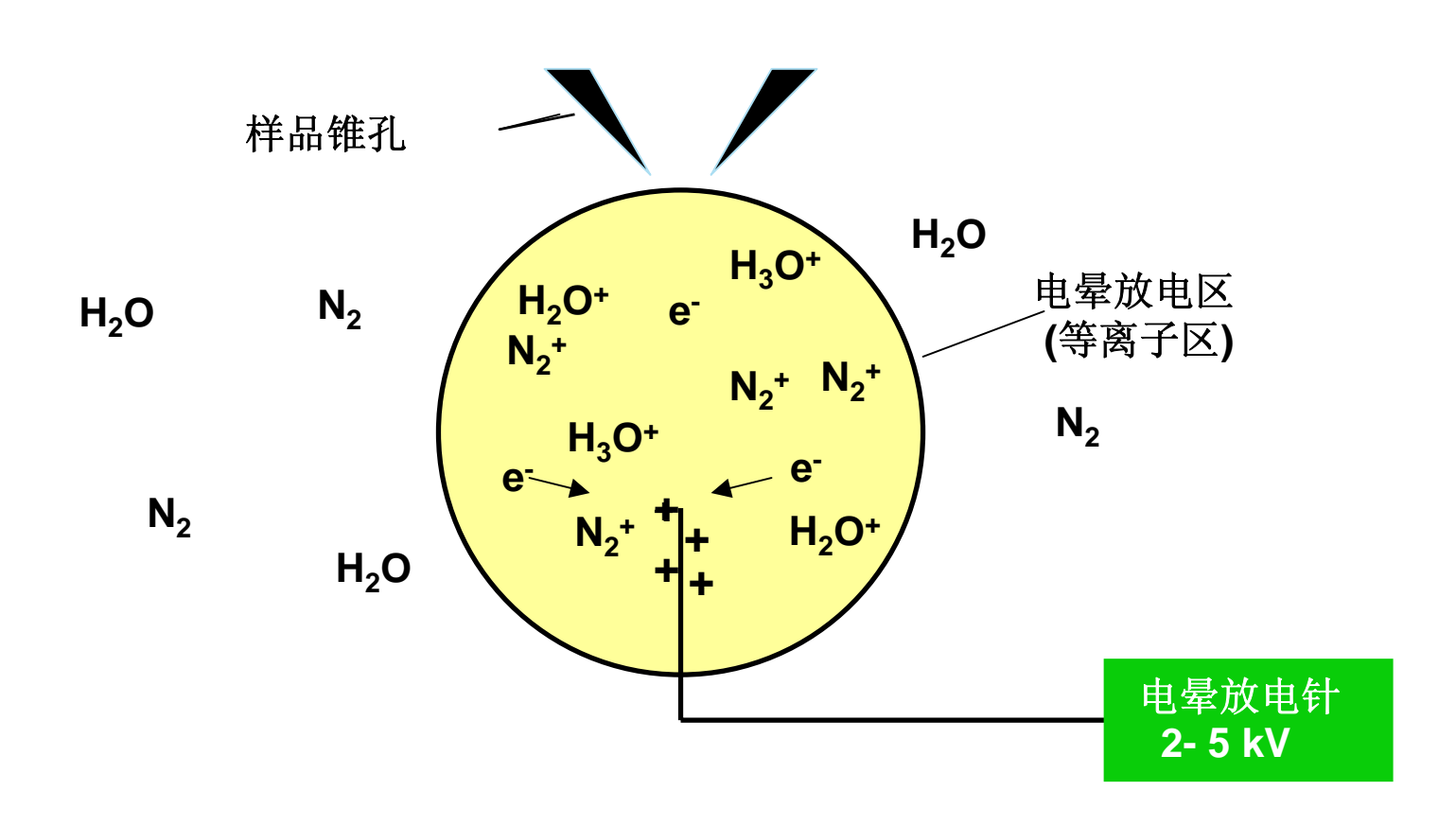
©2005 Waters Corporation



- 液流被强迫通过一根窄的管路以使其得到高的线速度
- 高温加热器和喷雾器使液流在脱离管路时蒸发成气体

由于溶剂蒸汽的保护,样品分子较少受热裂解的影响, 大量的热量由于溶剂的蒸发而吸收,但是有时也会有热不稳 定样品分解

2. APCI: 气相化学电离



APCI指标性参数:质子亲合力

©2005 Waters Corporation

❖质子亲合力 (PA) 是衡量气相分子碱性的一个指标

❖仅发生质子转移反应PA (A) > PA (S)



常用流动相的质子亲合力 (PA)

溶剂	PA (kcal/mol)	溶剂	PA (kcal/mol)
HCI	140	<i>i</i> -PrOH	192
<i>n</i> -Hexane	<170	Acetone	197
H ₂ O	170	THF	200
TFA	176	EtOAc	201
MeOH	180	DMSO	210
HOAc	183	DMF	224
EtOH	190	TEA	232
<i>n</i> -PrOH	191		
ACN	191		



某些典型化合物的质子亲合 力(PA)

化合物	PA (kcal/mol)	化合物 PA (kcal/mol)
HCN	171	Uracil	208
Formaldehyde	172	Pyridine	221
Furan	192	L-Methionine	221
<i>p</i> -Xylene	192	$(C_6H_5)_3P$	230
Phenol	196	L-Lysine	230
Biphenyl	196	1,7-Diaminoheptan	e 238
Fluorene	200		
Anisole	200		
$(C_2H_5)_2S$	205		

气相 APCI 化学正离子

©2005 Waters Corporation

1. Proton Transfer:
$$H_3O^+$$
 + M -----> $(M+H)^+$ + H_2O $CH_3OH_2^+$ CH_3CNH^+ NH_4+

2. Adduct Attachment: NH₄+ + M -----> (M+NH₄)⁺
$$CH_3CNH^+ \\ CH_3OH2^+ \\ H_3O^+$$

3. Charge Exchange: benzene + + M -----> M+ + benzene

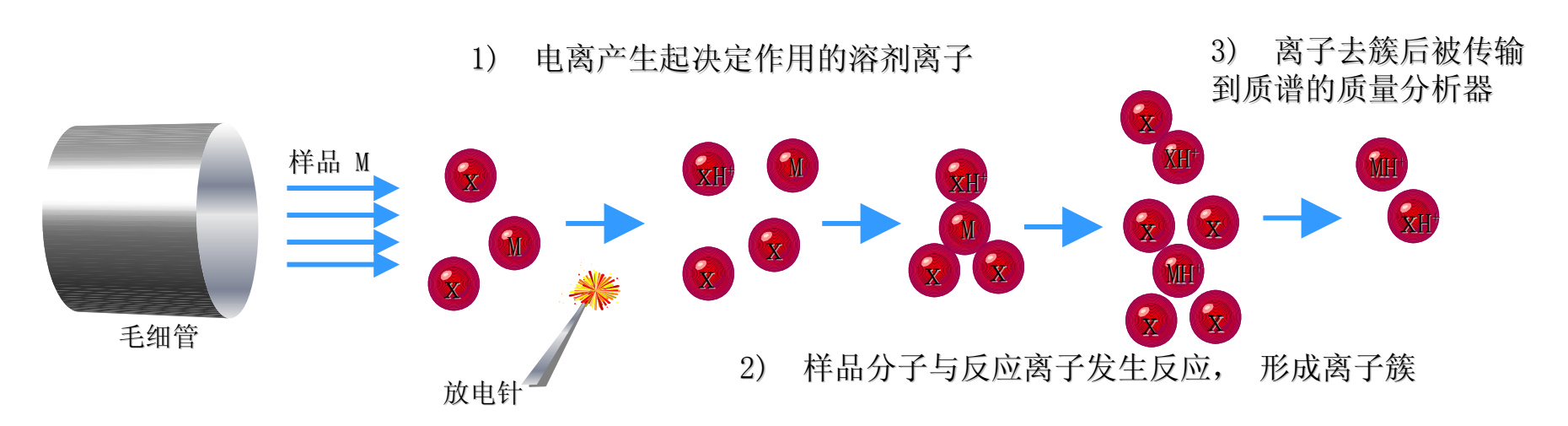
气相 APCI 化学负离子

1. Proton Abstraction:
$$HO^-$$
 + M -----> $(M-H)^-$ + H_2O $CH_3O^ CH_2CN^-$

APCI电离过程

©2005 Waters Corporation

APCI 电离方式产生离子



X = 溶剂分子, 比如H20, NH3 等等

甲基氢化强的松APCI质谱图(下文子)

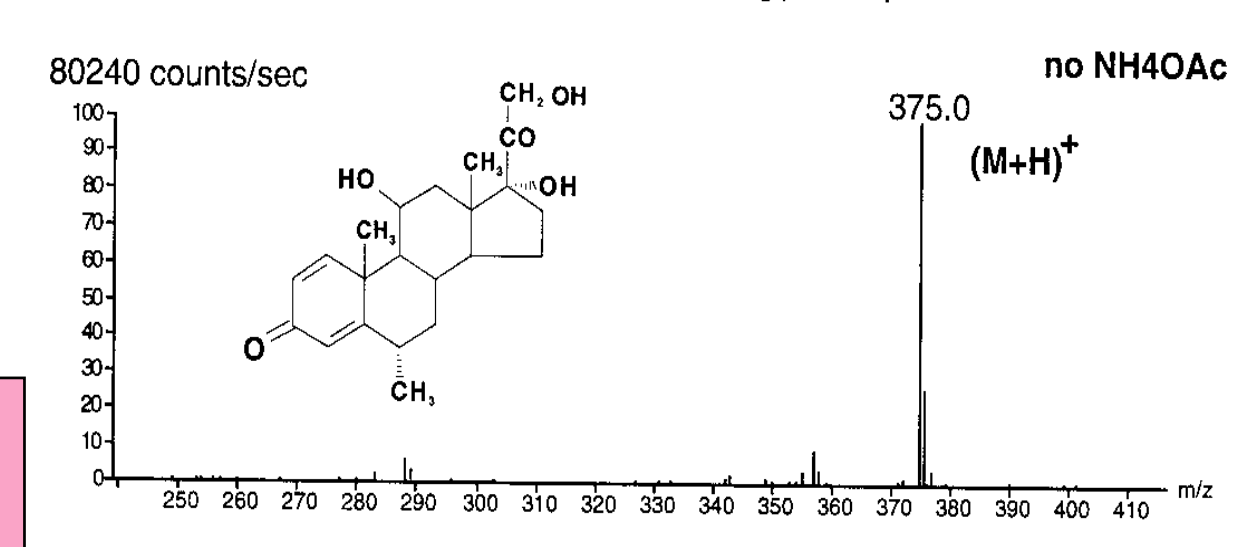
©2005 Waters Corporation

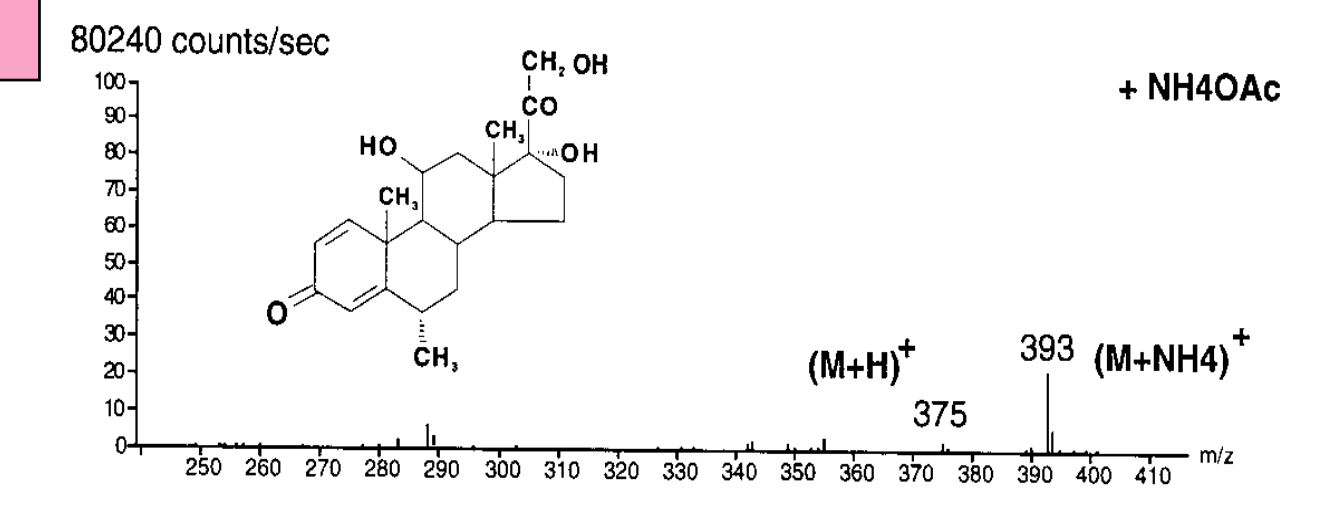
1/1 CH3CN/H2O, 1mL/min FIA ≈5 ng per component

未加醋酸铵

样品比溶剂 CH3CN/H2O 具备较大的质子亲和力,而醋酸铵的质子亲和力比样品大PA醋酸铵>PA_{样品}>PA_{溶剂}

加 100 mM醋酸铵



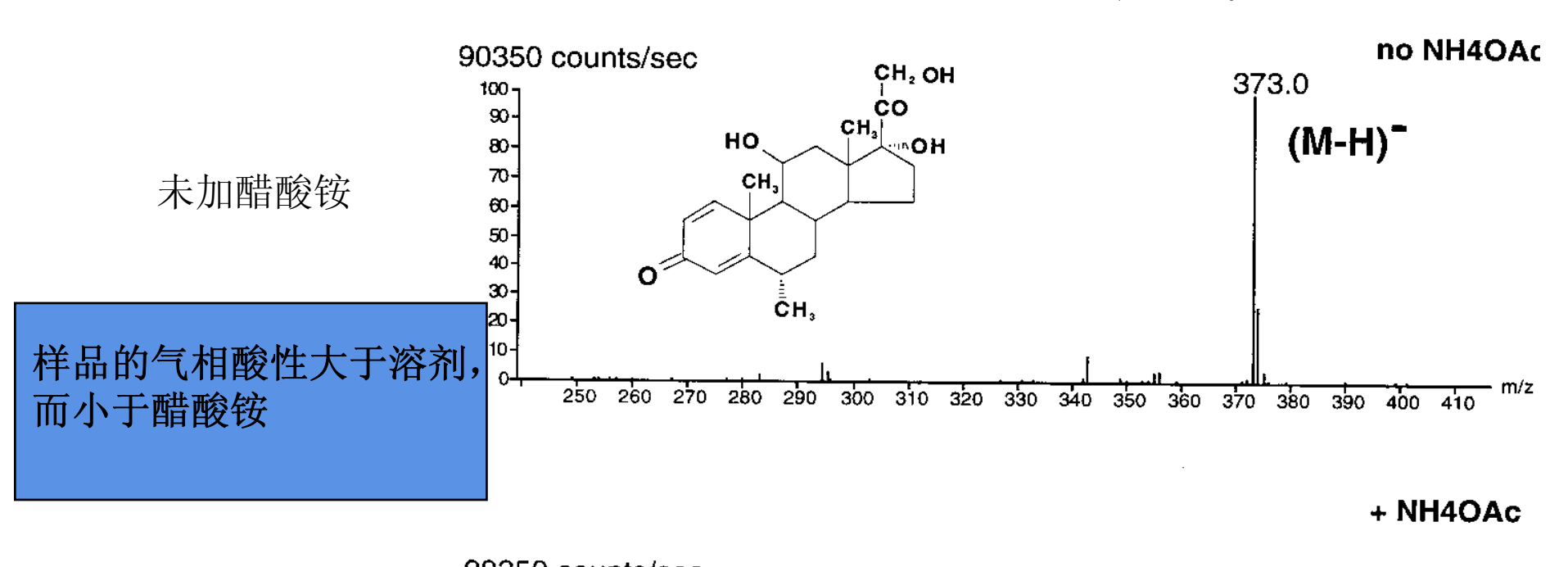


甲基氢化强的松APCI质谱图(负

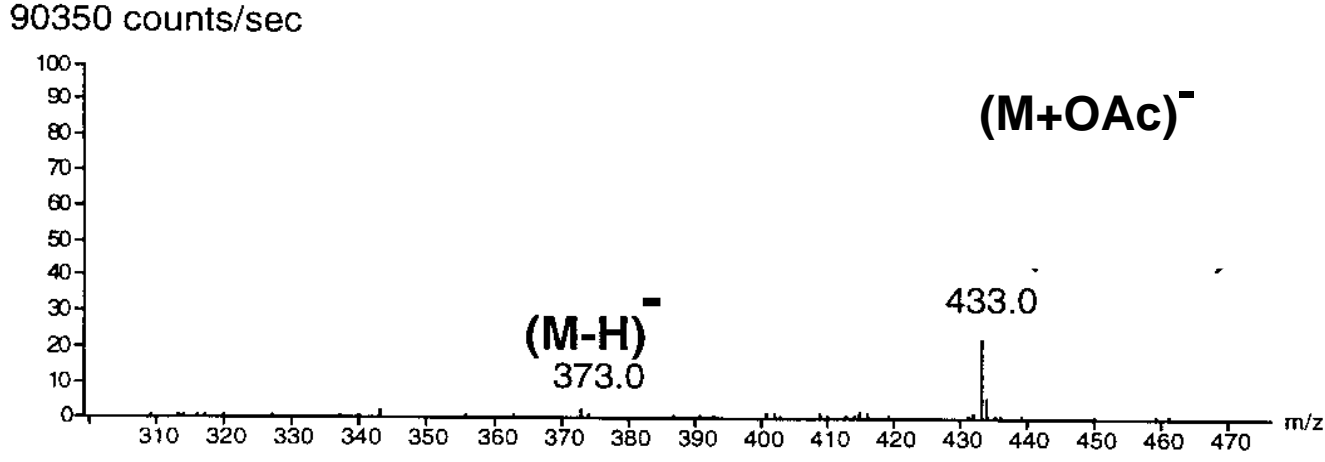
离子)

©2005 Waters Corporation

1/1 CH3CN/H2O, 1mL/min FIA ≈5 ng per component



加 100 mM醋酸铵



大气压化学电离 (APCI)

©2005 Waters Corporation

*优点

- •分子量确认
- •使用方便
- •耐用性好
- ●匹配LC高流速 2.0mL/min
- •灵敏度高

*缺点

- •有可能发生热裂解
- 在低质量端的化学噪声大
- •适合分析分子量小于1000 Da 的样品

APCI的特点

©2005 Waters Corporation

■一般而言,只生成单电荷离子

■几乎没有碎片离子

■可能生成加合物和/或多聚体; 一般是溶剂加合物及NH₄+ (M+18), Na+ (M+23), 和 K+(M+39)加合物

■基质影响较小 (相对于 ESI)。 质谱图不受缓冲盐及其缓冲力变化的影响

适合于APCI分析的化合物

- 芳烃
- •抗生素
- ●碱性药物
- •小分子化合物
- ●甾族化合物(类固醇),雌激素类
- •苯并二氮杂(安定类)
- •很多适合EI 电离源的样品

大气压电离 (API) 技术小结

©2005 Waters Corporation

❖ESI 和APCI 共同点:

- *使用高电压元件和雾化气喷雾法 产生气相离子
- ❖通常产生 (M+H)+ 或 (M-H)- 等准分子离子
- *产生极少的碎片,但可以控制产生结构碎片
- *非常灵敏的电离技术

大气压电离 (API) 技术小结

©2005 Waters Corporation

ESI 和 APCI 不同点:

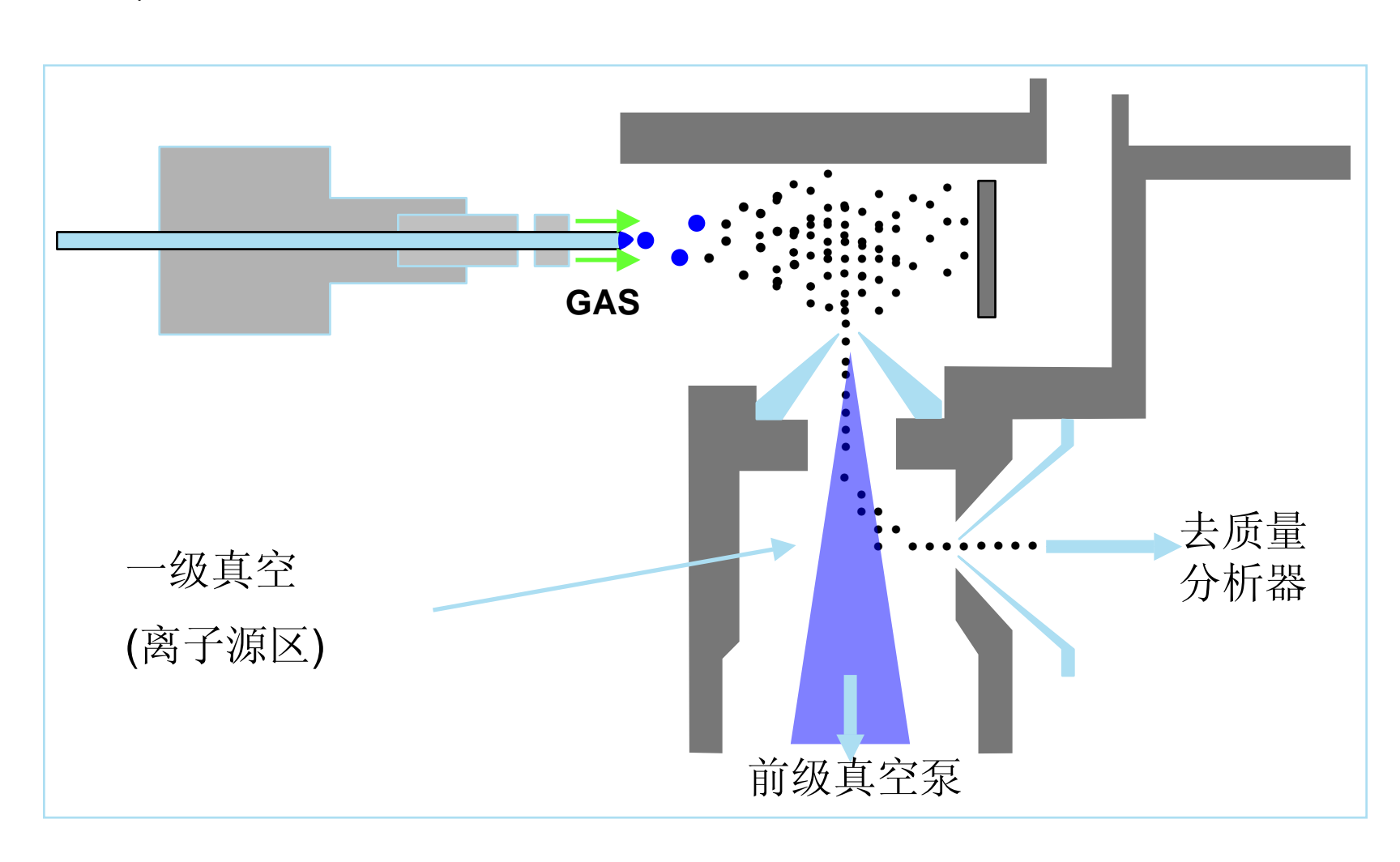
- 生成离子方式不同
 - ESI 液相离子化
 - APCI 气相离子化
- 样品兼容性
 - ESI 极性化合物和生物大分子
 - APCI 非极性, 小分子化合物 (相对于用 ESI电离的化合物而言) 且有一定的挥发性
- 流速兼容性
 - ESI 0.001 到 1 mL/min
 - APCI 0.2 到 2 mL/min



离子化后的离子会怎样?

- * 样品已经变成气相离子,仍处于大气压下
- * 必须把样品离子送入质谱高真空环境中
- ❖ 离子通过加热的一级真空区,在静电场作用下通过 萃取锥孔或毛细管
- ❖ 样品离子通过萃取锥孔或毛细管后,进入六极杆或 八极杆或 T-Wave等聚焦透镜系统
- * 从聚焦透镜出来,样品离子进入质量分析器

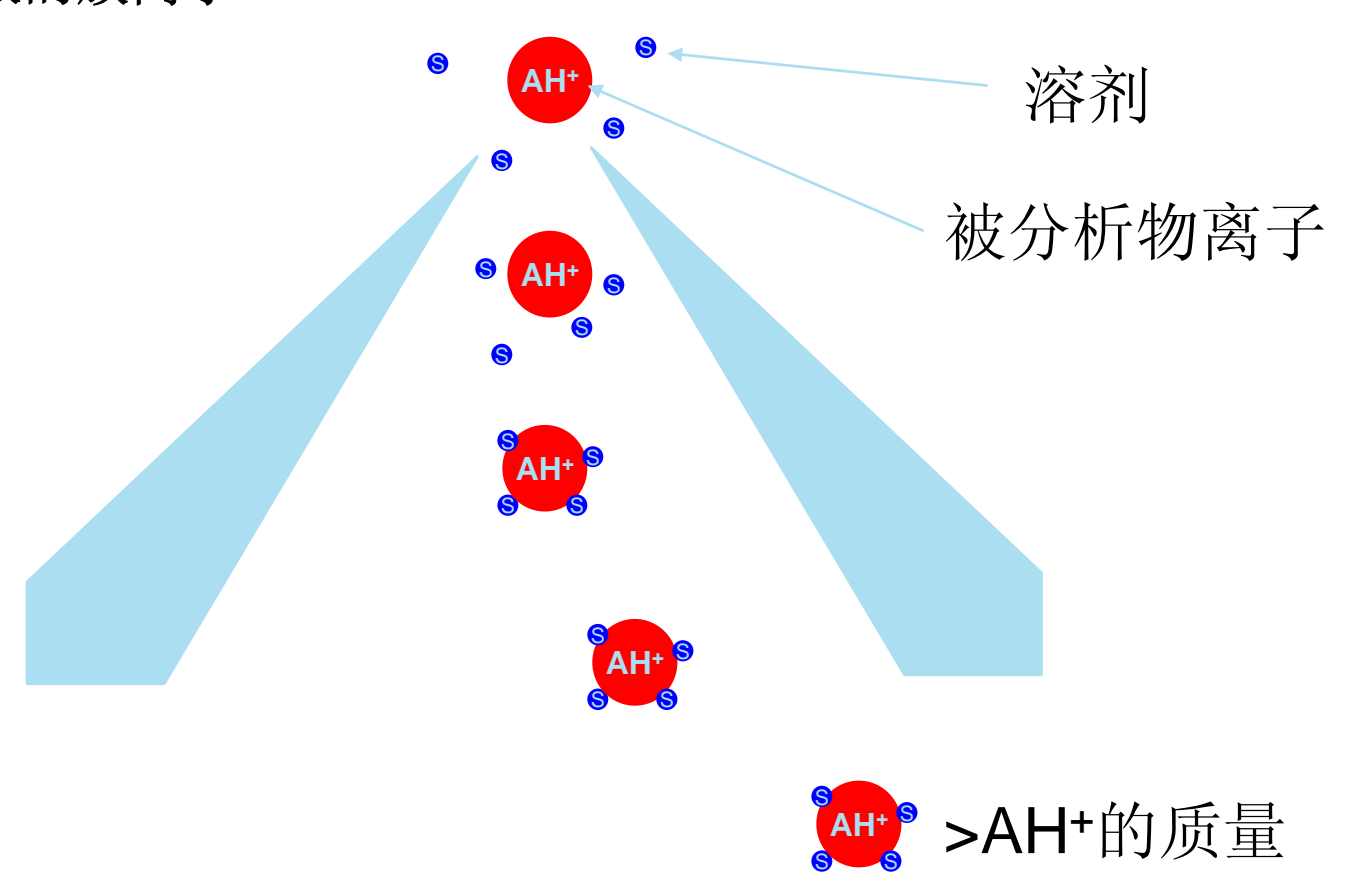
一级真空区



簇离子的形成(Clustering)

©2005 Waters Corporation

当蒸气通过取样锥孔进入一级真空区发生膨胀,蒸气在膨胀时会冷却吸热,这种冷却可能导致在被分析物离子上的溶剂冻结从而生成各种质量数的簇离子

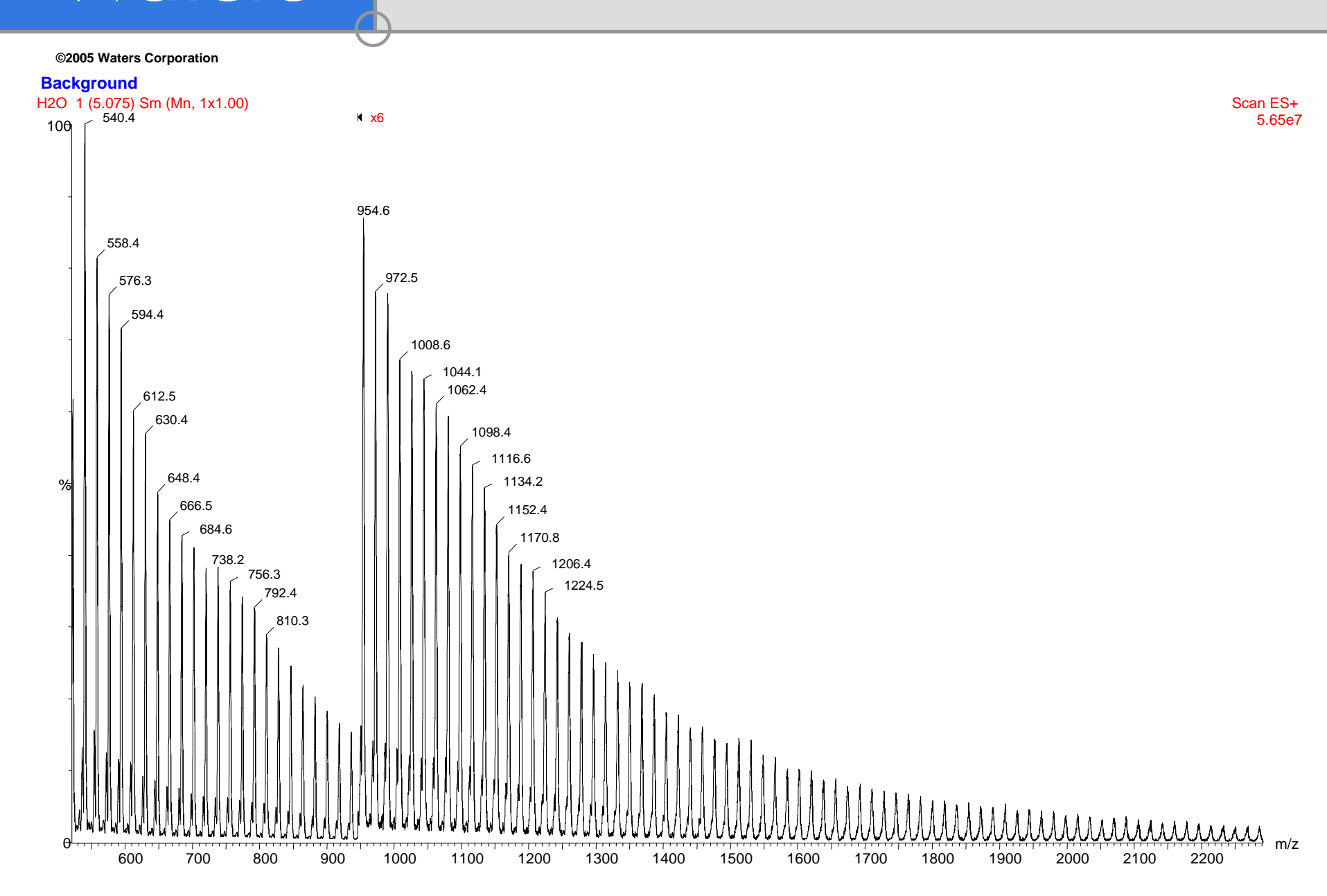


©2005 Waters Corporation

■问题

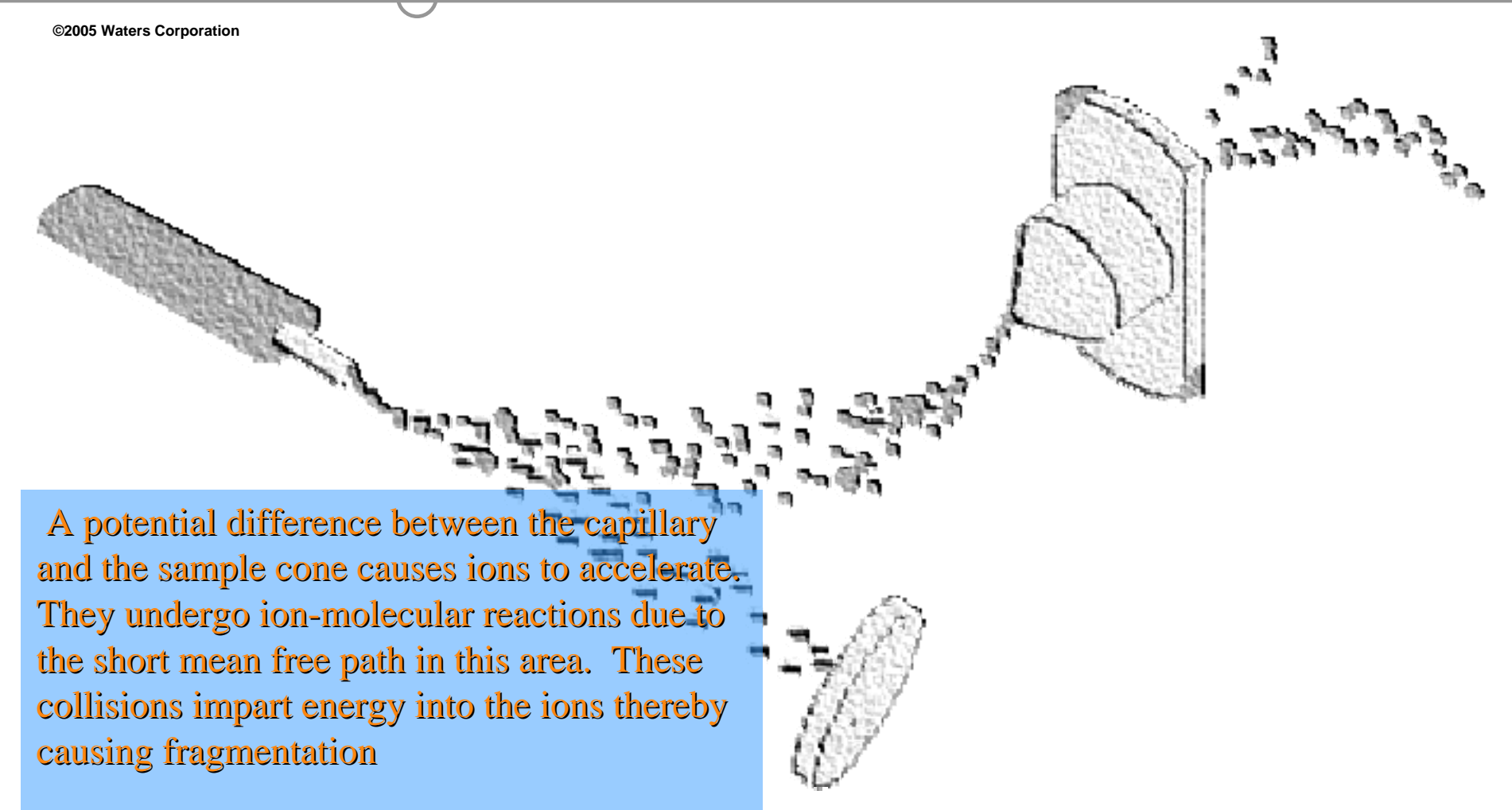
- 簇离子会降低所要检测的被分析物质量处的信号
- 簇离子会增加背景信号
- 可作为分子反应研究
- 解决方法
 - 加热一级真空区 (离子源区) 以阻止簇离子的生成,使不带溶剂的样品离子被检测
- 水的簇离子可以用于质量校正

美丽的水簇离子

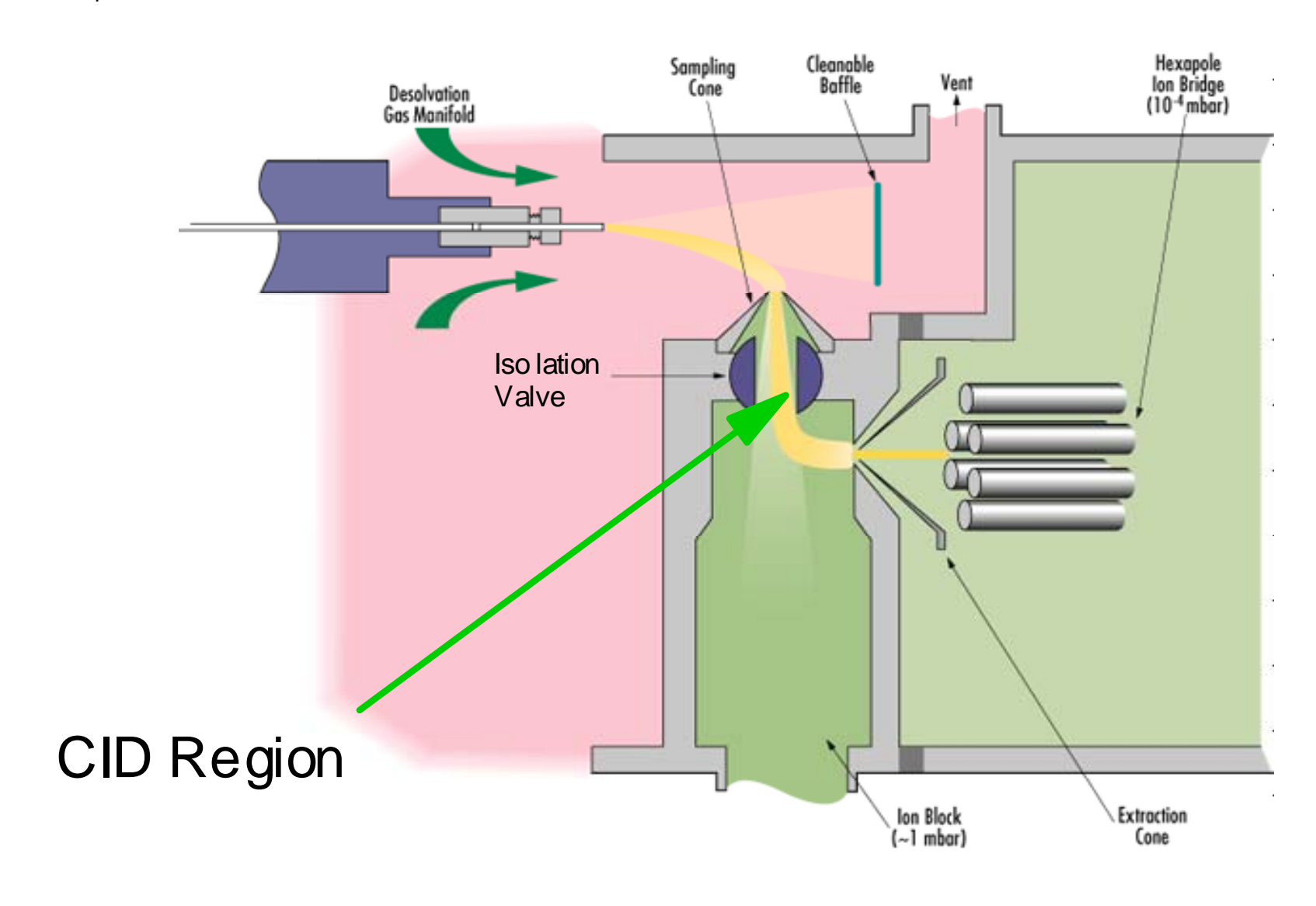


碰撞诱导解离

Collision Induced Dissociation (CID)

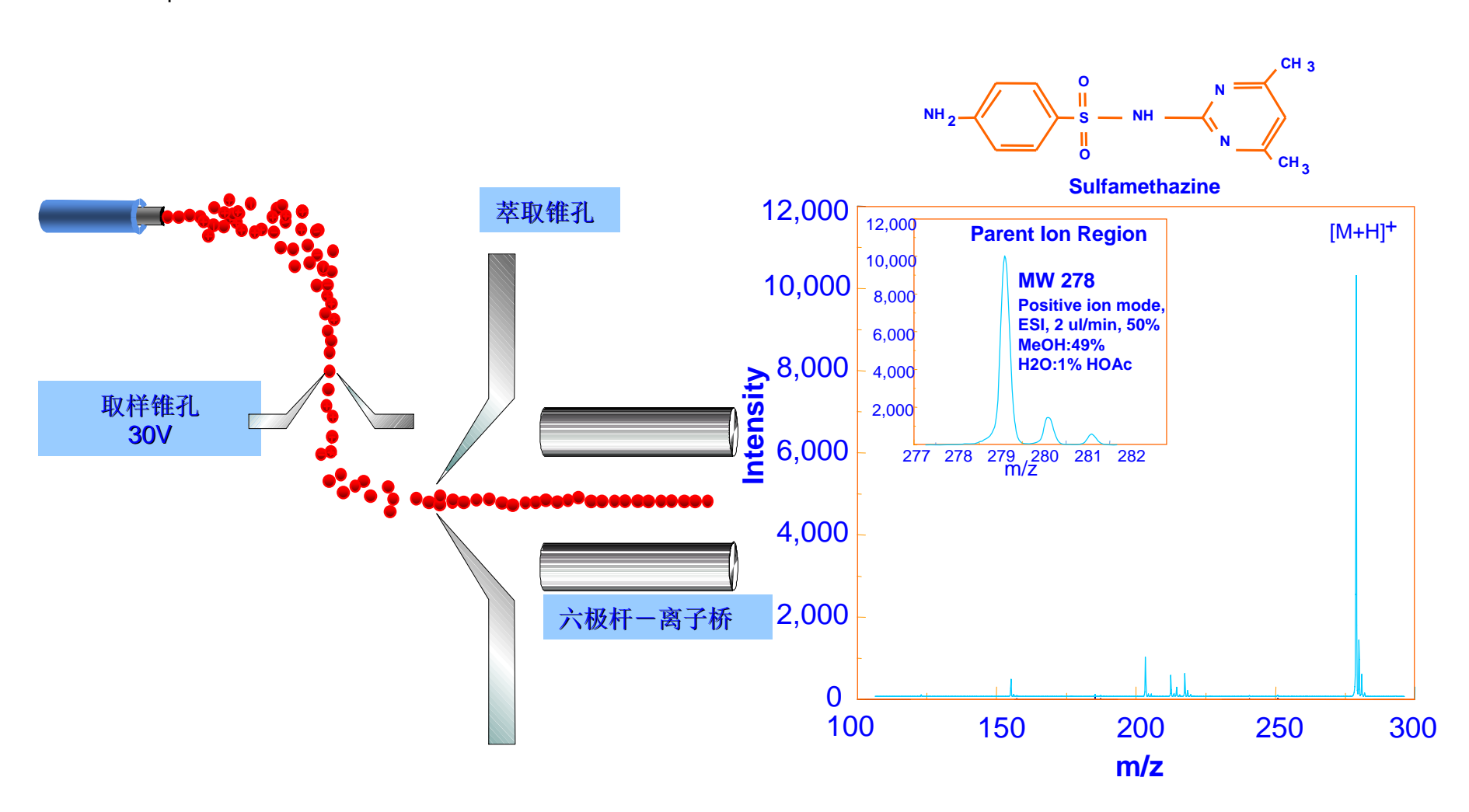


碰撞诱导解离 (源内一CID)



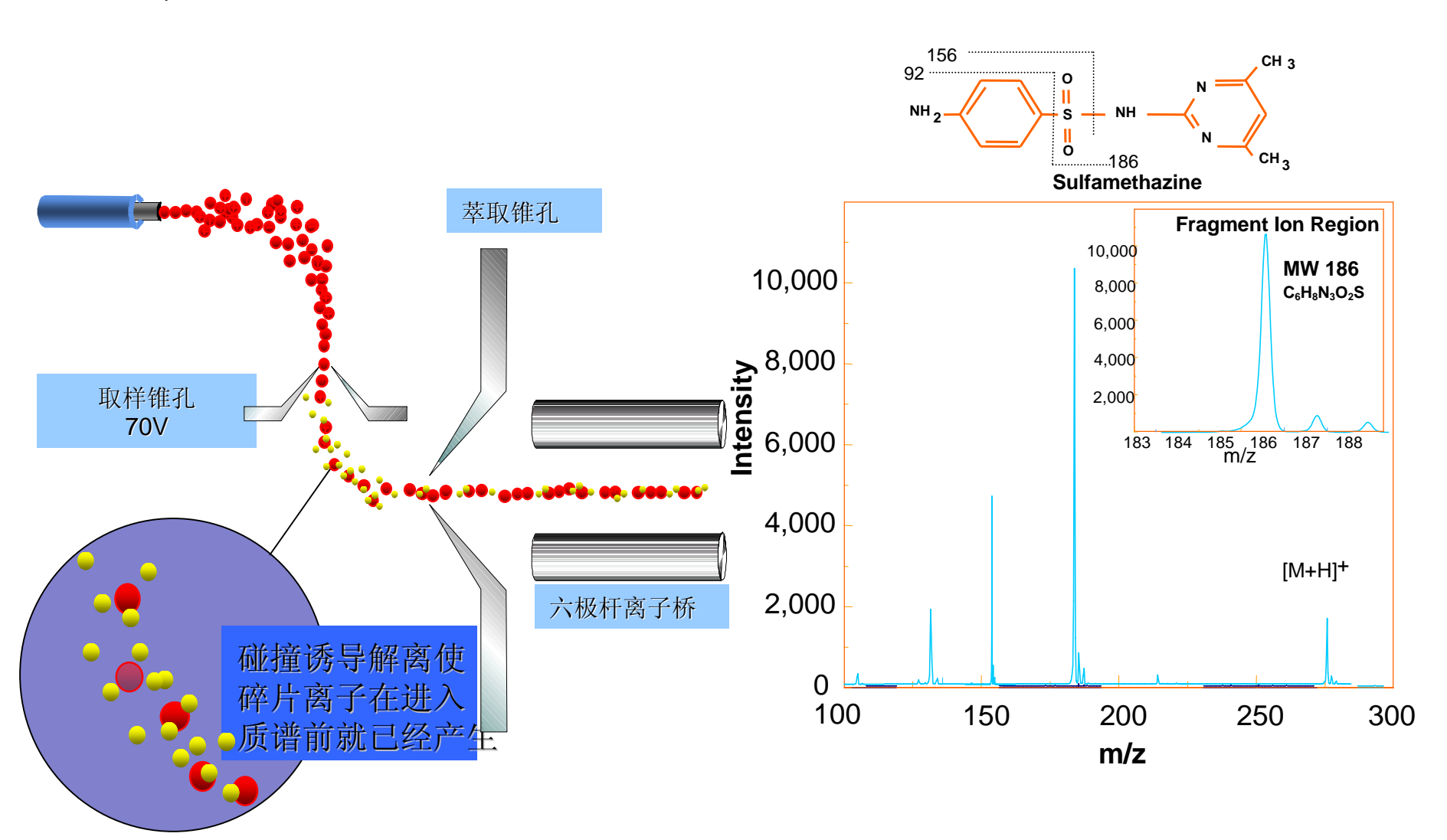
CID产生的过程

Analysis of Sulfamethazine by Electrospray

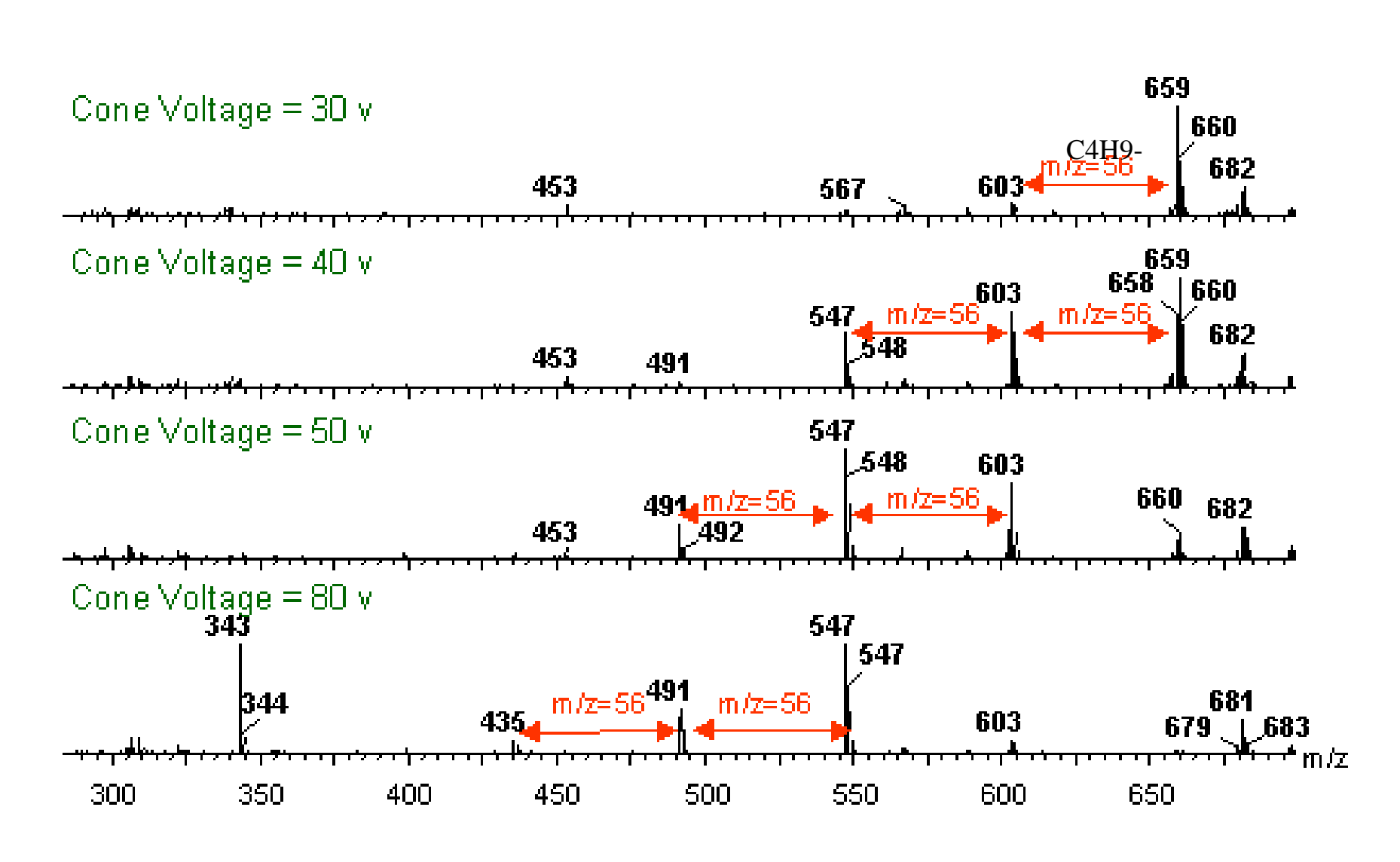


优异的CID技术(可编程)

Analysis of Sulfamethazine by Electrospray



多种CID方式: 一次进样得到全部质谱信息





源内CID的特点

©2005 Waters Corporation

优点:

- ■为"软源"离子化技术产生的准分子离子提供结构信息
- ■抑制来自溶剂束的化学噪声
- ■极其简单的谱图有利于谱图的分解
- ■比MS/MS有更好的离子传递



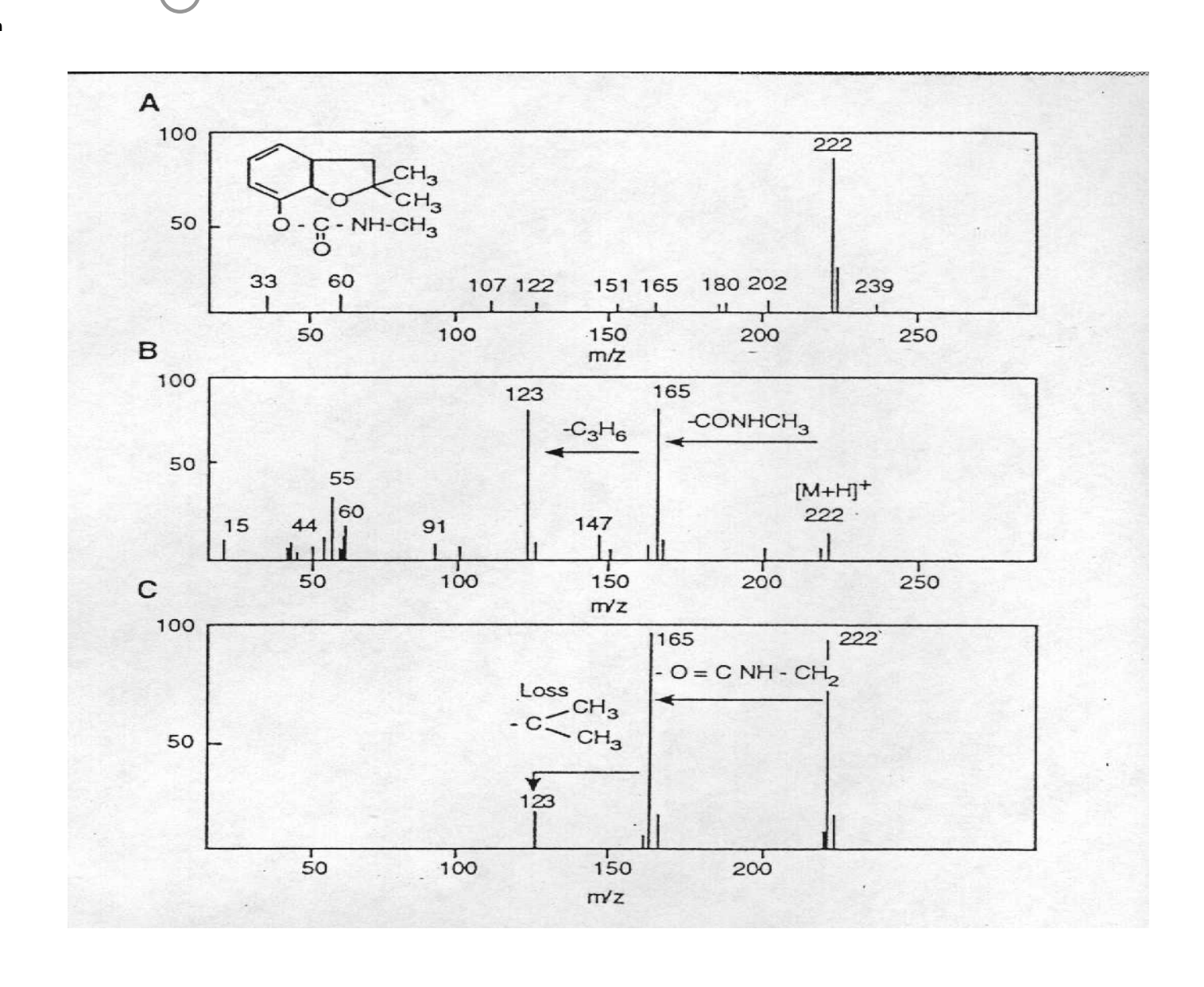
源内CID的特点

©2005 Waters Corporation

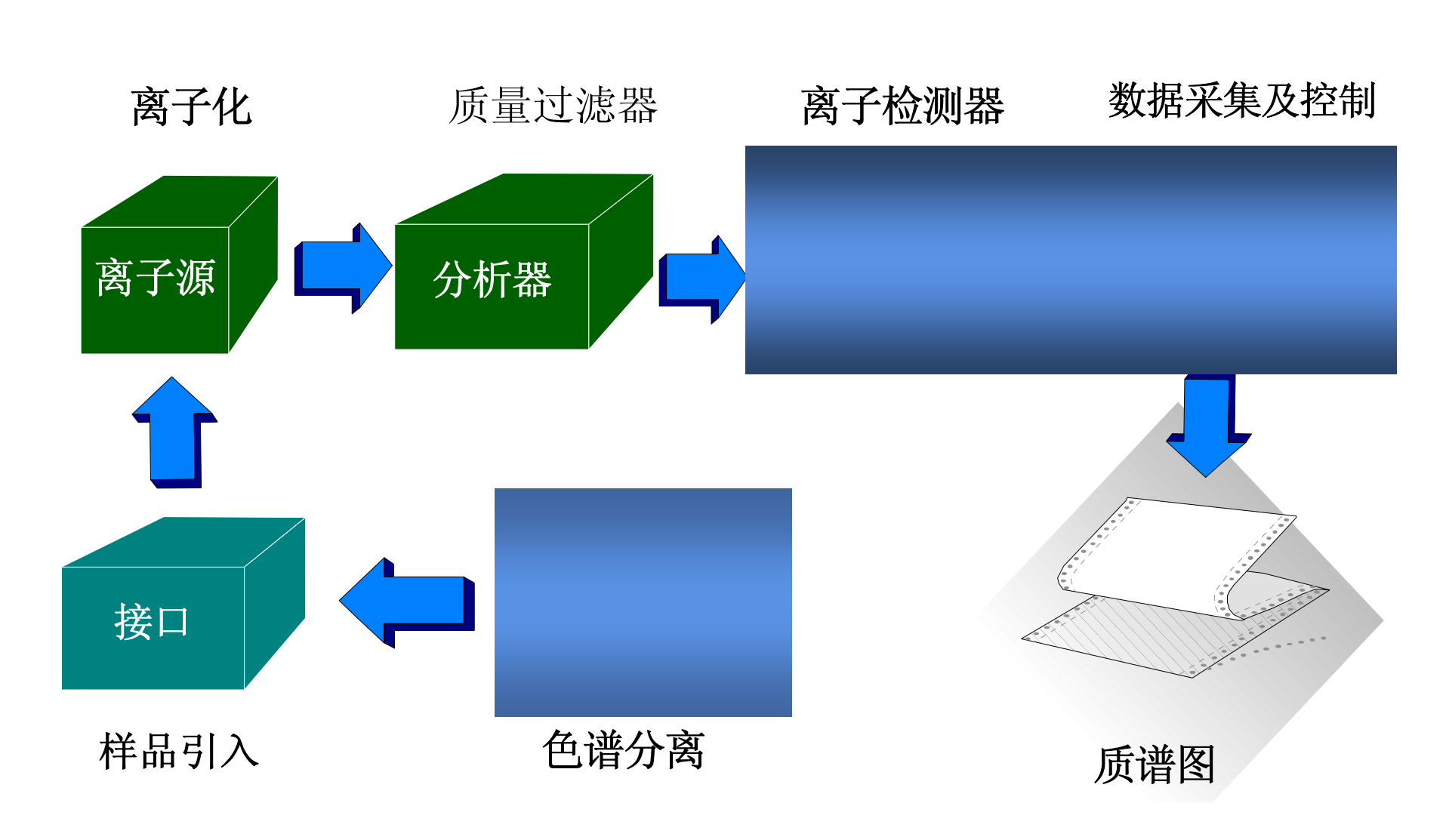
缺点:

- ■缺少混合物分析的能力
- ■增加噪声
- ■难于解析谱图
- ■由于接口差异、流动相离子强度、pH值等均对裂解有 影响,很难得到重现的谱图

源内CID 与 MS/MS



液质联用系统的质量分析器





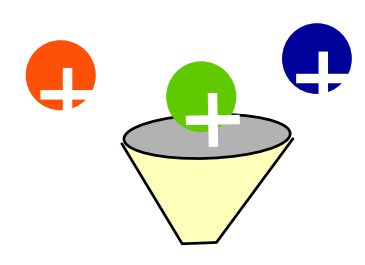
A. 磁质谱

©2005 Waters Corporation



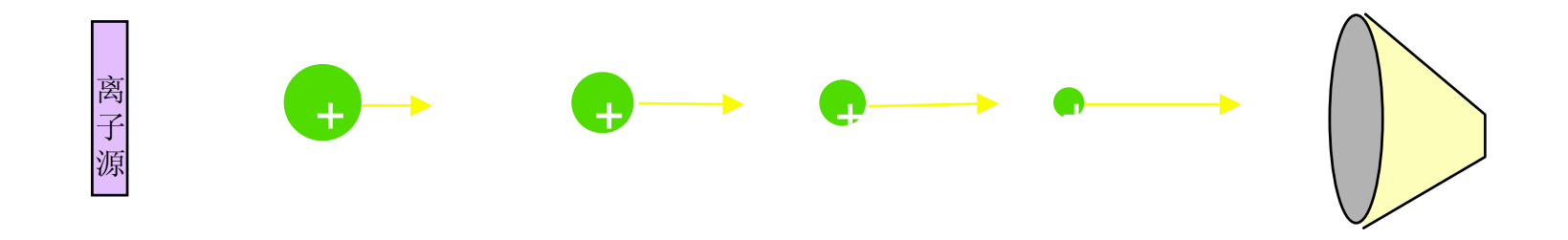




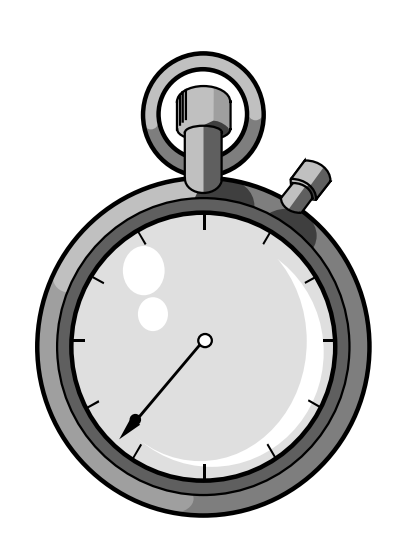


■通过磁场和电场来传输和选择离子

B. 飞行时间质谱

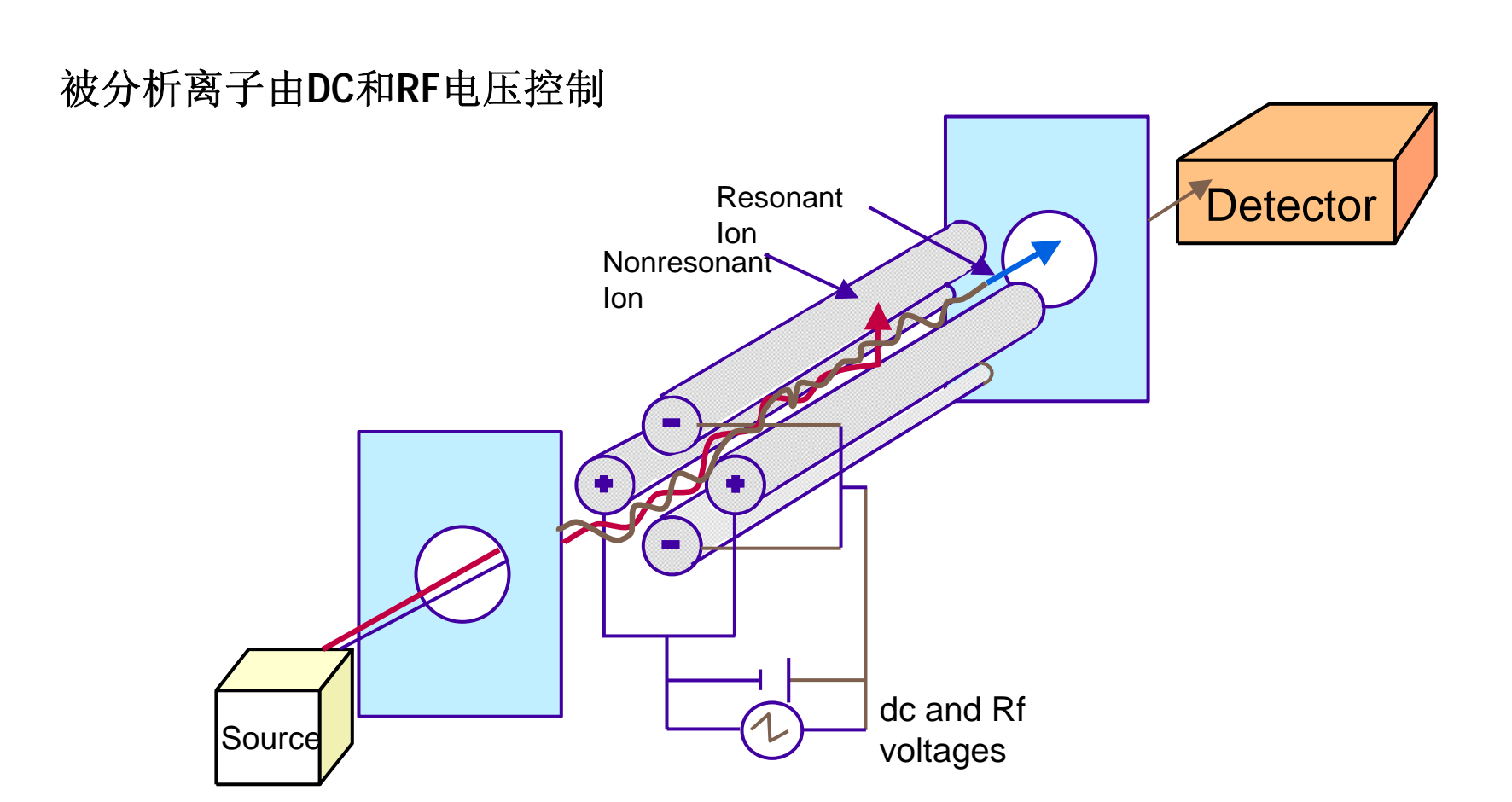


- ◆ 所有离子一同起跑
- ◆ 质量小的跑得快
- ◆ 时间分辨



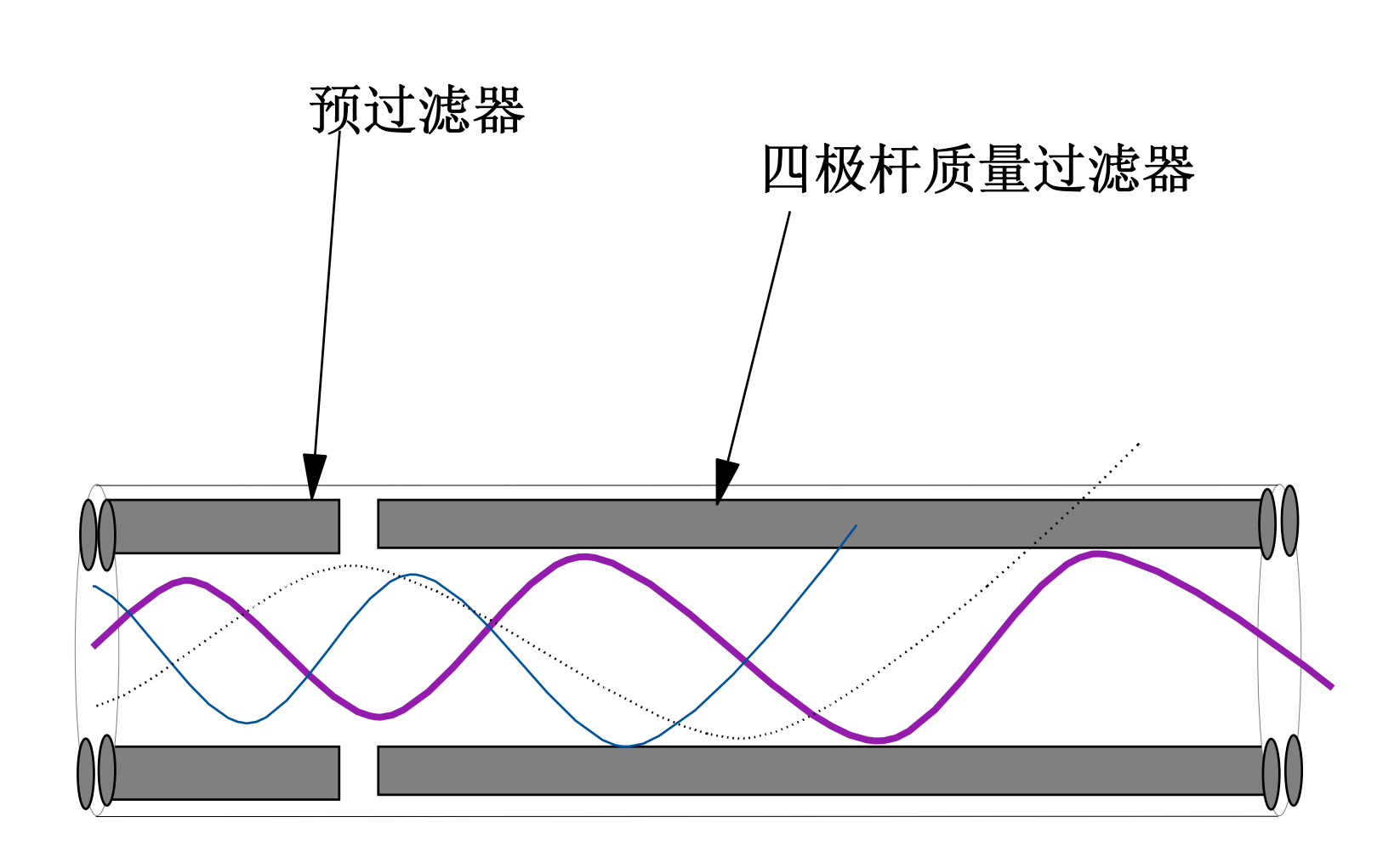


C. 四极杆质量分析器



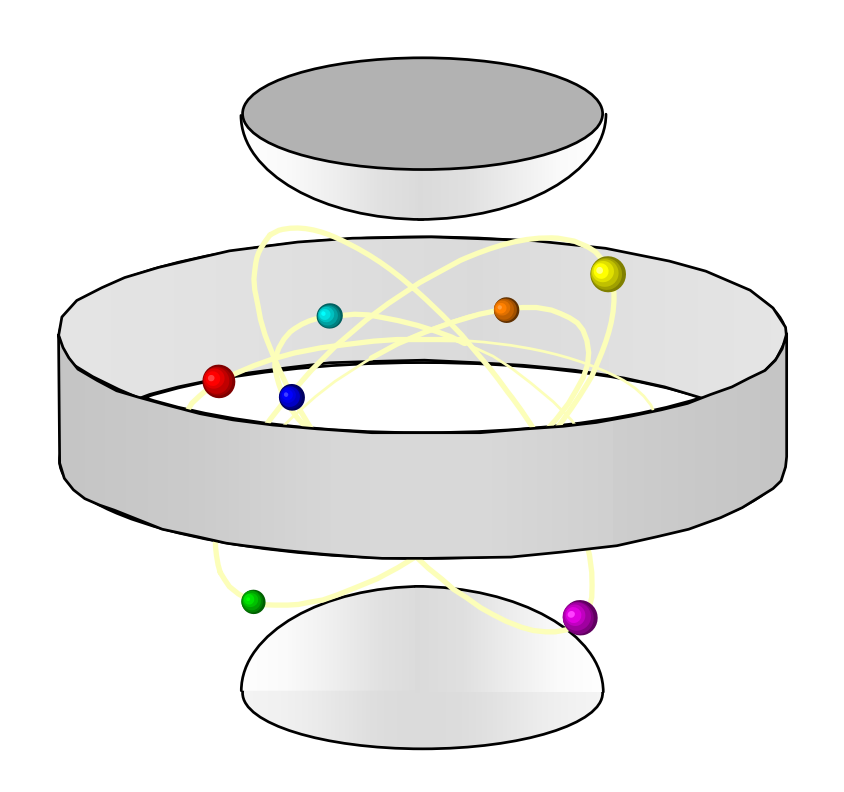


四极杆质量分析器



D. 离子阱

- ■原理与四极杆类似
- 离子被 RF & DC 电场所 储存
- ■扫描电场可以释放特定的m/z离子



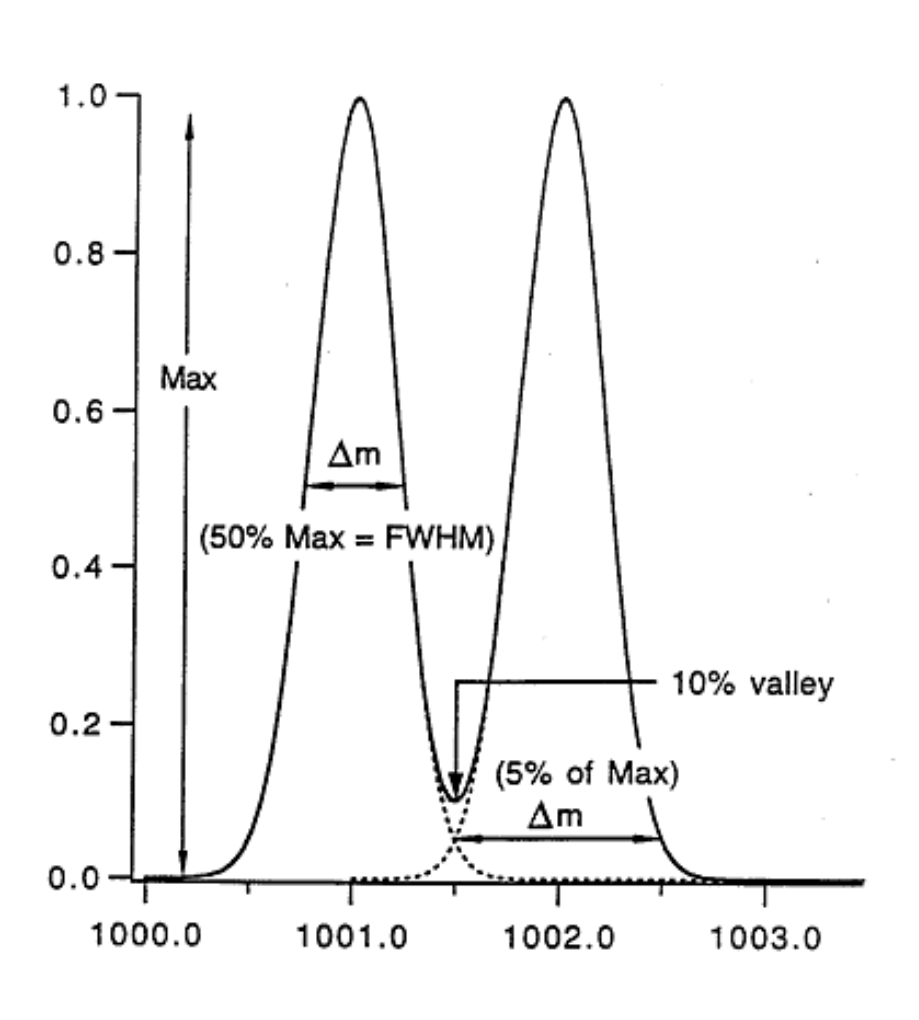
质量分析器特性

分析器	m/z范围	分辨率	质量精度	动态范围	真空
四极杆	10^3	10^3	0.1%	10^5	10^{-5}
离子阱	10^3	$10^3 - 10^4$	0.1%	10^4	10^{-3}
飞行时间	10^{6}	$10^3 - 10^4$	0.1-0.01 %	10^4	10^{-6}
扇形磁场	10^4	10^5	< 5ppm	10^7	10^{-6}
回旋共振	10^5	10^6	< 10ppm	10^4	10^{-9}

质谱分辨率的定义

©2005 Waters Corporation

分辨率: 质谱上是指分开相邻离子的能力,分辨率越高,越能区分小的质量差。



传统分辨率的计算公式:

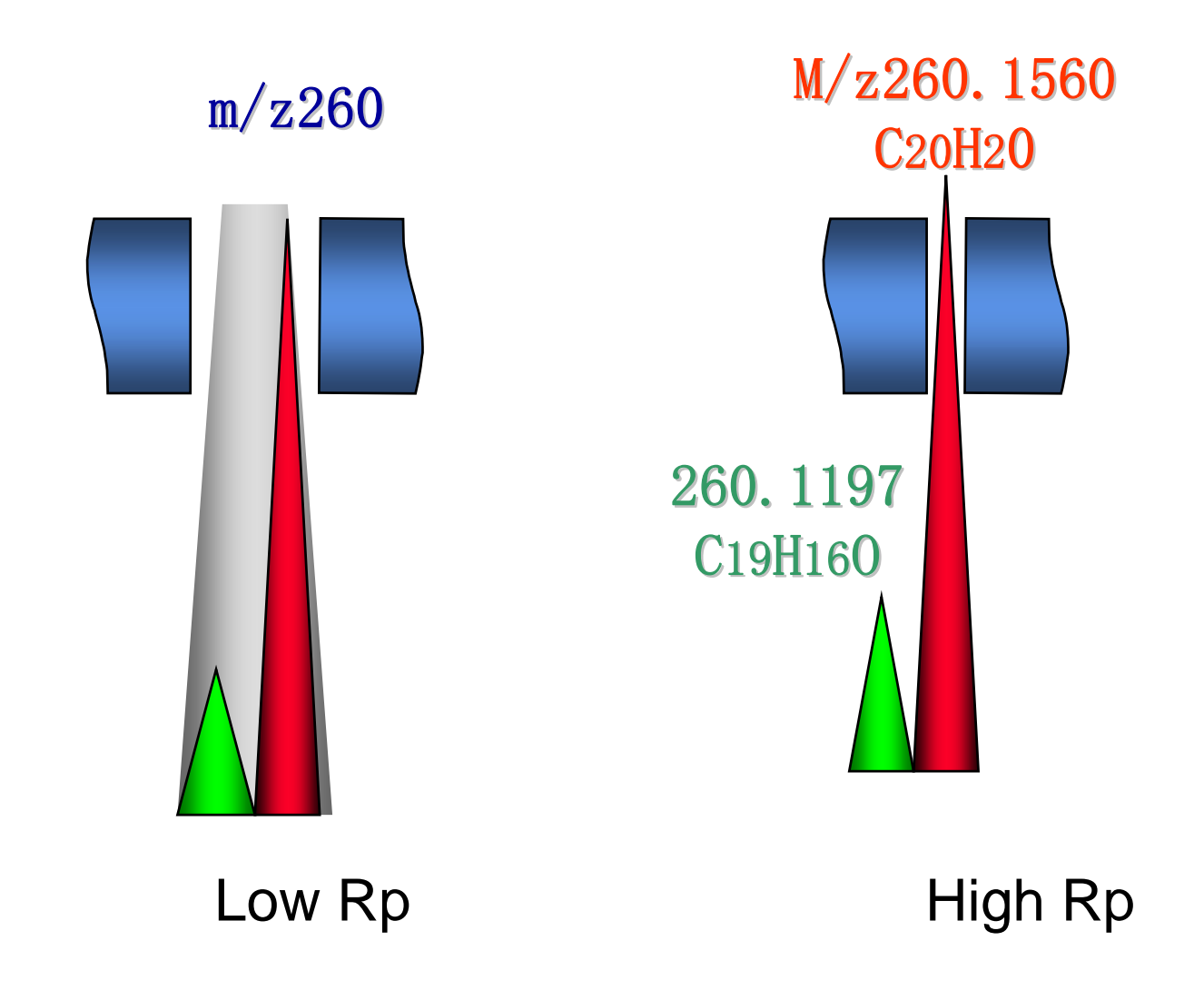
分辨率R = m/Δm at 5% valley Now: Δ**m= FWHM**

单位质量分辨率:

FWHM = 0.5 - 0.8 amu with 10 - 20% valley



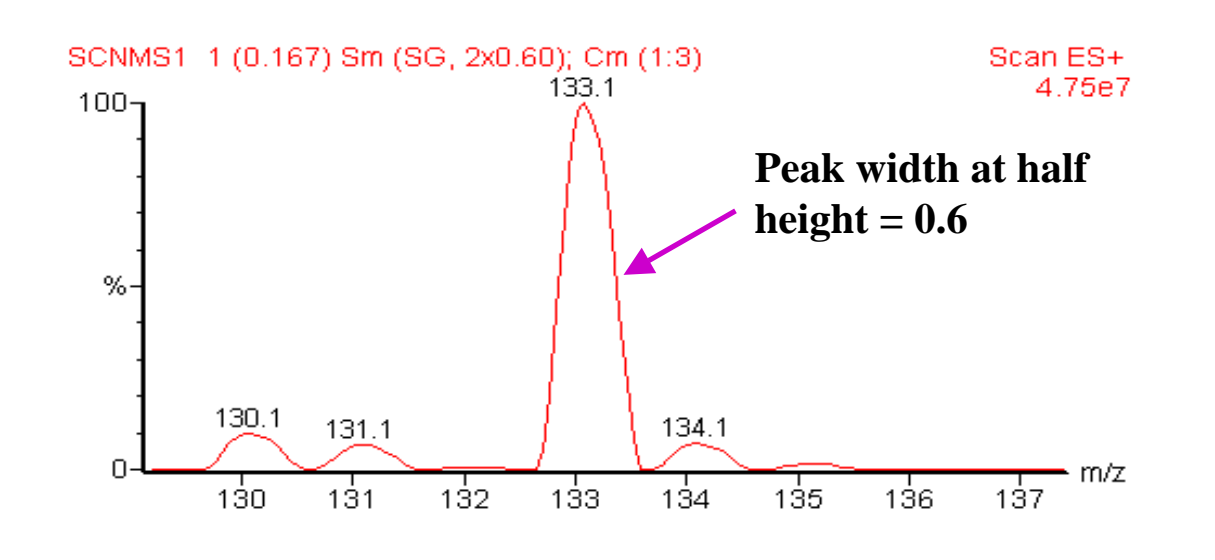
什么是高分辨质谱?

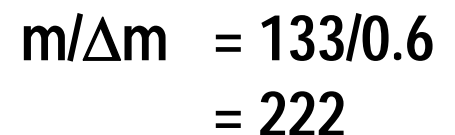


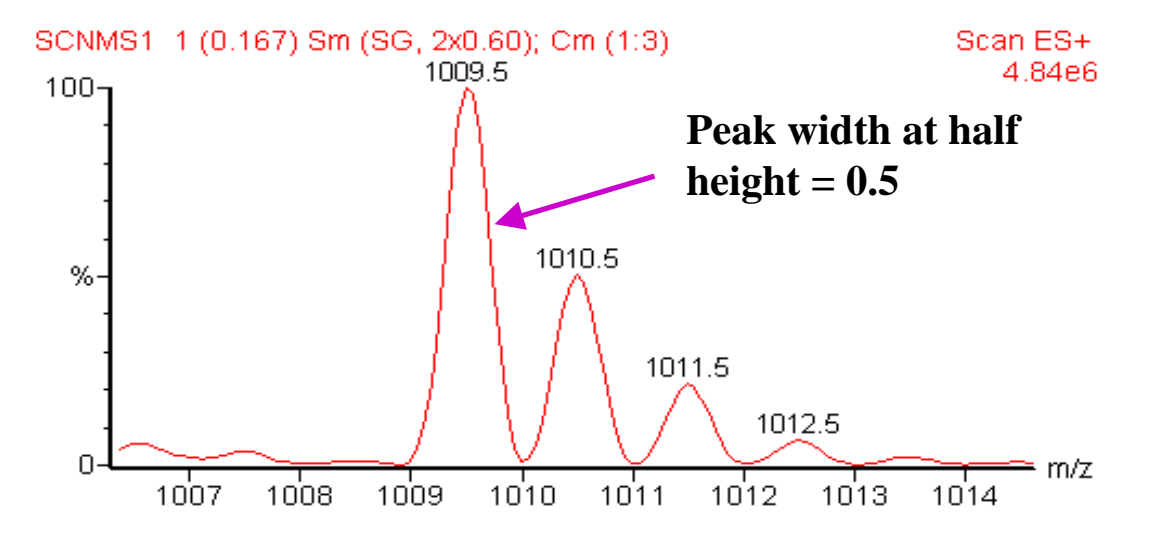
什么是单位质量分辨率?

©2005 Waters Corporation

半峰高处的峰宽为 0.5 - 0.8 amu



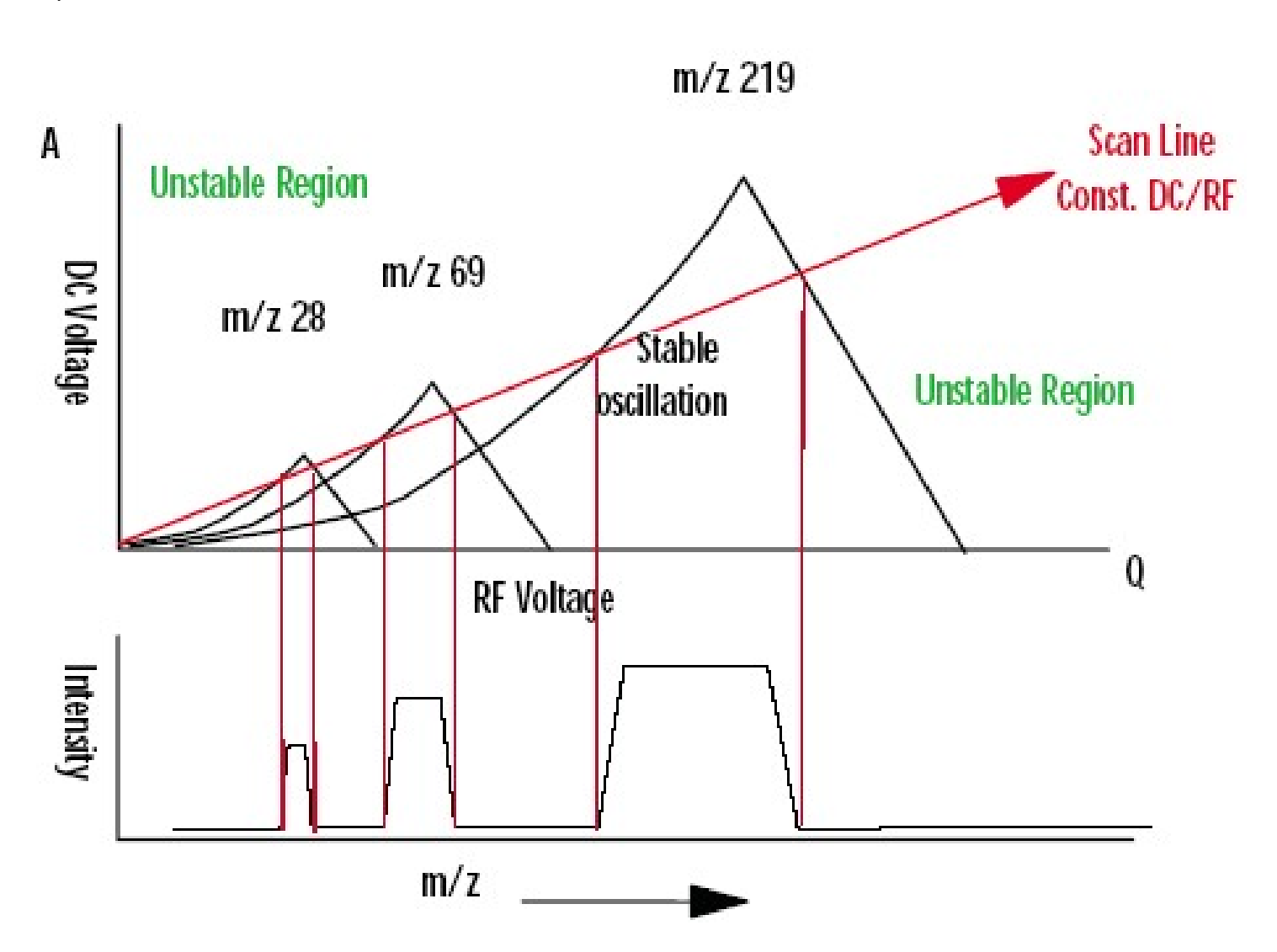




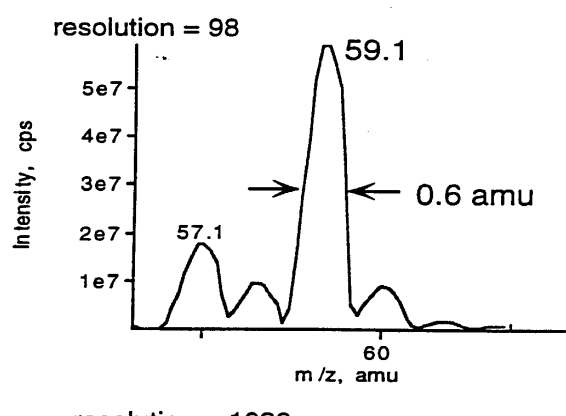
$$m/\Delta m = 1009/0.5$$

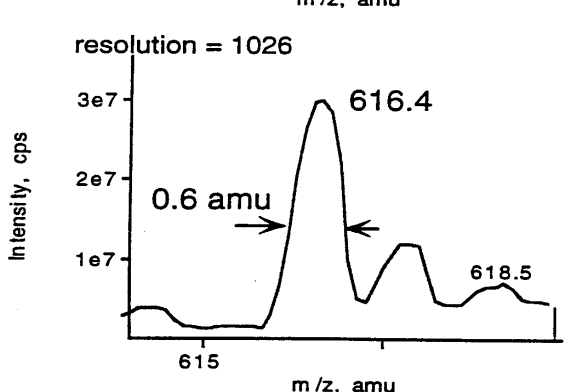
= 2018

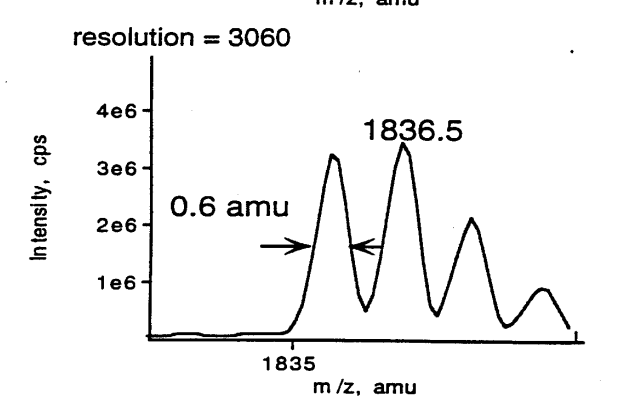
四极杆分辨率

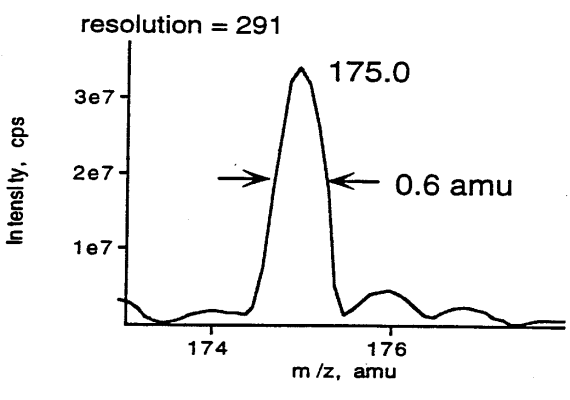


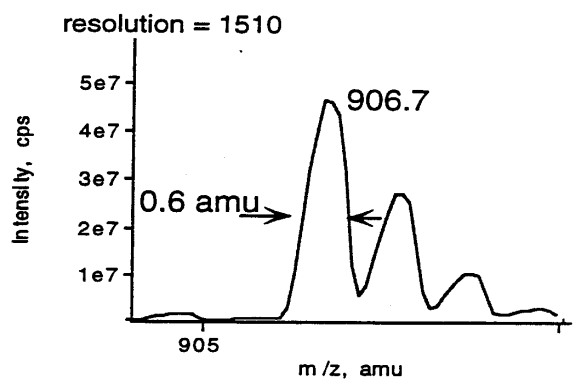
单位质量分辨率

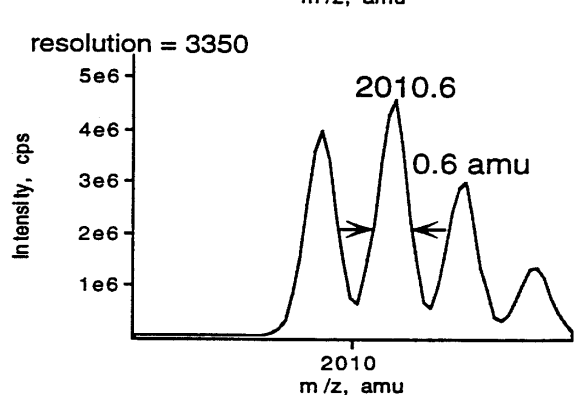










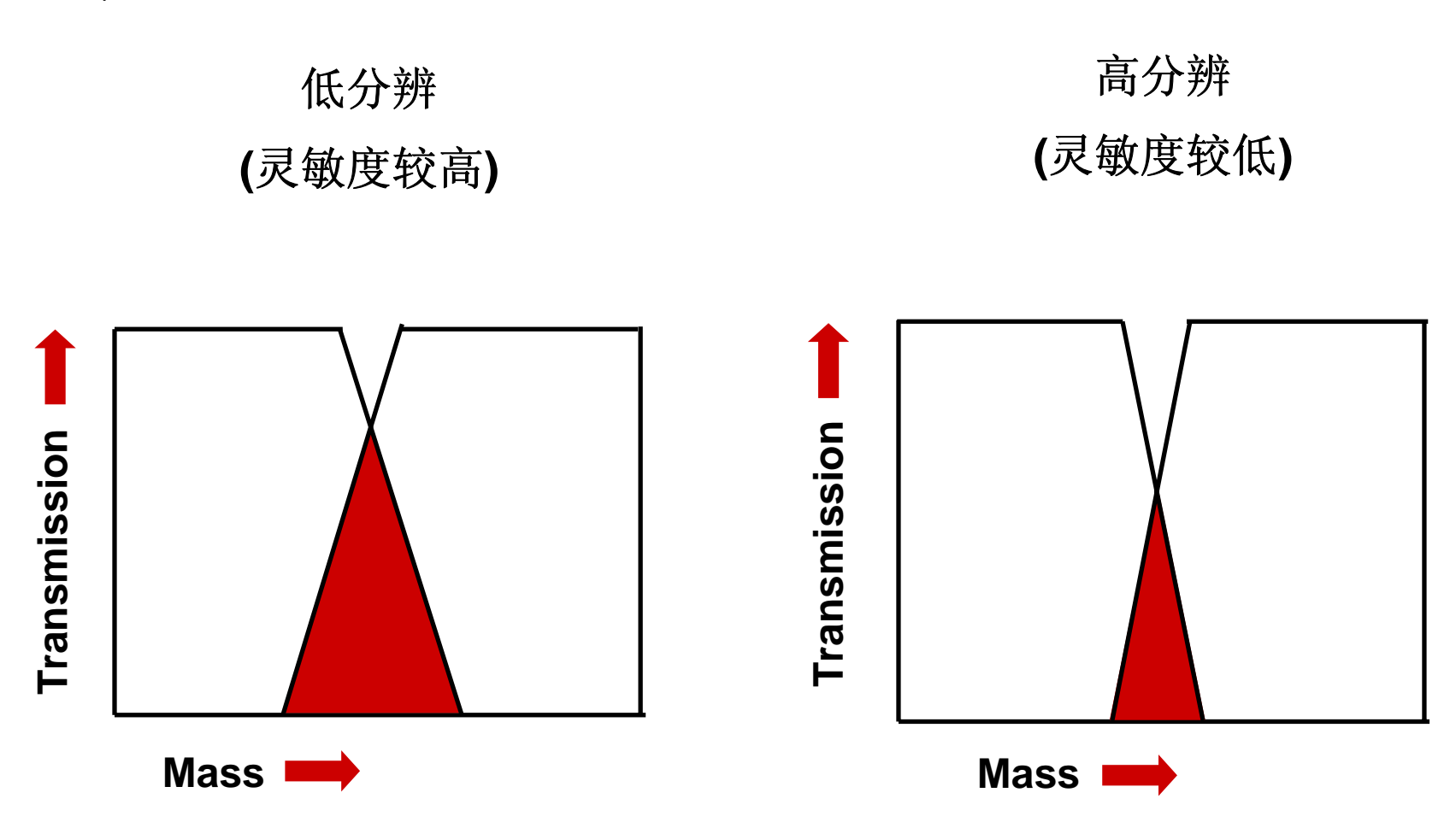


四极杆质量过滤器的特点是以单位质量分辨率运行,这可以通过将某个质量范围的半峰宽调谐到 0.6 amu 来实现



分辨率与灵敏度的关系

©2005 Waters Corporation



Adapted from Willoughby, R.; Sheehan, E.; Mitrovich, S. *A Global View of LC/MS: How to Solve Your Most Challenging Analytical Problems*, 1st ed.; Global View Publishing: Pittsburgh, PA, 1998; p 528.

影响四极杆分辨率的其它参数

©2005 Waters Corporation

四极杆的长度

- ■射频电压的最大振幅
- 四极杆相对空间位置
- ■离子的动能
- ■四极杆的加工工艺和排列



更快的扫描速率

- ■内置 PC 技术使单四极杆接口适应快速色谱
- ■优点更多:
 - 意味着可"检测"更多的峰 基线和共流出物
 - 意味着可"更好" 地定量
 - 更多的信息可更快地得到正确答案



扫描速率和色谱

©2005 Waters Corporation

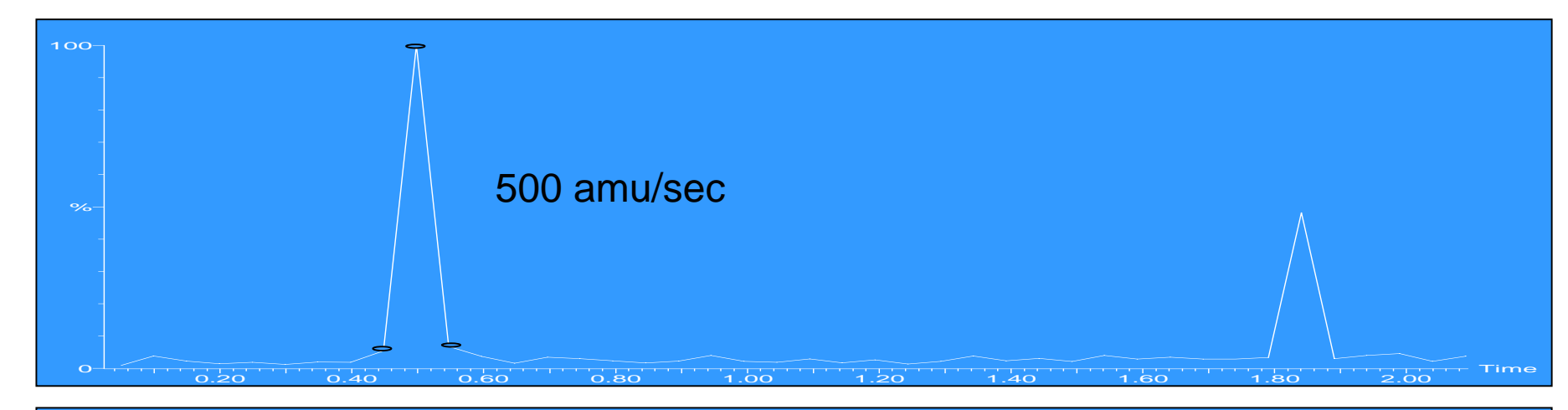
■ 随着峰宽降低(例如,高通量)到小于**3**秒(半峰宽), 快速扫描变得很重要

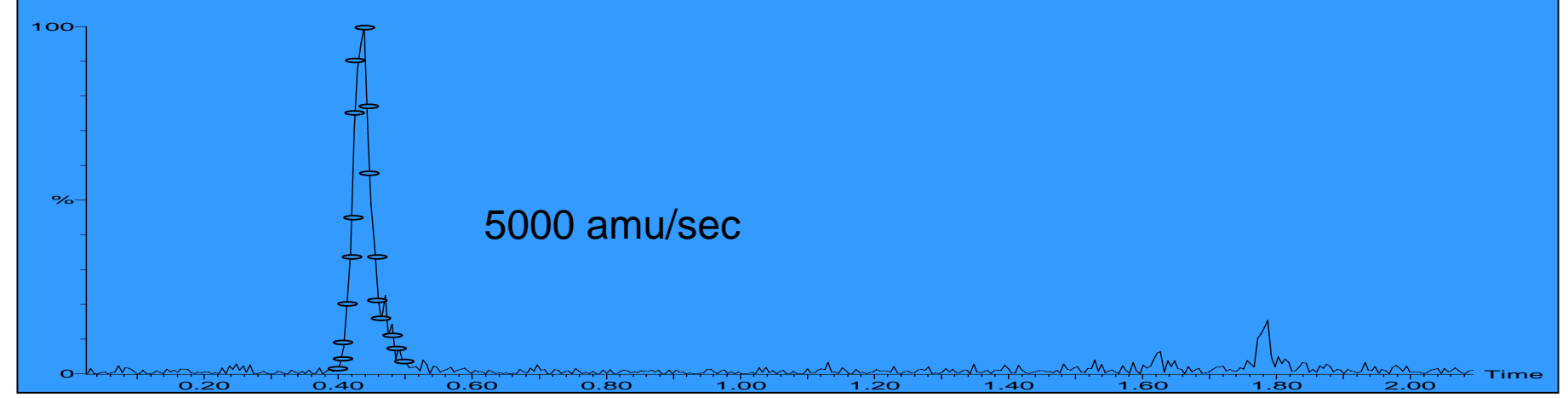
■大多数四极杆设计的扫描速率约 1000 amu/秒

■由于 ZQ 能以高达5000 amu/秒的速率采集全扫描数据, 使得一个色谱峰包含有更多的数据点,对于鉴定未知物提 供更优质的谱图

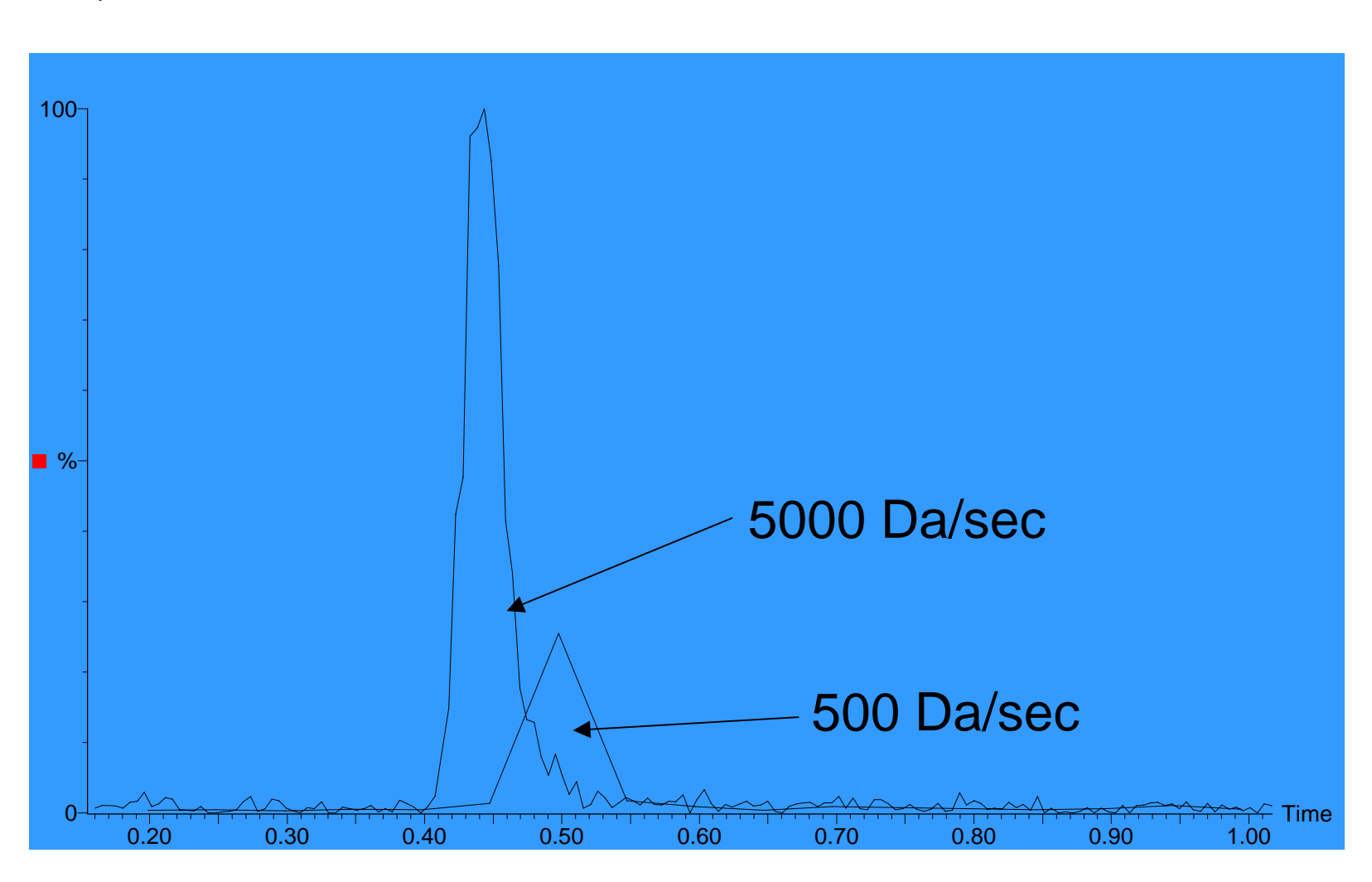


扫描速度对峰型的影响



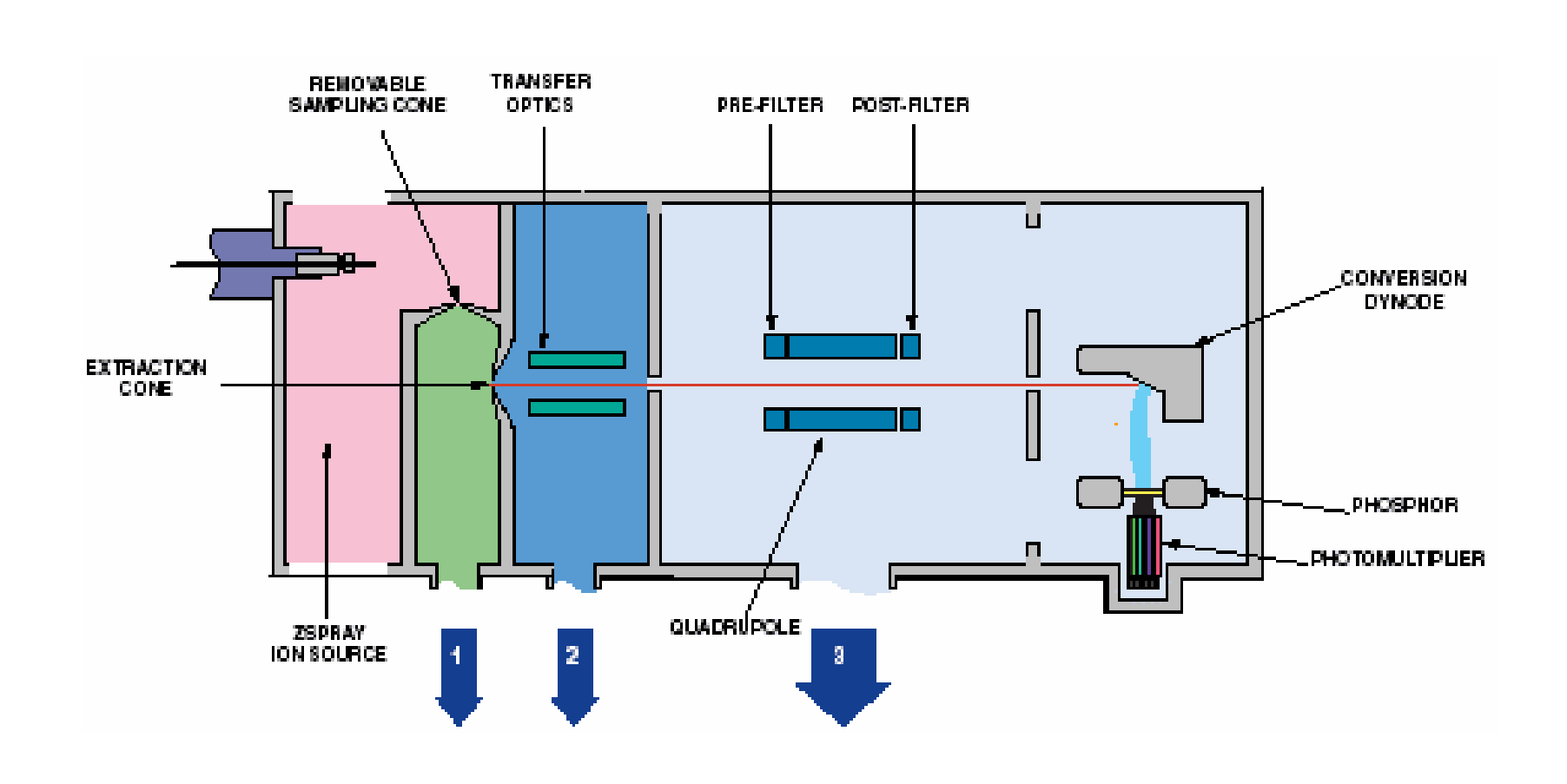


扫描速率对灵敏度的影响

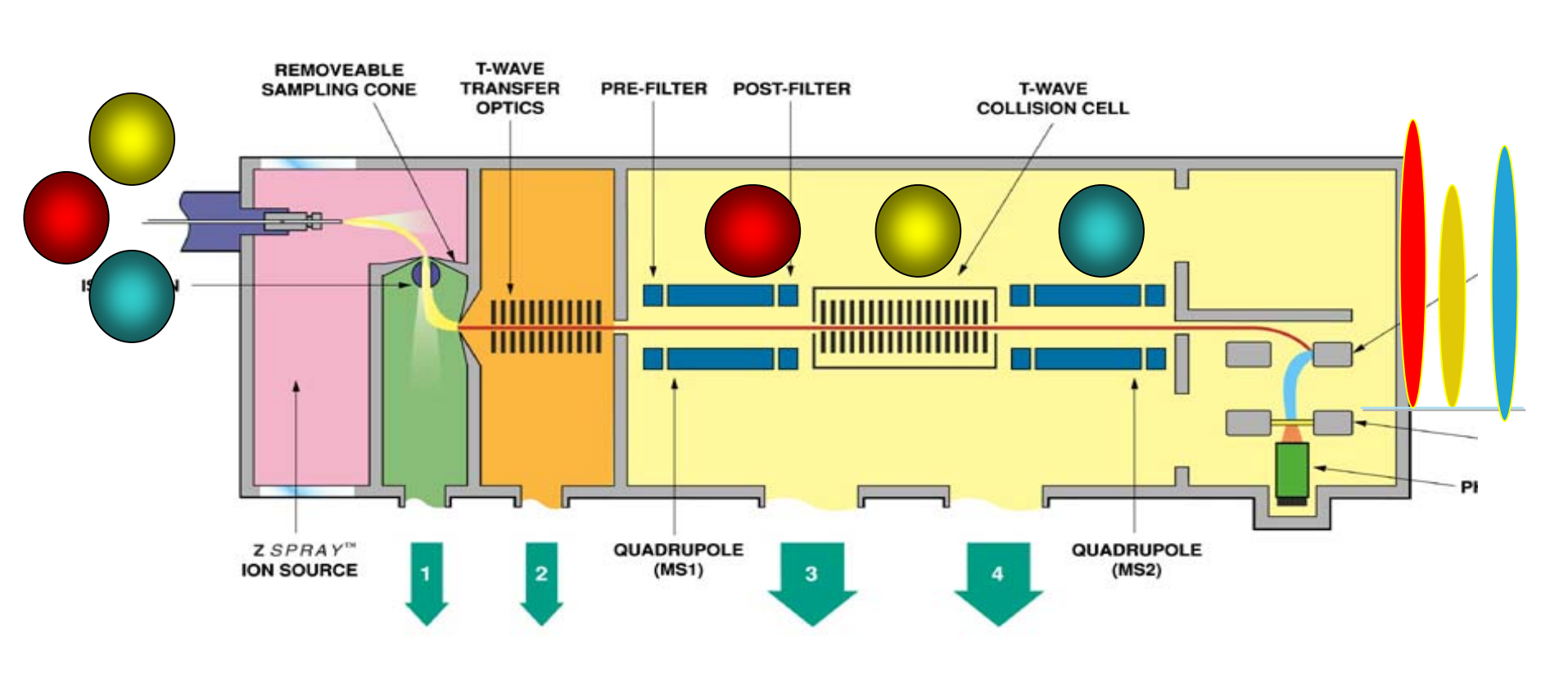




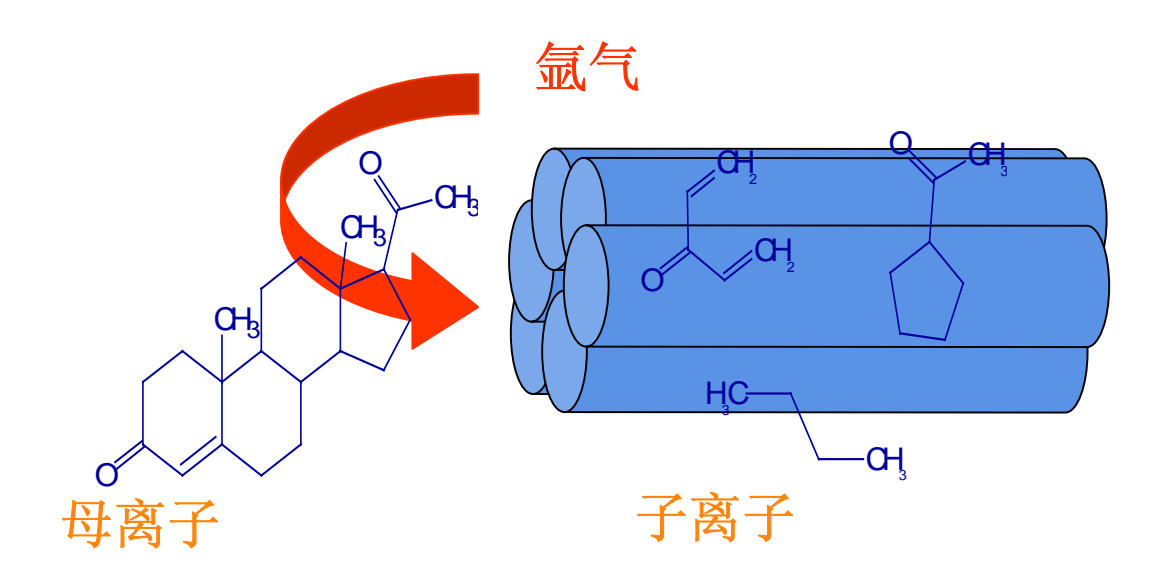
单级质谱一四极杆质谱



串联质谱一三重四极杆质谱

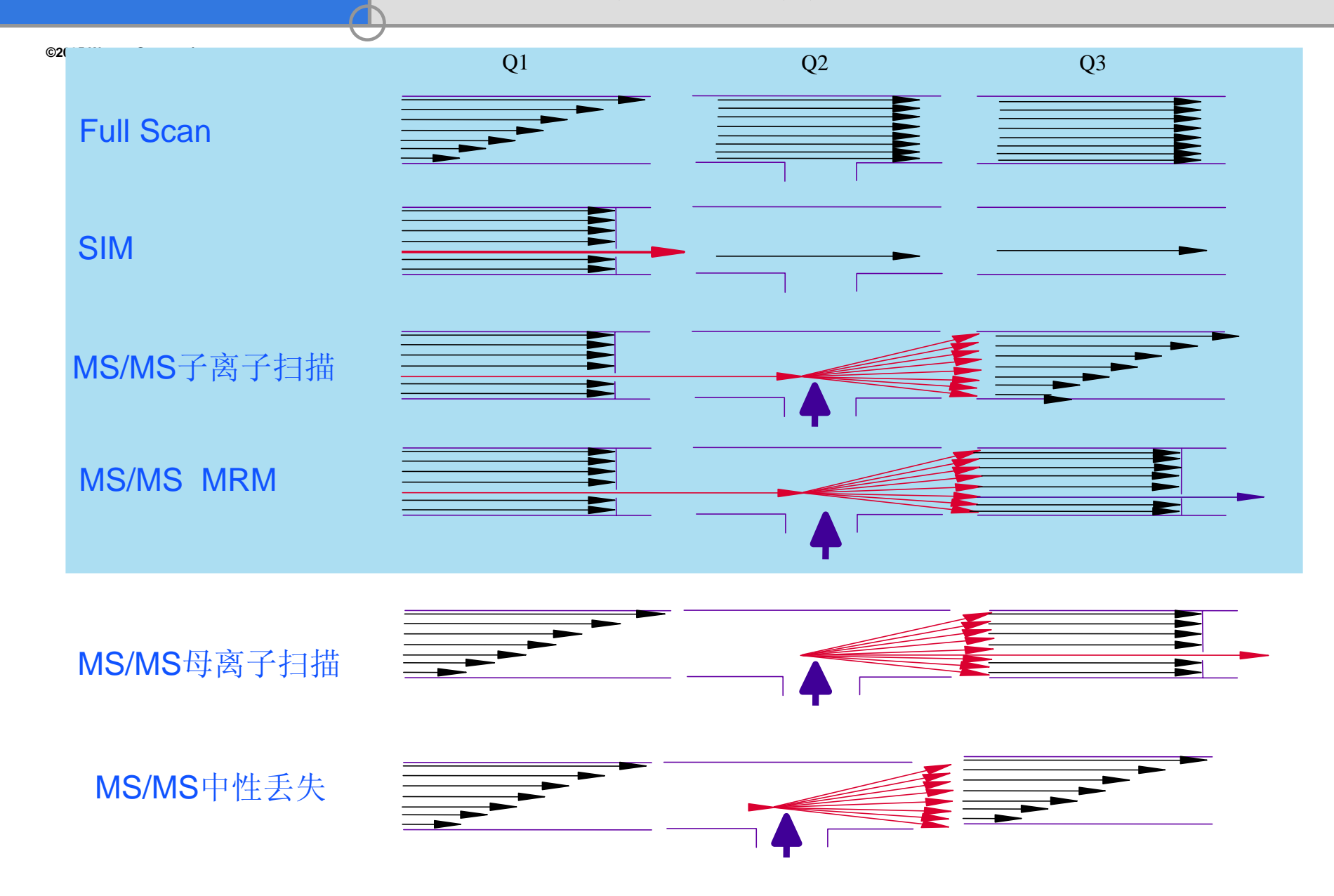


MS/MS的碰撞室



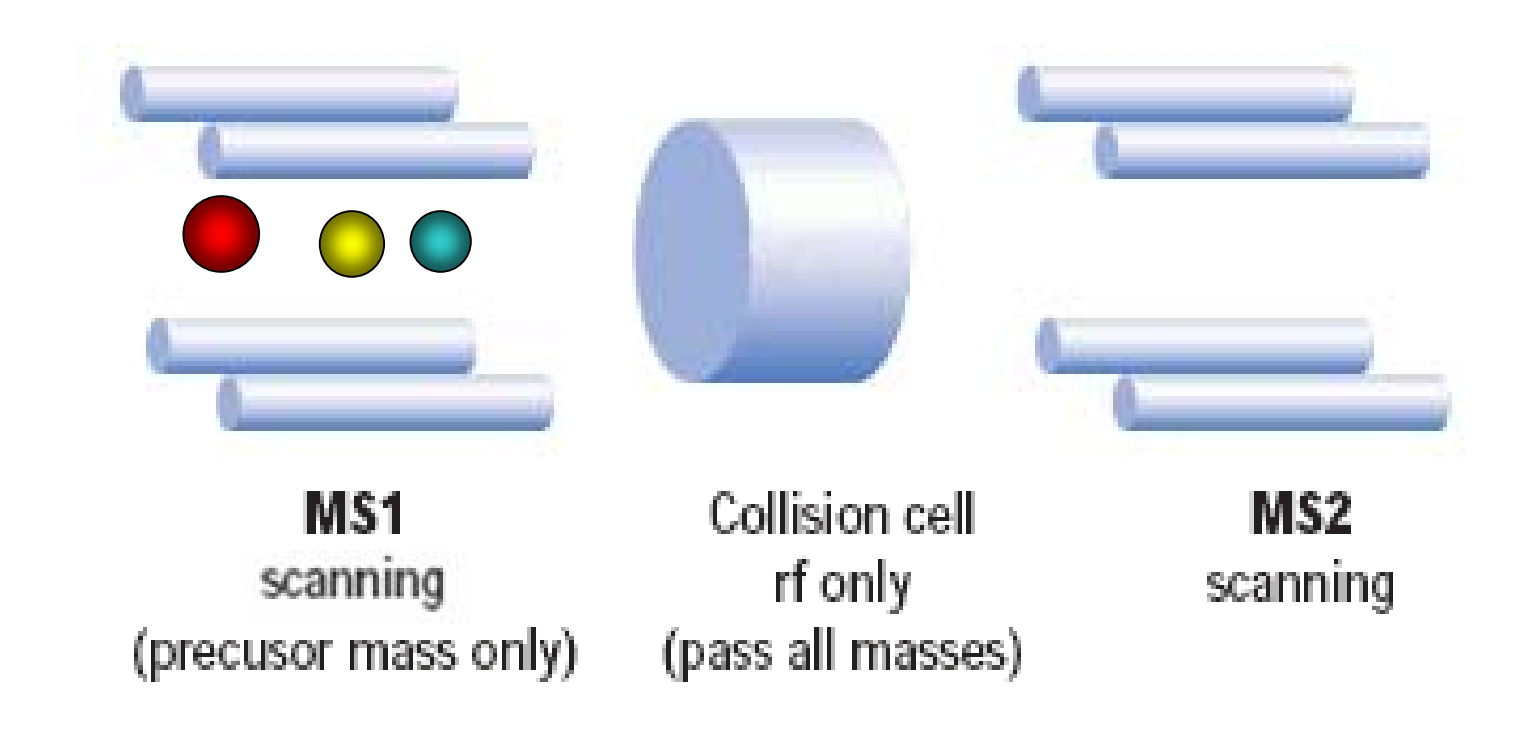
- In the collision cell, the TRANSLATIONAL ENERGY of the ions is converted to INTERNAL ENERGY.
- Collision conditions (FRAGMENTATION) can be controlled by altering:
 - The collision energy (speed of the ions as they enter the cell)
 - Number of collisions undertaken (collision gas pressure)

Waters串 联四极杆质谱MS/MS功能



全扫描采集模式

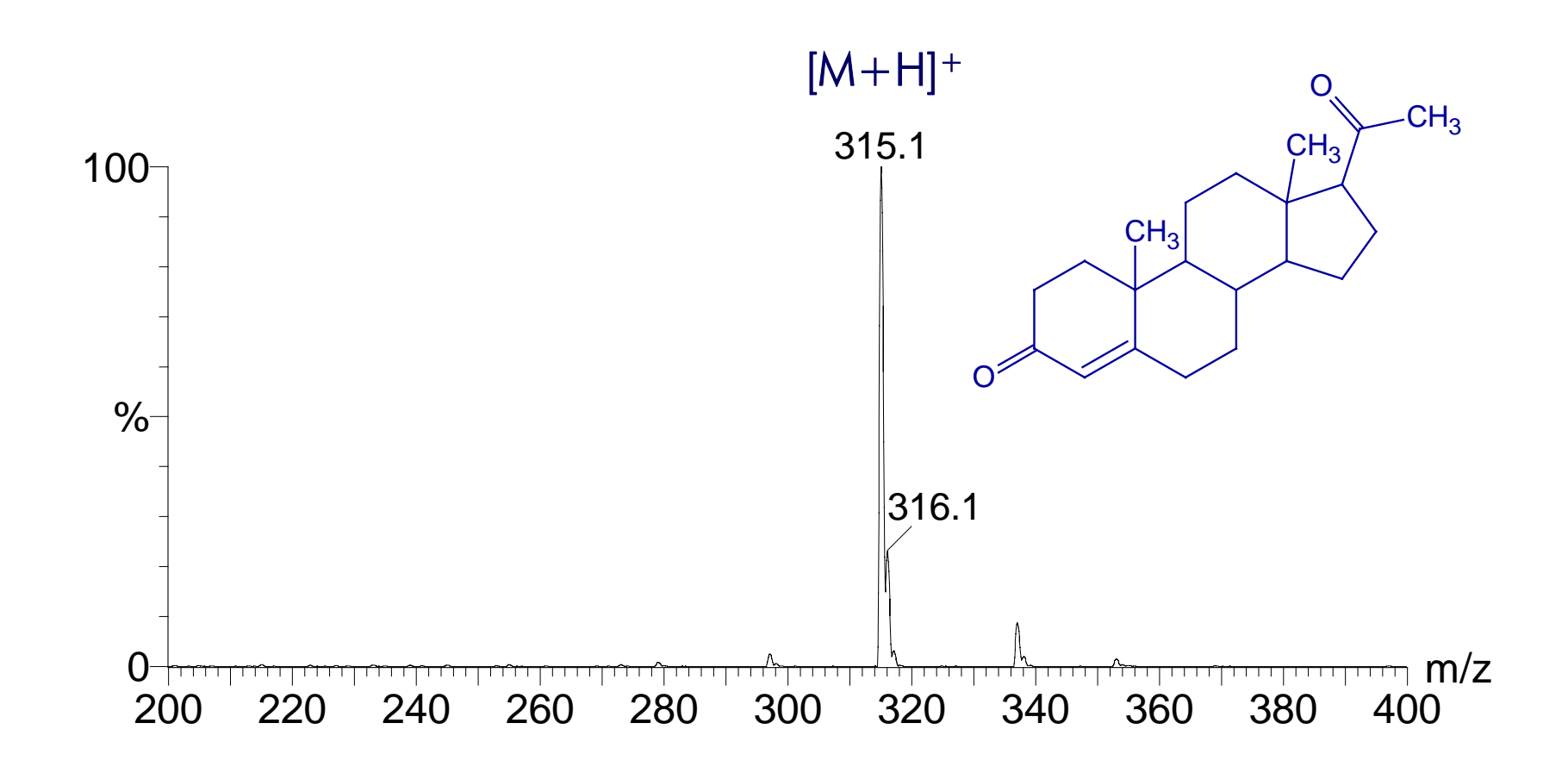
©2005 Waters Corporation



The first quadrupole mass analyzer is *Scanning* over a user-defined mass range. The collision cell and the second quadrupole mass analyzer are operated in the Rf only mode and pass all ions to the detector.



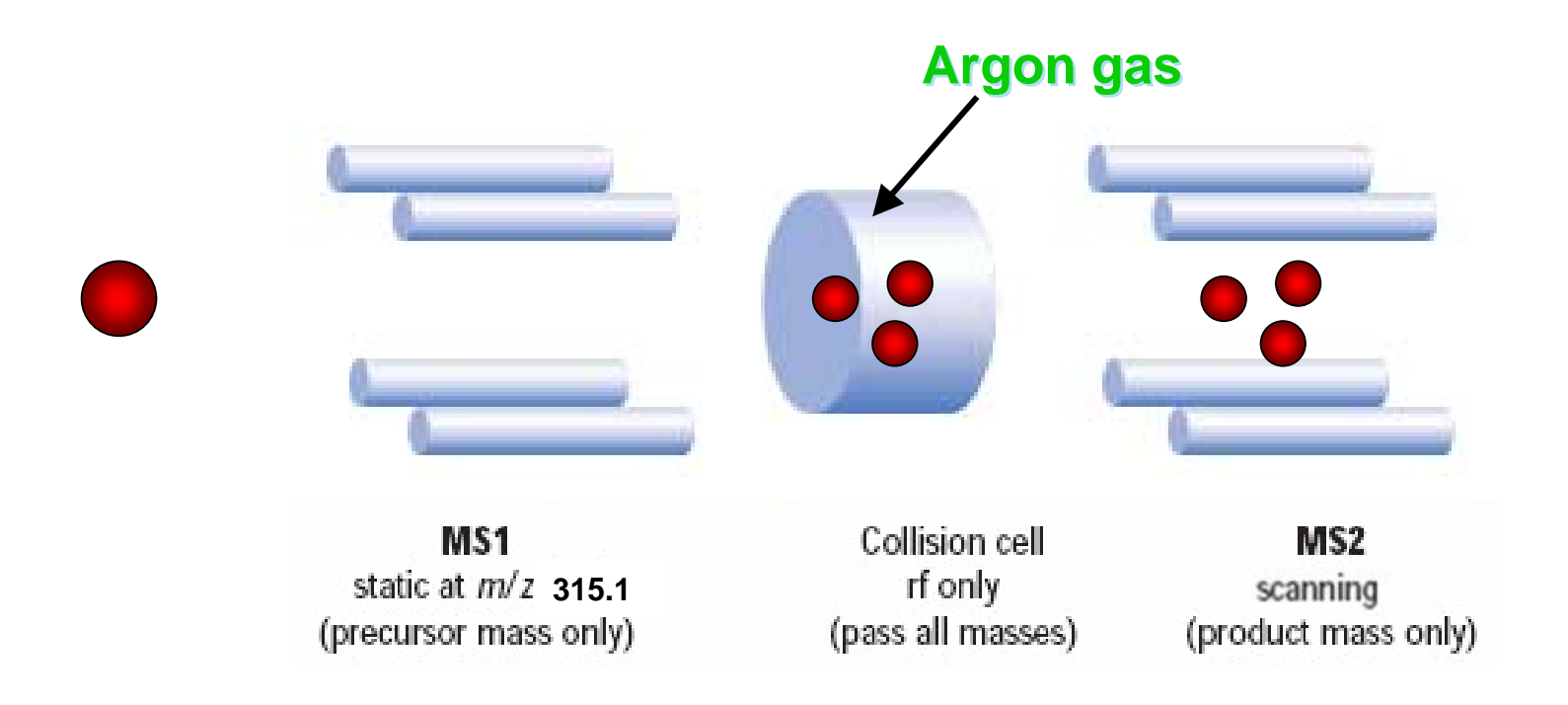
Mass Spectrum: 孕酮



设定的m/z范围为200-400

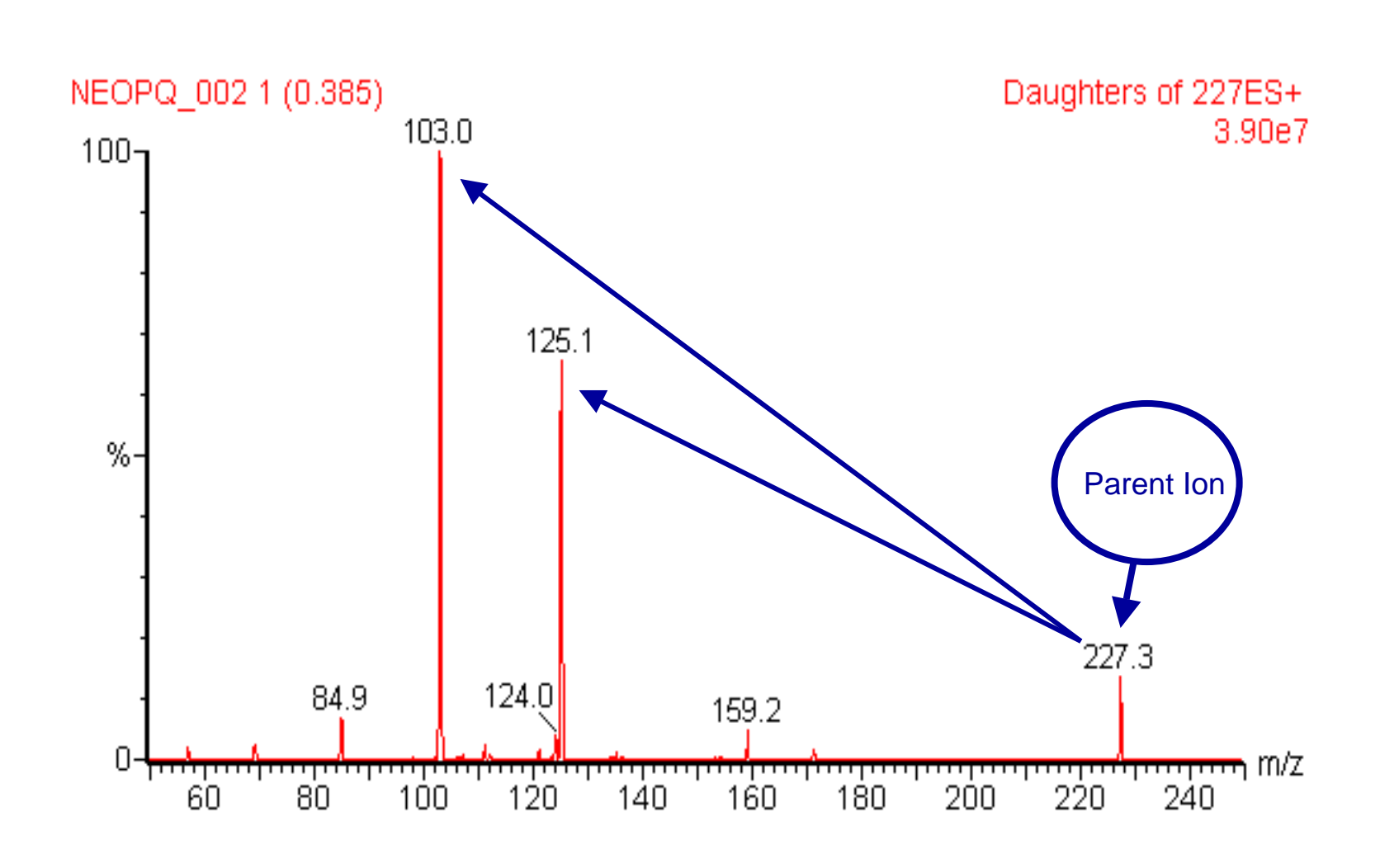
子离子扫描

©2005 Waters Corporation

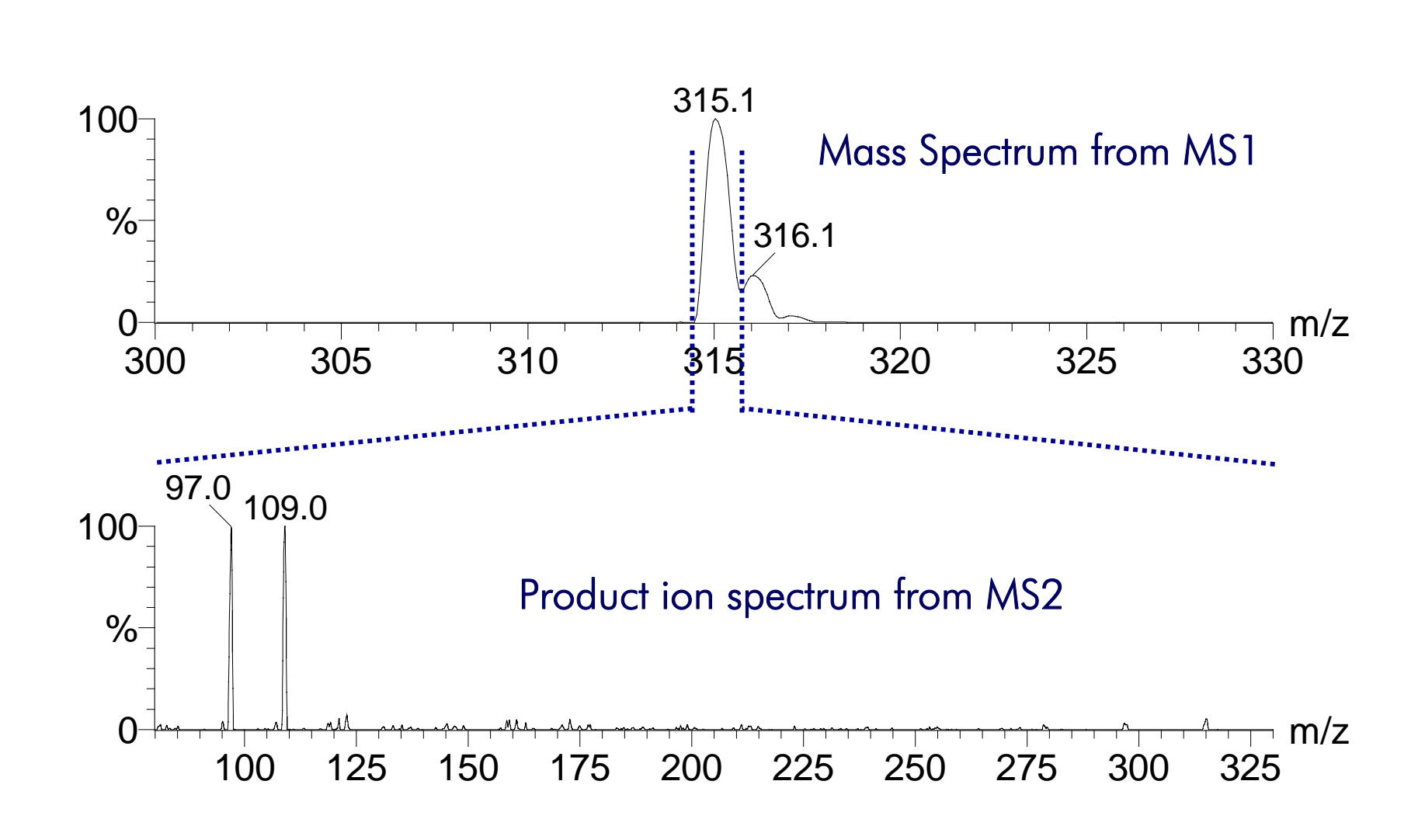


The first quadrupole mass analyzer is fixed, or *Static*, at the mass-to-charge ratio (m/z) of the precursor ion to be interrogated while the second quadrupole is *Scanning* over a user-defined mass range.

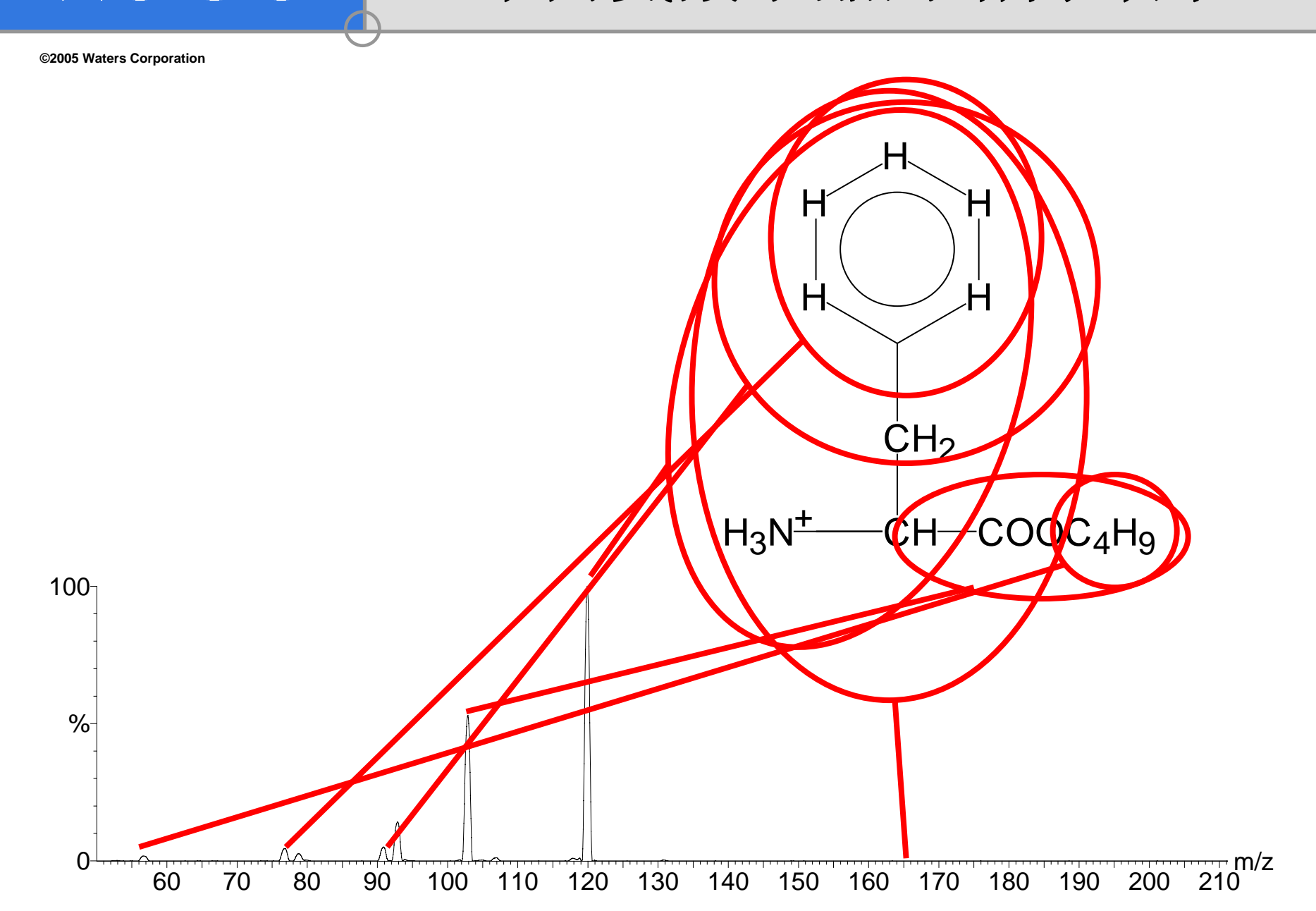
子离子质谱图



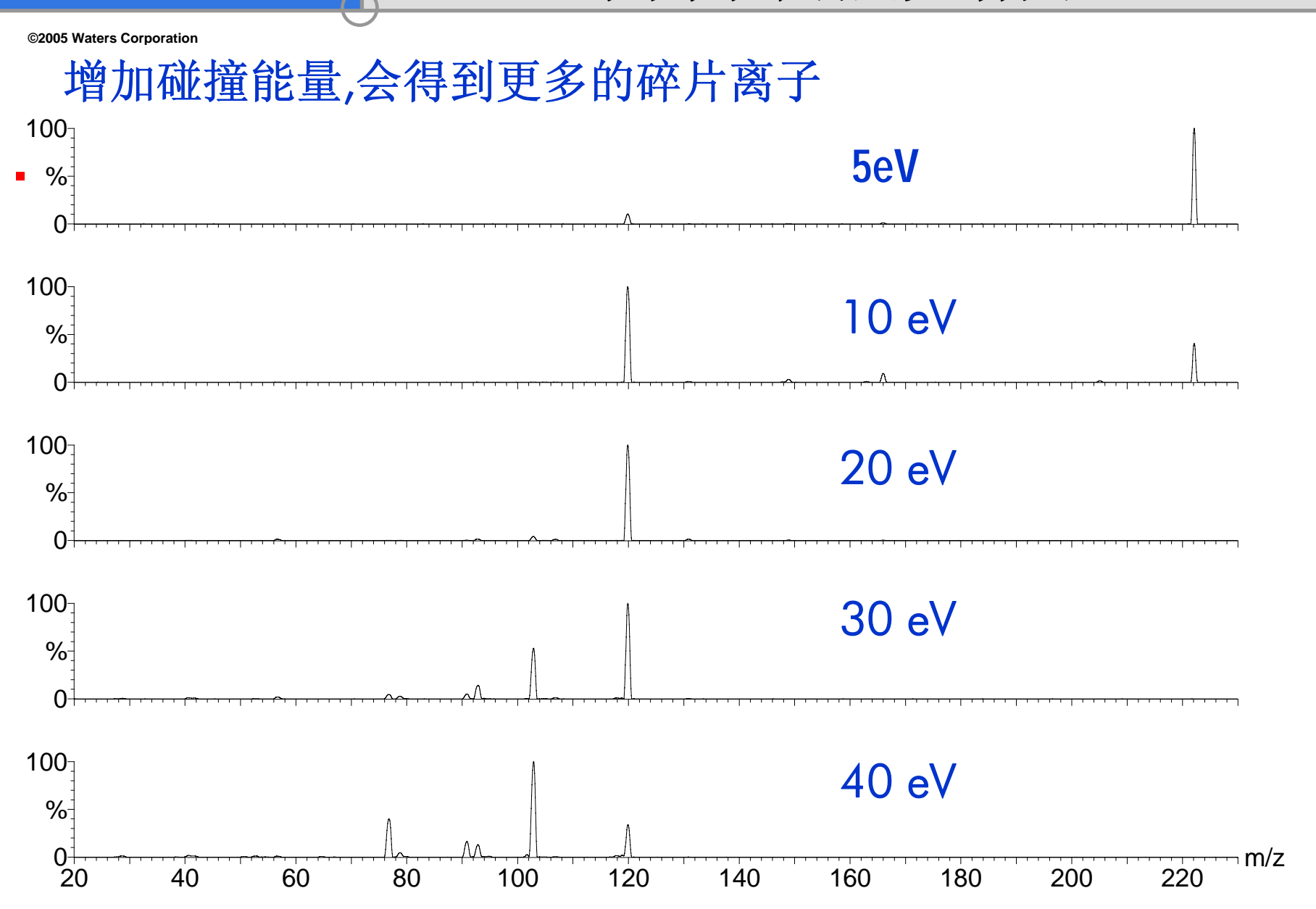
孕酮的子离子质谱图



苯丙氨酸丁酯的结构碎片

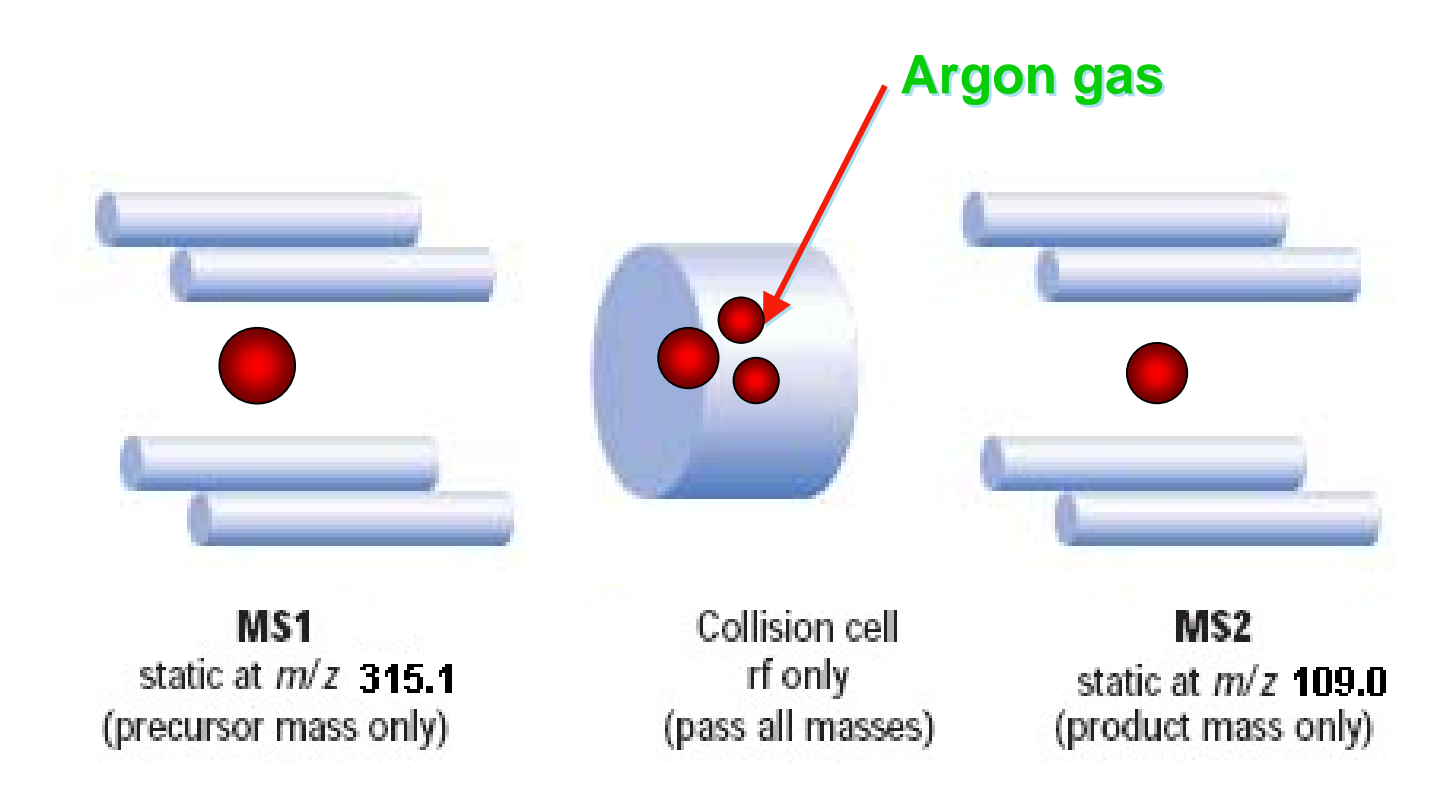


不同碰撞能量得到不同的子离子扫描质谱图



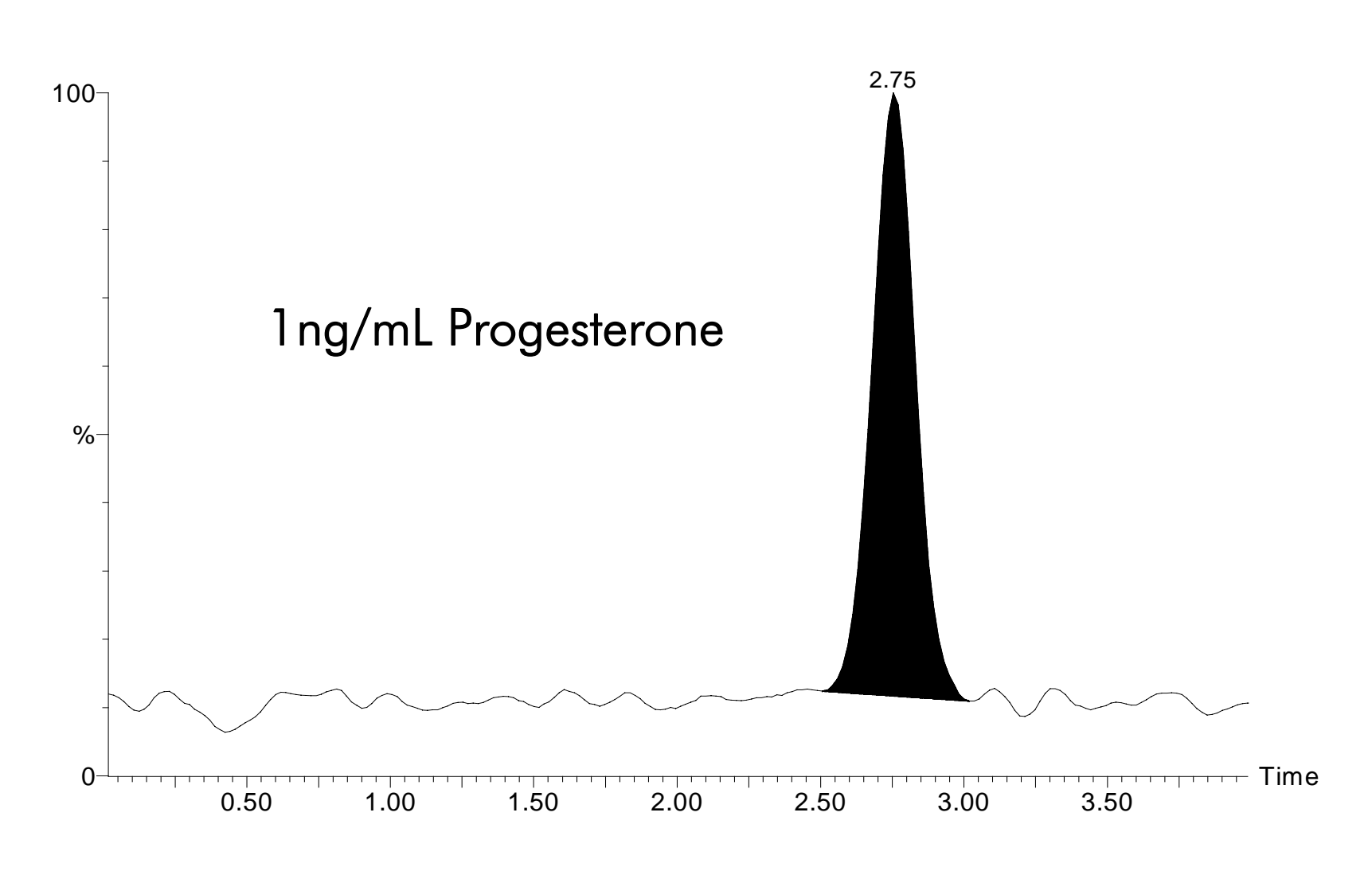
多反应监测一MRM

©2005 Waters Corporation



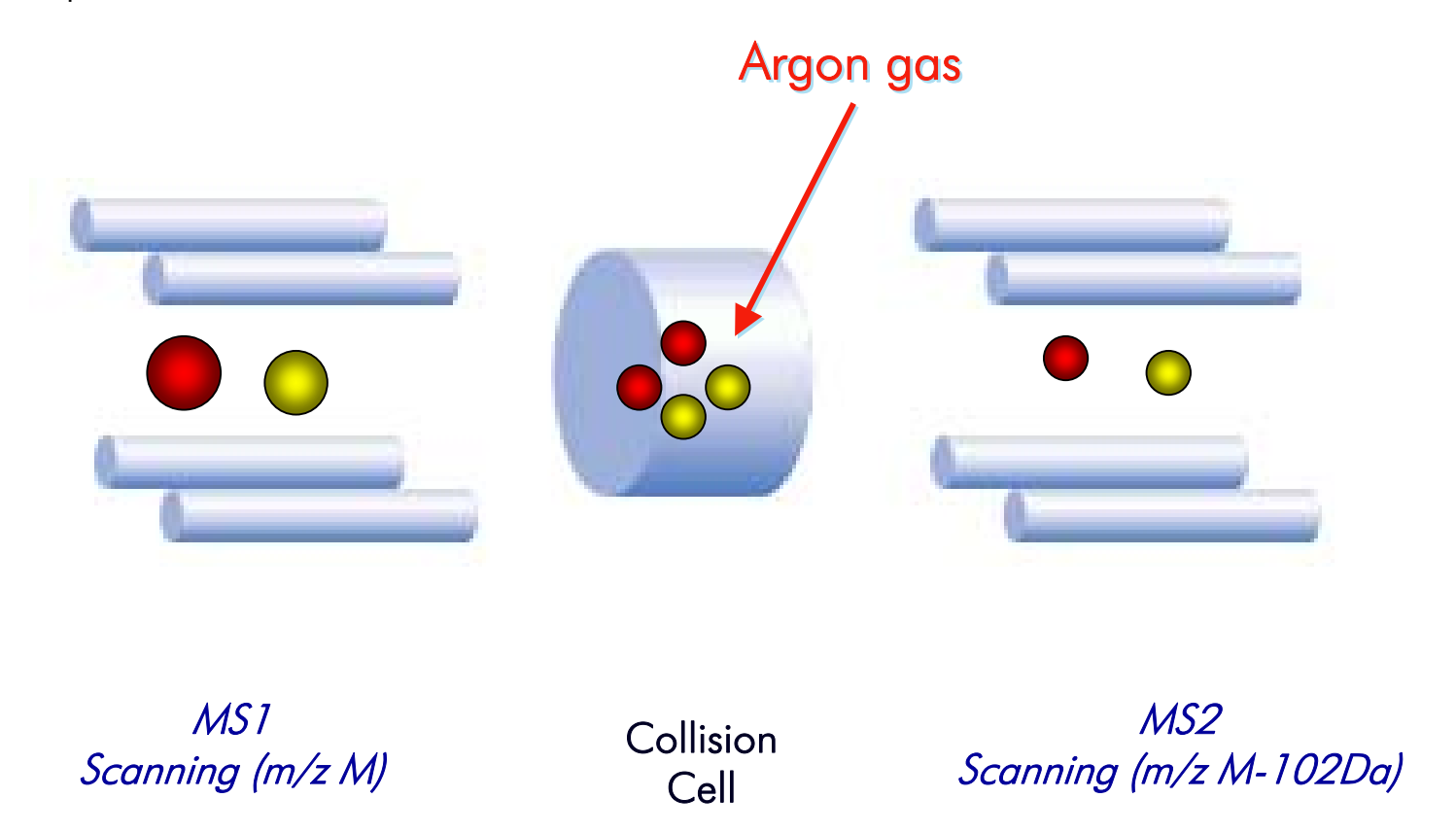
Both the first and second quadrupole mass analyzers are held *Static* at the mass-to-charge ratios (m/z) of the precursor ion and the most intense product ion, respectively.

孕酮的MRM 色谱图 *m/z* 315.1 > 109.0



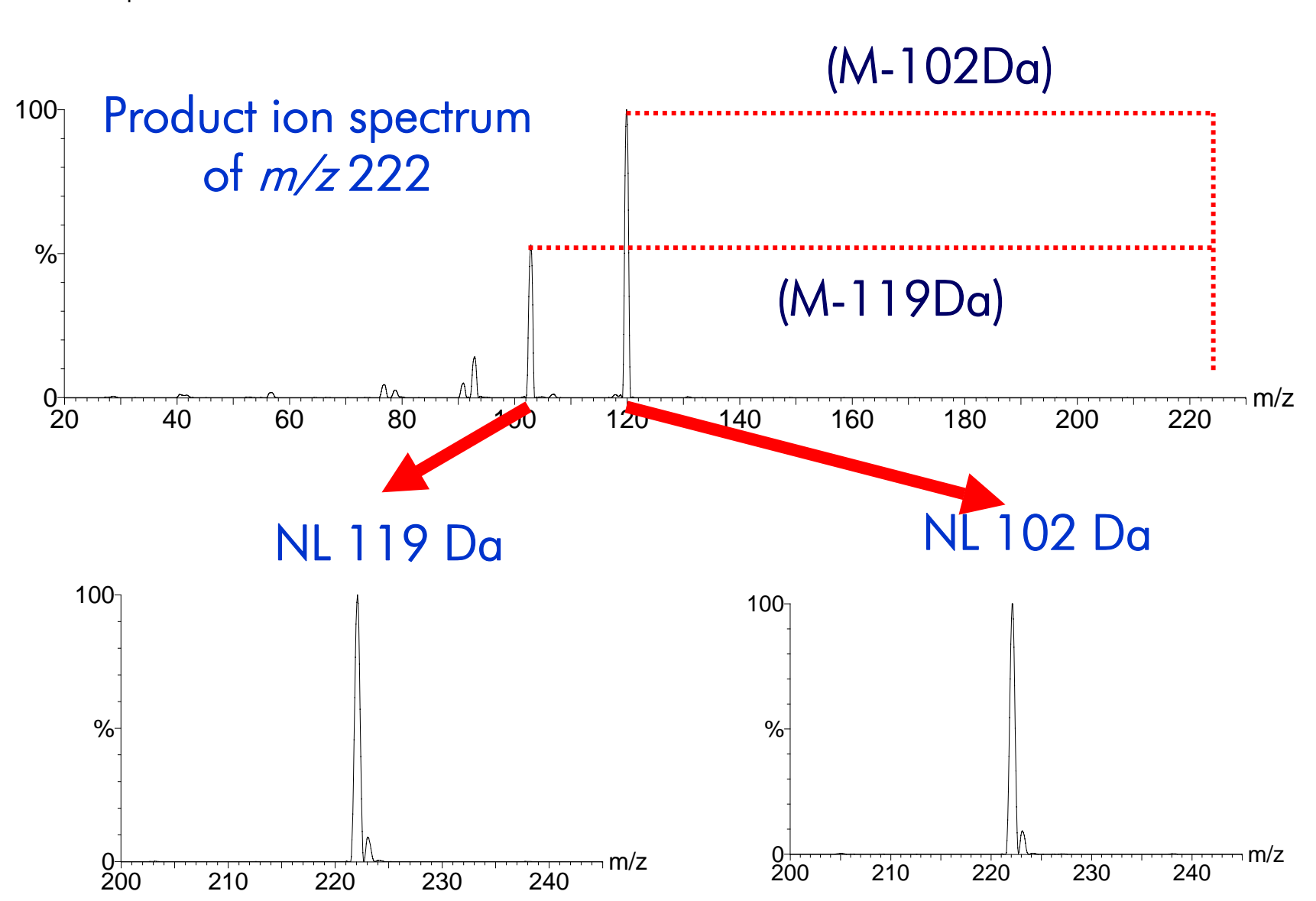
中性丢失扫描

©2005 Waters Corporation



The first quadrupole mass analyzer is *Scanning*, at the mass-to-charge ratio (m/z) of the precursor ion to be interrogated while the second quadrupole is *Scanning* over a user-defined mass range.

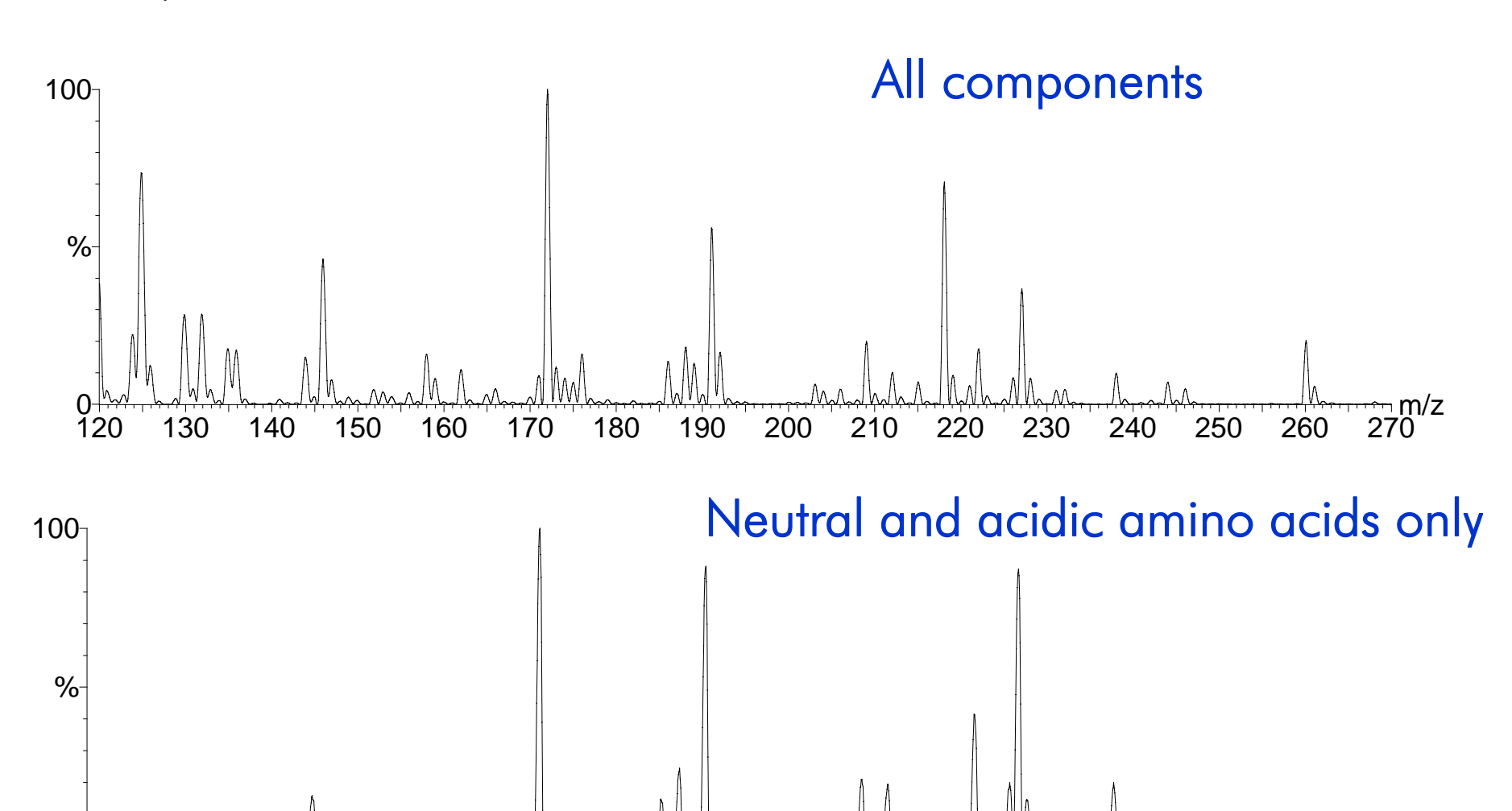
Anomalies arising from fragmentation



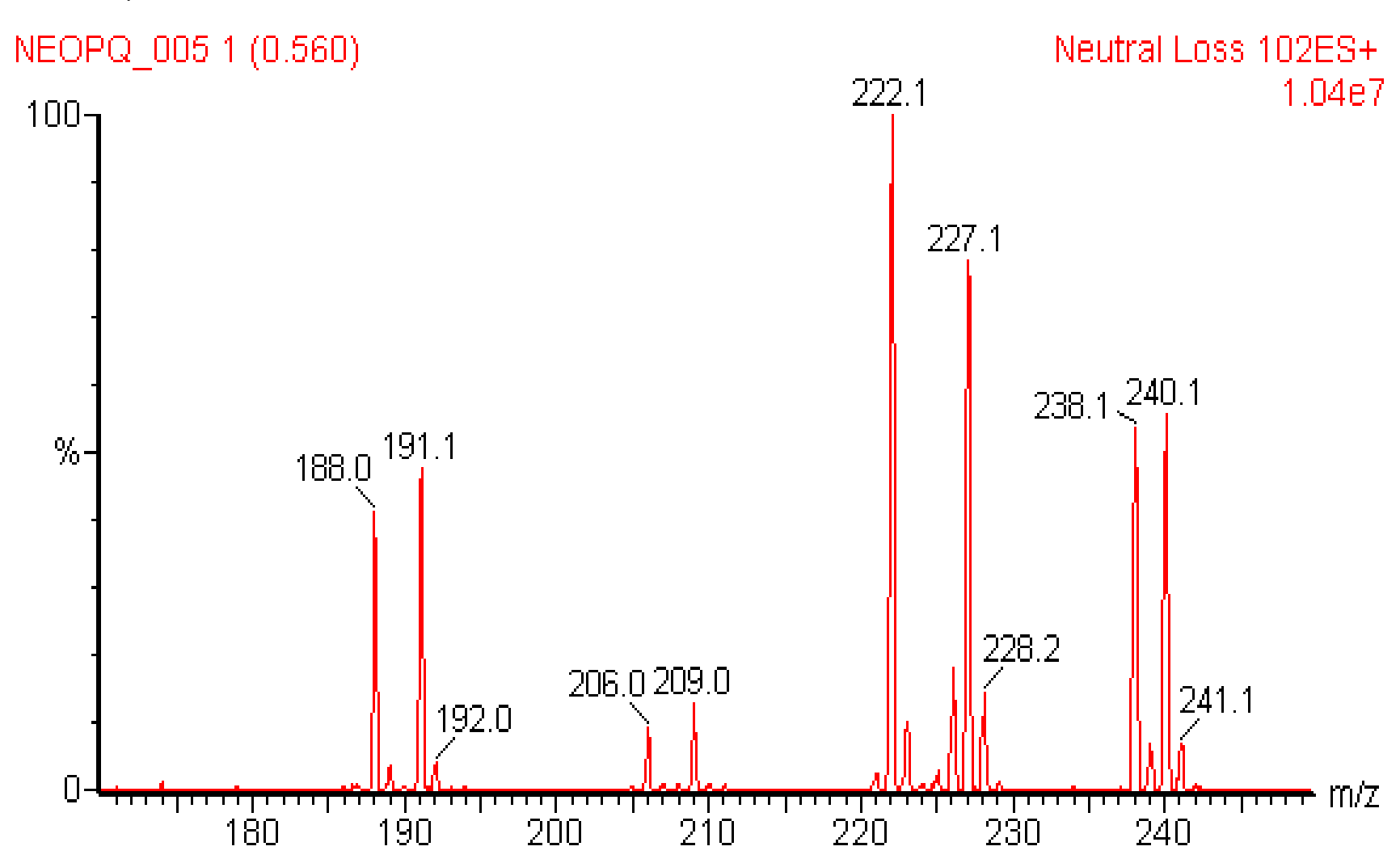
质谱图 vs 中性丢失质谱图

¬ m/z

©2005 Waters Corporation

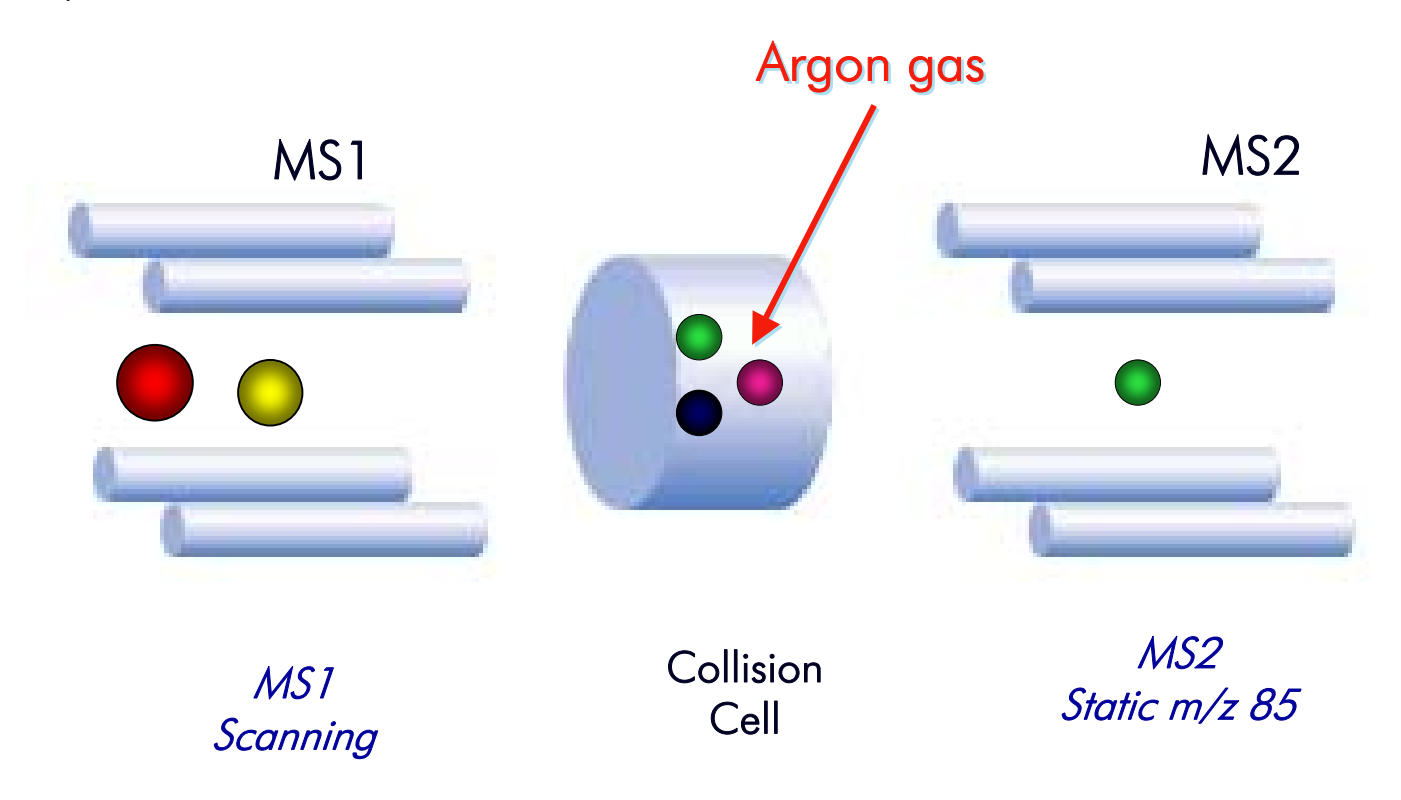


中性碎片丢失质谱图



描 描

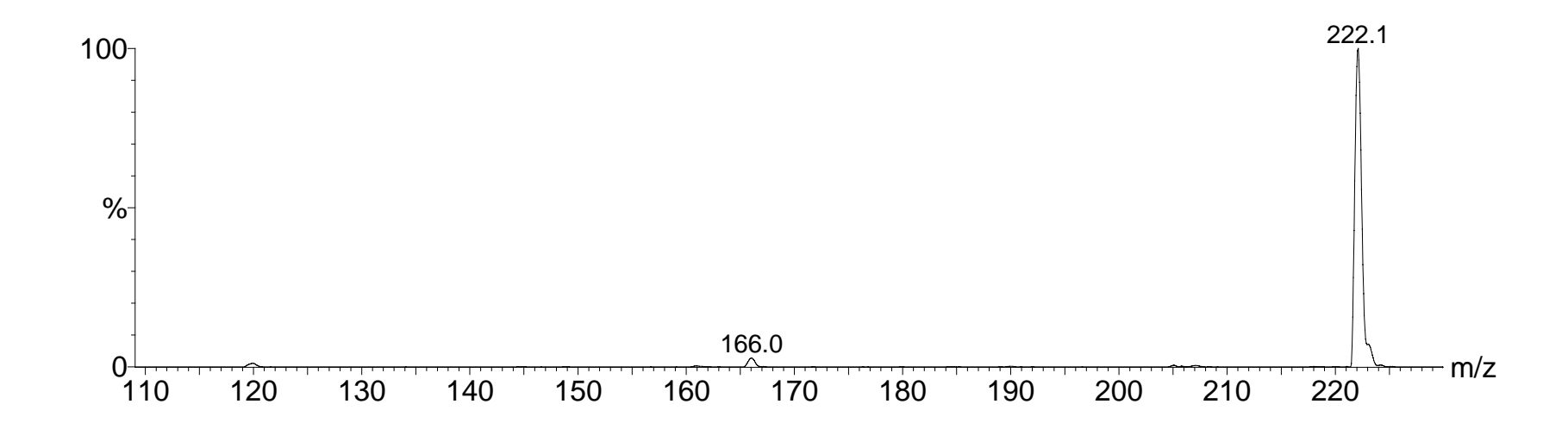
©2005 Waters Corporation



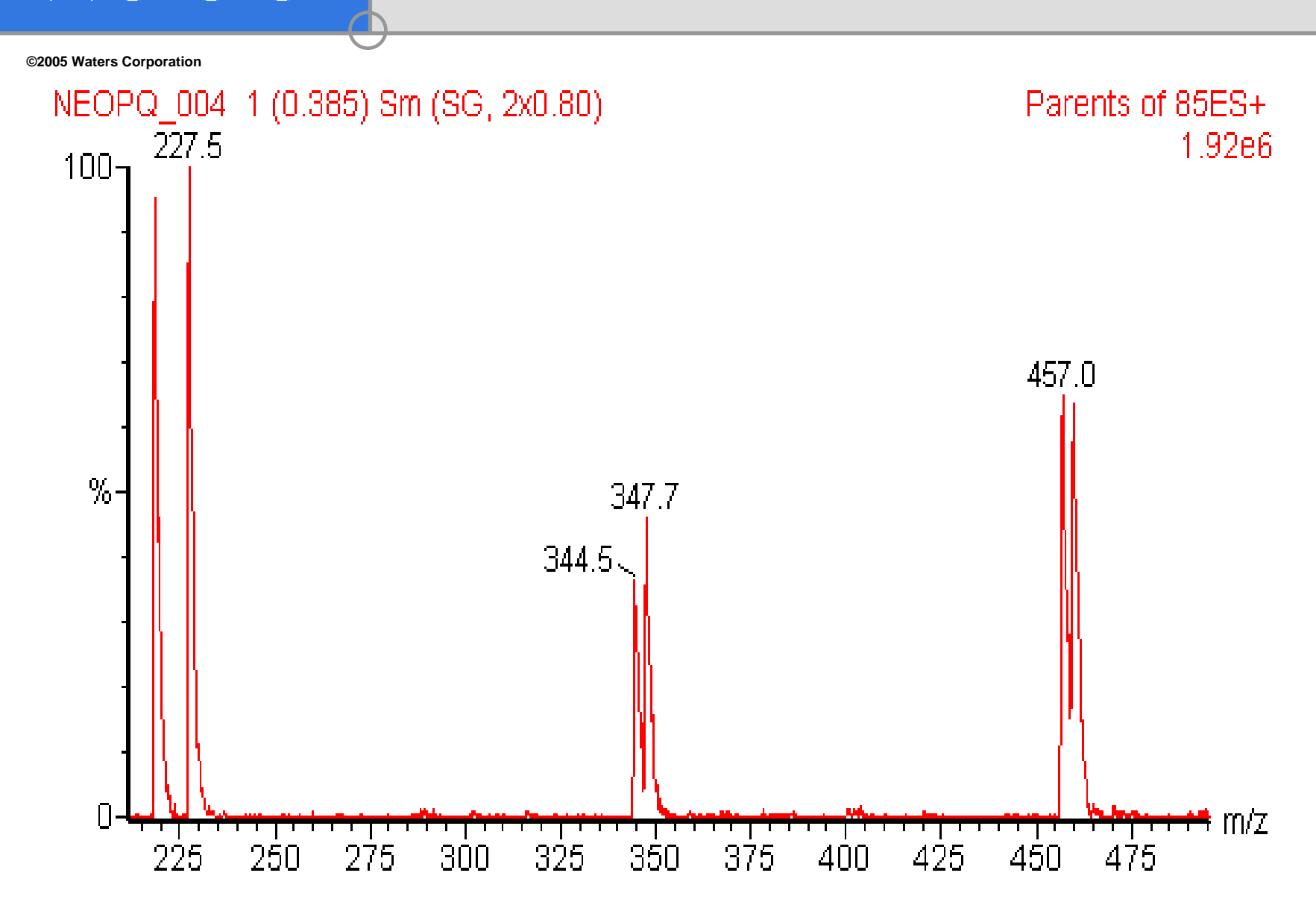
The first quadrupole mass analyzer is *Scanning* at the mass-to-charge ratio (m/z) of the precursor ion to be interrogated while the second quadrupole is *Static* over a user-defined mass.

m/z 103的母离子

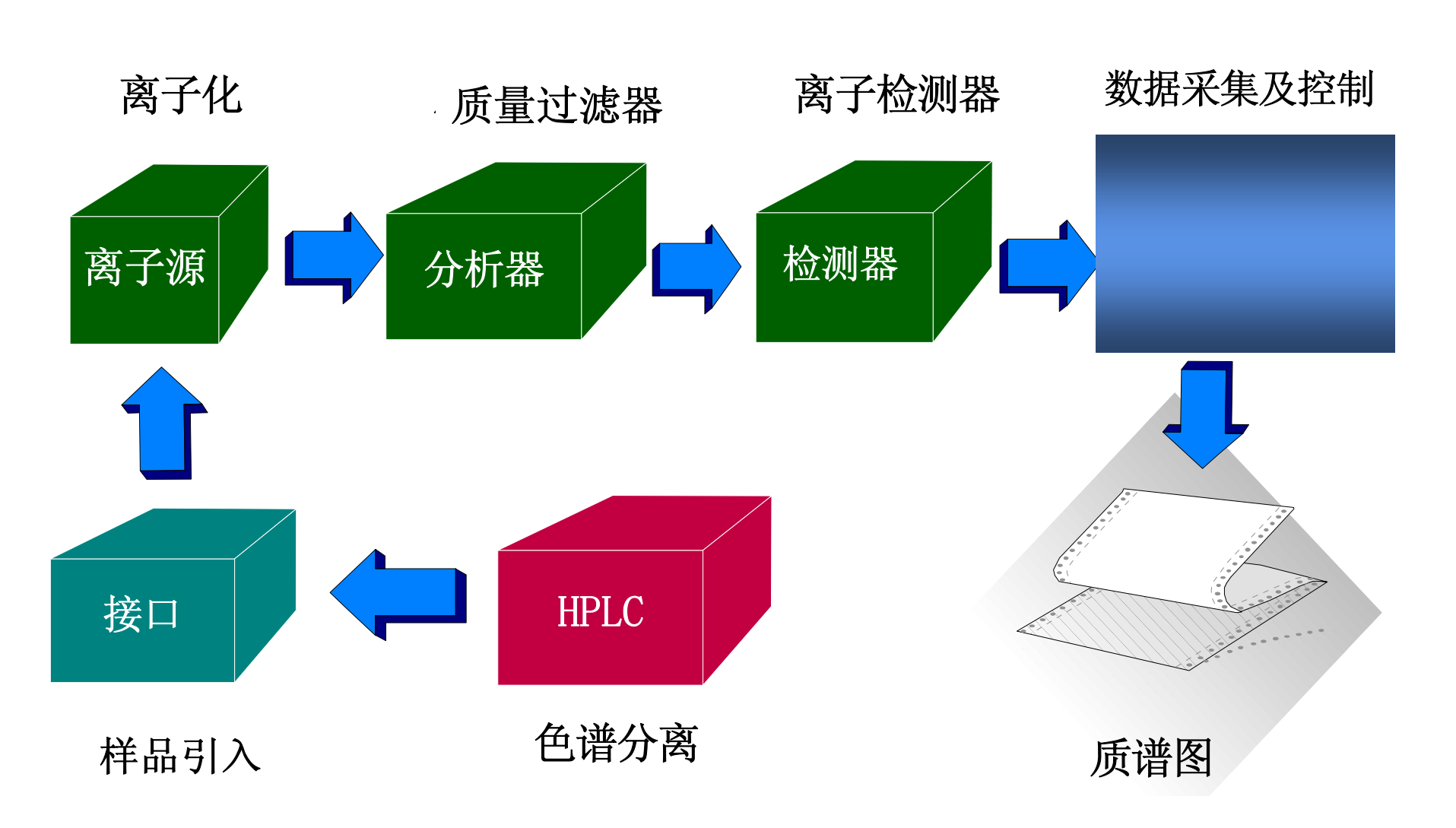
- Predominant precursor of m/z 103 is m/z 222.1
 (i.e. protonated butylated phenylalanine)
- Approximately 2% comes from the $(M+H-C_4H_8)^+$
- Less than 1% comes from the immonium ion (m/z 120) through loss of ammonia



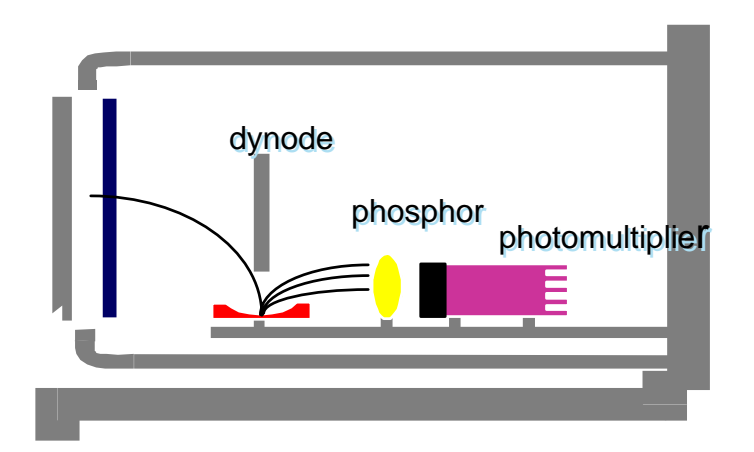
母离子扫描质谱图



检测技术



光电倍增管



- ■配有高压打拿极的光电倍增器, 灵敏度高,线性范围广,可快速 的正、负离子检测
- ■10年的使用寿命

